

Elżbieta Tyrkiel

PROCEDURY NUMERYCZNE  
DLA ROZWIĄZANIA UOGÓLNIONEGO  
ZAGADNIENIA WŁASNEGO METODĄ QZ

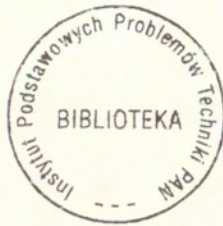
33/1993

P.269



WARSZAWA 1993

Praca wpłynęła do Redakcji dnia 29 sierpnia 1993 r.



56658



N a p r a w a c h r ę k o p i s u

---

Instytut Podstawowych Problemów Techniki PAN  
Nakład 100 egz. Ark.wyd. 5,5 Ark.druk. 7,00  
Oddano do drukarni w październiku 1993

---

Wydawnictwo Spółdzielcze sp. z o.o.  
Warszawa, ul.Jasna 1

PROCEDURY NUMERYCZNE DLA ROZWIĄZANIA  
UOGÓLNIONEGO ZAGADNIENIA WŁASNEGO METODA QZ

Streszczenie

Opisano szczegółowo opracowane pakiety procedur numerycznych umożliwiających rozwiązanie regularnego uogólnionego zagadnienia własnego  $Ax = \lambda Bx$  z dowolnymi macierzami kwadratowymi, rzeczywistymi lub zespolonymi. Podstawą algorytmów jest wprowadzona przez Molera i Stewarta metoda QZ, będąca uogólnieniem standardowej metody QR na zagadnienie własne z dwiema macierzami. Metoda QZ charakteryzuje się dużą stabilnością numeryczną dzięki zastosowaniu przekształceń unitarnych. Umożliwia ona wyznaczenie wszystkich wartości własnych (skończonych i nieskończonych) również w przypadku, gdy B jest macierzą osobliwą, gdyż nie wymaga obliczania macierzy  $B^{-1}$ .

Programy numeryczne napisane są w języku Turbo Pascal 4.0. Stanowią one uzupełnienie oprogramowania podstawowego mikrokomputerów IBM PC w zakresie algebry liniowej, utworzonego w Samodzielnej Pracowni Aeroelastyczności IPPT PAN. Procedury umożliwiają wyznaczenie pełnego zestawu wartości, jak również prawych i lewych wektorów własnych (znajomość lewych wektorów jest potrzebna w analizie zaburzeń). Działanie algorytmów zilustrowano na przykładach wyników wybranych testów numerycznych; wykazują one stabilność numeryczną skończonych wartości własnych również w przypadku, gdy B jest macierzą osobliwą.

I. WSTĘP

Problem uogólnionego zagadnienia własnego sprowadza się do znalezienia nietrywialnych rozwiązań równania:

$$(1) \quad Ax = \lambda Bx,$$

gdzie A i B są macierzami kwadratowymi stopnia n. Rozwiązanie to określone jest przez pełny zestaw wartości własnych  $\lambda$  oraz odpowiadających im niezerowych wektorów własnych x.

Jeśli macierz B jest nieosobliwa, wówczas zagadnienie to jest równoważne standardowemu zagadnieniu własnemu

$$(2) \quad B^{-1}A x = \lambda x ,$$

które może być rozwiązane za pomocą dobrze znanych, efektywnych procedur i algorytmów [1,2].

Komputerowe rozwiązanie uogólnionego zagadnienia własnego ma szczególnie istotne znaczenie, gdy macierz B jest osobliwa lub bliska osobliwej (t.j. gdy zagadnienie odwrócenia macierzy B jest źle uwarunkowane). Wówczas liczba pierwiastków równania charakterystycznego  $\det(A - \lambda B) = 0$  jest mniejsza niż n (współczynnik wielomianu charakterystycznego przy  $\lambda^n$  wynosi  $\det(B)$ ). Jeśli zagadnienie jest *regularne*, co oznacza, że równanie charakterystyczne  $\det(A - \lambda B) = 0$  nie jest spełnione tożsamościowo, wówczas "brakujące" wartości własne traktowane są jako istniejące i równe "nieskończoności". Może to być uzasadnione faktem, że przy niewielkim zaburzeniu elementów osobliwej macierzy B pojawia się pewna liczba dużych wartości własnych, rosnących nieskończenie podczas redukcji zaburzenia do zera.

Uogólnione zagadnienie własne zapisać można w dogodniejszej dla interpretacji postaci:

$$(3) \quad \beta A x = \alpha B x$$

gdzie wartość własna  $\lambda = \alpha/\beta$ . Zapis ten ilustruje symetrię ról macierzy A i B oraz fakt, że skończone i nieskończone ( $\beta = 0$ ) wartości własne traktowane są identycznie. W ten sposób każde regularne uogólnione zagadnienie własne posiada n wartości własnych, reprezentowanych przez odpowiadające sobie pary wartości  $(\alpha, \beta)$ .

W przypadku, gdy równanie charakterystyczne  $\det(A - \lambda B) = 0$  jest spełnione tożsamościowo (t.j. gdy macierze A i B mają wspólną podprzestrzeń zerową), zagadnienie określa się jako *singularne*, a jego rozwiązanie jest zwykle niejednoznaczne. Ten



przypadek nie jest brany w pracy pod uwagę; omawiana metoda obliczeń dotyczy wyłącznie zagadnień regularnych.

W praktyce numerycznej nie ma ścisłego rozgraniczenia między "osobliwością" i "nieosobliwością" macierzy, ze względu na skończoną dokładność arytmetyki zmiennoprzecinkowej i błędy zaokrągleń. Jeśli uwarunkowanie macierzy B jest nieznanie przed przystąpieniem do problemu, powinno być ono zbadane (poprzez wyznaczenie wskaźnika uwarunkowania [3]), ponieważ w przypadku złego uwarunkowania rozwiązanie równania (2) obarczone będzie zawsze dużymi błędami, nawet jeśli obliczenia przebiegną bez zakłóceń.

Metody rozwiązania zagadnienia (1) w przypadku, gdy B jest macierzą osobliwą lub bliską osobliwej, były przedmiotem prac szeregu autorów. Peters i Wilkinson [4] zaproponowali podejście polegające na przybliżonym wyznaczeniu podprzestrzeni zerowej macierzy B i eliminacji jej z zagadnienia, a więc deflację problemu. Fix i Heiberger [5] zastosowali wariant tej metody dla przypadku, gdy macierze A i B są symetryczne, a macierz B jest bliska półokreślonej (jeśli macierz B jest dodatnio określona, rozwiązanie oparte jest na znanej metodzie Choleskiego - Wilkinsona [6]).

Metoda QZ, wprowadzona przez Molera i Stewarta [7], jest rozszerzeniem i uogólnieniem algorytmu iteracyjnego QR (stosowanego dla rozwiązania standardowego zagadnienia własnego [1], [2]) na przypadek zagadnienia z dwiema macierzami. Dzięki zastosowaniu elementarnych przekształceń unitarnych metoda ta przewyższa poprzednio wspomniane metody pod względem stabilności numerycznej, choć nie zachowuje ona symetrii macierzy, a także jest bardziej czasochłonna. Metoda QZ pozwala wyznaczyć (przy użyciu jednolitej techniki obliczeniowej) pełny zestaw (skończonych i nieskończonych) wartości własnych każdego regularnego zagadnienia własnego, przy czym uzyskiwana dokładność obliczeń wartości skończonych jest niezależna od tego, czy B jest macierzą osobliwą.

Idea metody QZ oparta jest na następującym twierdzeniu ([8],[9]), będącym uogólnieniem twierdzenia Schura na przypadek regularnej pary macierzy:

*Twierdzenie.* Jeśli  $A$  i  $B$  są macierzami opisującymi regularne uogólnione zagadnienie własne, to istnieją takie macierze unitarne  $Q$  i  $Z$ , że macierze  $QAZ$  oraz  $QBZ$  są trójkątne górne.

Jeśli macierz  $B$  jest nieosobliwa, to, wprowadzając oznaczenia:  $\hat{A} = QAZ$  oraz  $\hat{B} = QBZ$ , otrzymamy:

$$\hat{A}\hat{B}^{-1} = QAZZ^H B^{-1} Q^H = QAB^{-1} Q^H,$$

czyli macierz  $\hat{A}\hat{B}^{-1}$  jest unitarnie podobna macierzy  $AB^{-1}$ .

Zagadnienia  $Ax = \lambda Bx$  oraz  $\hat{A}y = \lambda \hat{B}y$  określa się jako unitarnie równoważne. Wartości własne tych zagadnień są takie same, a wektory własne związane są zależnością:

$$x = Zy.$$

Jeśli rozpatrujemy zagadnienie z lewymi wektorami własnymi, to, analogicznie, unitarnie równoważne są zagadnienia  $u^T A = \lambda u^T B$  oraz  $v^T \hat{A} = \lambda v^T \hat{B}$ , a lewe wektory własne wiąże wzór:

$$u^T = v^T Q.$$

Wartości własne zagadnienia  $\hat{A}y = \lambda \hat{B}y$  z macierzami trójkątnymi  $\hat{A}$  i  $\hat{B}$  są równe ilorazom odpowiadających sobie elementów diagonalnych, reprezentujących, zgodnie z (3), pary wartości  $(\alpha_i, \beta_i)$ :

$$\lambda_i = \frac{\hat{a}_{i i}}{\hat{b}_{i i}} = \frac{\alpha_i}{\beta_i}, \quad i = 1, \dots, n$$

i mogą wydzielać się w trakcie obliczeń w dowolnej kolejności. Jeśli  $\beta_i = 0$ , wówczas  $i$ -tą wartość własną traktuje się jako "nieskończoną", a odpowiadający jej wektor własny jest niezerowym wektorem z podprzestrzeni zerowej macierzy  $B$ , t.j. spełniającym równanie  $Bx = 0$ . Podobnie gdy  $\alpha_i = 0$ , wektor własny odpowiadający wartości  $\lambda_i = 0$  jest niezerowym wektorem z pod-

przestrzeni zerowej macierzy A.

Numeryczna realizacja metody QZ polega na wykonaniu jednoczesnego przekształcenia obu macierzy A i B, opisanego przytoczonym uogólnionym twierdzeniem Schura. Pełny algorytm rozwiązania uogólnionego zagadnienia własnego składa się z czterech etapów:

1. redukcja pary macierzy (A,B) do uogólnionej postaci Hessenberga, t.j. takiej, w której macierz A jest macierzą górną Hessenberga, macierz B - macierzą trójkątną górną;
2. sprowadzenie macierzy A metodą iteracyjną do postaci quasi-trójkątnej (t.j. zawierającej bloki diagonalne  $1 \times 1$  oraz  $2 \times 2$ ), z jednoczesnym zachowaniem trójkątnej postaci macierzy B;
3. dalsza redukcja macierzy A do postaci trójkątnej - wyodrębnienie elementów diagonalnych;
4. obliczenie wektorów własnych otrzymanego systemu z macierzami trójkątnymi oraz ich transformacja do wyjściowego układu współrzędnych.

Zasadniczym i najbardziej czasochłonnym etapem algorytmu jest etap 2 - iteracje QZ. Realizowany jest on przy użyciu analogicznych strategii iteracyjnych, jak w metodzie QR, określonych w szczególności sposobem wyboru przesunięcia w celu przyspieszenia zbieżności iteracji. Również większość własności algorytmu QR, takich jak: wydzielanie się wartości własnych wzdłuż diagonalni od dołu w górę, możliwość deflacji macierzy w przypadku "małości" dwóch sąsiadujących ze sobą elementów poddiagonalnych, sposób testowania końca iteracji, przenosi się, w formie uogólnionej, na algorytm QZ.

Iteracje QZ inicjowane są standardowym krokiem QR odniesionym do macierzy  $AB^{-1}$ . Jednak zastosowana technika obliczeniowa zapewnia pomyślny przebieg obliczeń również w przypadku, gdy B jest macierzą osobliwą, gdyż umożliwia wyznaczenie macierzy transformacji Q i Z bez konieczności obliczania pełnej macierzy



$B^{-1}$ . Dla prawidłowego funkcjonowania algorytmu wymagane jest jedynie spełnienie znacznie słabszych warunków "lokalnej nieosobliwości", które będą omówione w dalszej części pracy.

Triangularyzacja macierzy  $A$  i  $B$  realizowana jest przy użyciu elementarnych przekształceń unitarnych (w przypadku rzeczywistym - ortogonalnych)  $Q$  i  $Z$ , t.j. odbić (macierze Householdera) oraz obrotów (macierze Givensa). Zapewnia to numeryczną stabilność metody według Wilkinsona [1], t.j. uzyskane macierze  $QAZ$  i  $QBZ$  są unitarnie równoważne jedynie lekko zaburzonym macierzom wyjściowym  $(A + \delta A)$  oraz  $(B + \delta B)$ . Jeżeli pewna skończona wartość własna problemu  $Ax = \lambda Bx$  jest dobrze uwarunkowana w tym sensie, że jest nieczuła na małe zaburzenia  $\delta A$  i  $\delta B$  macierzy, to można uznać, że jest ona policzona dokładnie jako wartość własna problemu  $(A + \delta A)x = \lambda(B + \delta B)x$ ; dokładność ta jest niezależna od tego, czy pozostałe wartości własne zagadnienia mają wartość skończoną, czy nieskończoną (t.j. czy  $B$  jest macierzą osobliwą).

Moler i Stewart sformułowali metodę QZ dla zagadnienia własnego z macierzami rzeczywistymi; w opracowanym przez nich algorytmie iteracje QZ wykonywane są za pomocą uogólnionej strategii podwójnego kroku z niejawnymi przesunięciami, stosowanej w iteracjach QR macierzy rzeczywistej [1,2]. Umożliwia ona prowadzenie procesu iteracyjnego wyłącznie w arytmetyce rzeczywistej nawet wówczas, gdy wartości własne zagadnienia są liczbami zespolonymi. Jednak w iteracjach QZ metoda ta może powodować pewne problemy numeryczne w przypadku, gdy  $B$  jest macierzą osobliwą, wynikające z możliwości wystąpienia nieskończonych lub też zaniedbywalnie małych wartości przesunięć. Nieco później Ward [10] zaproponował inną, efektywniejszą wersję iteracji QZ dla zagadnienia rzeczywistego, umożliwiającą wybór strategii iteracyjnej (pojedynczego lub podwójnego kroku) oraz odpowiedni dobór przesunięcia na początku każdej kolejnej iteracji, w zależności od typu wyznaczanych wartości własnych (rzeczywiste czy zespolone) oraz aktualnych wartości elementów diagonalnych macierzy  $B$ . Strategia ta (tzw. algorytm QZ z kombinowanym przesunięciem)



pozwoiliła wyeliminowaó problemy zwiázane z metodá podwójnego kroku, a tak¿e okazała sié mniej czasochłonna. W pracy [10] dokonano równie¿ uogólnienia metody QR dla wykrywania dwóch sásiadujácych ze sobá "małych" elementów poddiagonalnych na przypadek iteracji QZ z pojedynczym przesunięciem.

Celem niniejszej pracy byó opracowanie procedur numerycznych umo¿liwiajácych rozwiázanie regularnego uogólnionego zagadnienia wlasnego  $Ax = \lambda Bx$  z dowolnymi macierzami rzeczywistymi lub zespolonymi metodá QZ. Opracowane algorytmy realizujá czteroetapowy schemat obliczeñ Molera - Stewarta, przedstawiony na str. 7. Zastosowane techniki iteracji QZ oparto na metodach opisanych przez Warda [10]. W przypadku zagadnienia z macierzami zespolonymi iteracje QZ realizowane sá uogólnioná metodá pojedynczego kroku z niejawnym przesunięciem; dla zagadnienia z macierzami rzeczywistymi zastosowano algorytm iteracyjny z kombinowanym przesunięciem. Wektory wlasne zredukowanego zagadnienia z macierzami trójkátnymi QAZ i QBZ wyznaczane sá uogólnioná metodá "podstawienia wstecznego" [2,11], a następnie sprowadzane do wektorów zagadnienia wyjściowego z u¿yciem zapamiętanych w trakcie wykonywania przekształceñ macierzy transformacji Z (wektory prawe) oraz Q (wektory lewe).

Opracowane programy obliczeniowe napisane sá w języku Turbo Pascal 4.0. Stanowiá one uzupełnienie oprogramowania podstawowego mikrokomputerów IBM PC w zakresie algebry liniowej, utworzonego uprzednio i opisanego w pracach Nowaka [11] i [12]. Oprogramowanie to tworzone byó z uwzględnieniem potrzeby rozwiázywania du¿ych (rzędu 100) ukłádów równań z pełnymi macierzami (rzeczywistymi i zespolonymi) oraz ró¿nych zagadnieñ wlasnych macierzy, co spowodowaó koniecznoó opracowania szeregu metod usprawniania programów; polegajá one na zastosowaniu odpowiedniej techniki korzystania z pełnej pamieci mikrokomputera (bez ograniczeñ na dłu¿oó segmentu danych), połączonej z dynamiczná rezerwacjá miejsca na tablice, oraz przyspieszaniu działania programów poprzez wykorzystanie wstawek (procedur) w języku assemblera.

Podczas tworzenia algorytmu QZ starano się zachować jednolitość stylu z istniejącym już oprogramowaniem, korzystając z zawartych w nim usprawnień. Wykorzystane zostały (w postaci wstawek kodowych) procedury assemblerowe z pakietów VECREAL i VECCOMP, przyspieszające obliczenia związane z działaniami na macierzach (VecScal, VecProd, NormE, VecConjug, Househ, Rotate, Move), jak również procedury z pakietu działań na liczbach zespolonych COMPUNIT (Add, Sub, CMult, RMult, DivC, DivR, CSqr, CSqrt, CAbs, Neg). Wykorzystano także plik NEWTYPE definiujący nowe typy zmiennych (IntPtr1, DoublePtr1, DoublePtr2, CompPtr1, CompPtr2). Zgodnie ze sposobem segmentacji programów przewidzianym przez Turbo Pascal, procedury realizujące algorytm QZ zgromadzone zostały w postaci pakietów (units), zawierających części INTERFACE i IMPLEMENTATION. Pakiety te mogą być kompilowane niezależnie od programu głównego. Odwołanie się do procedur określonego pakietu musi być poprzedzone w programie głównym dyrektywą uses z nazwą tego pakietu; powoduje to automatycznie, że część INTERFACE pakietu staje się "widoczna" z programu głównego.

Sposób budowania procedur realizujących metodę QZ oraz zabiegi techniczne usprawniające przebieg obliczeń wzorowane były, o ile to było możliwe, na schematach zastosowanych w pakietach REALEIGEN i COMPEIGEN, opisanych w [11] i [12] i przeznaczonych dla rozwiązania zwykłego zagadnienia własnego metodą QR. Zachowano również częściowo zastosowane w powyższych programach nazewnictwo procedur i funkcji (iter, step, nextw, fin). Ze względu na nieco odmienną gospodarkę pamięcią, zwłaszcza przy zapamiętywaniu wyników obliczeń, zbudowano po trzy odrębne pakiety (dla przypadku rzeczywistego i zespolonego); odpowiadają one obliczaniu tylko wartości własnych (QZVALR, QZVALC), wartości i prawych wektorów własnych (QZVECR, QZVECC) oraz pełnego uogólnionego zagadnienia własnego, t.j. wartości oraz prawych i lewych wektorów własnych (QZEIGR, QZEIGC). Analogiczne pakiety opracowane dla zwykłego zagadnienia własnego opisane są w [11].

Pakiety QZEIGR i QZEIGC utworzone zostały przede wszystkim



w celu ich ewentualnego wykorzystania w analizie zaburzeń, wymagającej znajomości lewych wektorów własnych [1,11,14].

W opisach algorytmów stosuje się następujące oznaczenia:

$x, y, \dots$  /małe litery/ - wektory,

$A, B, \dots$  /duże litery/ - macierze,

$a_{ij}$  - element  $(i, j)$  macierzy  $A$ ,

$a_{ij}^*$  - wartość sprzężona (w sensie zespolonym) elementu  $a_{ij}$ ,

$A^T$  - macierz transponowana,

$A^H = (A^T)^*$  - macierz hermitowsko sprzężona,

$A^{-1}$  - macierz odwrotna,

$\|x\| = \|x\|_E$  - norma euklidesowa wektora  $x$ .

$\|A\|_E$  - norma euklidesowa macierzy  $A$ ,

$$\|A\|_1 = \max_{1 \leq j \leq n} \sum_{i=1}^n |a_{ij}|,$$

$\epsilon$  - dokładność arytmetyki zmiennoprzecinkowej.

## II. ELEMENTARNE PRZEKSZTAŁCENIA UNITARNE

W algorytmie QZ triangularyzacja macierzy  $A$  i  $B$  dokonywana jest za pomocą sekwencji lewostronnych ( $Q$ ) oraz prawostronnych ( $Z$ ) elementarnych przekształceń unitarnych, mających na celu wyzerowanie elementów poddiagonalnych tych macierzy. Zastosowano 2 rodzaje tych przekształceń: odbicia (przekształcenia Householdera) oraz obroty (przekształcenia Givensa).

Przekształcenie Householdera dokonywane jest za pomocą hermitowskiej, unitarnej macierzy odbicia  $H_r$  stopnia  $n$  o budowie:

$$H_r = I - (\alpha u_r) u_r^H$$

gdzie wektor  $u_r$  jest wektorem o  $n$  składowych, z czego pierwszych  $r-1$  składowych jest równych zeru; ponadto wektor ten

jest normowany tak, by jego  $r$ -ta składowa była równa 1.

Dla określonego wektora  $x$  można tak dobrać elementy wektora  $u_r$ , aby przy lewostronnym mnożeniu przez  $H_r$  wektor

$$H_r x = x - (\alpha u_r)(u_r^H x)$$

miał składowe  $r+1, \dots, n$  równe zeru, składową  $r$  zmienioną, a składowe  $1, \dots, r-1$  niezmienione. W tym celu wektor  $u_r$  oraz skalar  $\alpha$  wybiera się następująco [1]:

$$(4) \quad \begin{aligned} u_{ri} &= 0, & i &= 1, \dots, r-1, \\ u_{rr} &= 1, \\ u_{rj} &= \frac{x_j}{x_r \pm S}, & j &= r+1, \dots, n, \\ \alpha &= \frac{x_r \pm S}{\pm S}, & S &= \left( \sum_{i=r}^n |x_i|^2 \right)^{1/2}. \end{aligned}$$

W powyższych równaniach znak  $\pm$  dobiera się tak, aby był równy znakowi elementu  $x_r$ . Nowa wartość elementu  $x_r$  jest równa  $\pm S$ .

Podobnie przy prawostronnym mnożeniu wektora  $x^T$  przez macierz  $H_r$  można anulować elementy  $1, \dots, r-1$  tego wektora. Wówczas nowy wektor  $x^T H_r$  ma postać:

$$x^T H_r = x^T - \alpha (x^T u_r) u_r^H$$

gdzie wektor  $u_r$  dobiera się następująco:

$$\begin{aligned} u_{rj} &= \frac{x_j}{x_r \pm S}, & j &= 1, \dots, r-1, \\ u_{rr} &= 1, \\ u_{ri} &= 0, & i &= r+1, \dots, n, \end{aligned}$$





$$\tilde{a}_{ki} = ca_{ki} + sa_{kj}, \quad k = 1, \dots, n,$$

$$\tilde{a}_{kj} = -s^*a_{ki} + c^*a_{kj}, \quad k = 1, \dots, n,$$

gdzie w celu wyzerowania elementu  $a_{ji}$ , dla  $c$  i  $s$  przyjmuje się wartości:

$$c = \frac{a_{jj}}{S}, \quad s = -\frac{a_{ji}}{S}, \quad \text{gdzie } S = \sqrt{|a_{jj}|^2 + |a_{ji}|^2}.$$

Za pomocą macierzy obrotu  $T_{ij}$  można wyzerować dowolny element  $j$ -tego wiersza (lub  $j$ -tej kolumny)  $a_{jm}$  (lub  $a_{mj}$ ), t.j. dla  $m \neq i, j$ . W tym celu w powyższych formułach należy przyjąć, dla mnożenia lewostronnego:

$$c = \frac{a_{im}}{S}, \quad s = \frac{a_{jm}}{S}, \quad \text{gdzie } S = \sqrt{|a_{im}|^2 + |a_{jm}|^2},$$

oraz, analogicznie, dla mnożenia prawostronnego:

$$c = \frac{a_{mj}}{S}, \quad s = -\frac{a_{mi}}{S}, \quad \text{gdzie } S = \sqrt{|a_{mj}|^2 + |a_{mi}|^2}.$$

Lewo- i prawostronne przekształcenia obrotu zostały zastosowane dla wyzerowania pojedynczych elementów poddiagonalnych macierzy  $A$  lub  $B$ .

Przekształcenia unitarne zachowują normę euklidesową wektora i macierzy. Dzięki temu wielkość zaburzeń przekształcanych elementów może być oceniana na podstawie tych samych kryteriów, co błędy danych wejściowych i pierwotnego zapisu do pamięci komputera. Upraszcza to również problem zbieżności; przekształcany element  $a_{ij}$  może być uznany za równy zero, jeśli jest w granicach zakłóceń tolerowanych przez wyjściową macierz  $A$ , t.j. spełnia warunek:

$$|a_{ij}| \leq \text{eps} \cdot \|A\|,$$

gdzie  $\|\cdot\|$  - norma  $\|\cdot\|_1$  lub  $\|\cdot\|_E$ .

### III. REDUKCJA PARY MACIERZY (A,B) DO UOGÓLNIONEJ POSTACI HESSENERGA

Pierwszym krokiem algorytmu QZ jest sprowadzenie macierzy A i B do uogólnionej postaci Hessenberga, t.j. takiej, w której macierz A jest macierzą górną Hessenberga, macierz B - macierzą trójkątną górną. Postępowanie składa się z dwóch etapów:

1. sprowadzenie macierzy B do postaci trójkątnej górnej;
2. sprowadzenie macierzy A do postaci Hessenberga z jednoczesnym zachowaniem trójkątnej postaci B.

Etap 1 realizowany jest przy użyciu  $n-1$  lewostronnych przekształceń Householdera  $Q_k$ :

$$B_{k+1} = Q_k B_k, \quad \text{dla } k = 1, \dots, n-1,$$

gdzie  $B_1 = B$ , natomiast macierz  $B_k$  ma budowę ( $k = 3, n = 6$ ):

$$\begin{bmatrix} b & b & b & b & b & b \\ 0 & b & b & b & b & b \\ 0 & 0 & b & b & b & b \\ 0 & 0 & b' & b & b & b \\ 0 & 0 & b' & b & b & b \\ 0 & 0 & b' & b & b & b \end{bmatrix} \quad \begin{matrix} k \\ k \\ k \\ k \\ n \\ n \end{matrix}$$

W użytej notacji  $b$  oznacza element niezerowy,  $b'$  - element, który ma być wyzerowany w kolejnym,  $k$ -tym kroku algorytmu. Macierz  $Q_k$  dobiera się na podstawie  $k$ -tej kolumny macierzy  $B_k$  (według wzorów (2)) tak, aby po przekształceniu wyzerowane zostały jej elementy  $k+1, \dots, n$ .

Ostatecznie otrzymujemy:

$$B := Q_{n-1} Q_{n-2} \dots Q_1 B.$$

Jednocześnie dokonuje się lewostronnego przemnożenia macierzy A przez wyznaczone macierze  $Q_i$ :

$$A := Q_{n-1} Q_{n-2} \dots Q_1 A.$$

Oznaczając  $Q = Q_1 \dots Q_{n-2} Q_{n-1}$  otrzymujemy macierze  $Q^H A$  oraz

$Q^H B$  w następującej postaci:

$$\begin{bmatrix} a & a & a & a & a & a \\ a & a & a & a & a & a \\ a' & a & a & a & a & a \\ a' & a' & a & a & a & a \\ a' & a' & a' & a & a & a \\ a' & a' & a' & a' & a & a \end{bmatrix} \quad \begin{bmatrix} b & b & b & b & b & b \\ 0 & b & b & b & b & b \\ 0 & 0 & b & b & b & b \\ 0 & 0 & 0 & b & b & b \\ 0 & 0 & 0 & 0 & b & b \\ 0 & 0 & 0 & 0 & 0 & b \end{bmatrix}$$

Etap 2 realizowany jest przy użyciu sekwencji  $(n^2-3n+2)/2$  obrotów lewostronnych  $Q_{k1}$  oraz prawostronnych  $Z_{k1}$ . Procedura rozpoczyna się od wyzerowania elementu  $a_{n1}$  za pomocą obrotu  $Q_{n-1,n}$ ; dla  $n = 6$  otrzymane macierze  $Q_{56}A$  oraz  $Q_{56}B$  mają postać:

$$\begin{bmatrix} a & a & a & a & a & a \\ a & a & a & a & a & a \\ a' & a & a & a & a & a \\ a' & a' & a & a & a & a \\ a' & a' & a' & a & a & a \\ 0 & a' & a' & a' & a & a \end{bmatrix} \quad \begin{bmatrix} b & b & b & b & b & b \\ 0 & b & b & b & b & b \\ 0 & 0 & b & b & b & b \\ 0 & 0 & 0 & b & b & b \\ 0 & 0 & 0 & 0 & b & b \\ 0 & 0 & 0 & 0 & b' & b \end{bmatrix}$$

Obrót lewostronny  $Q_{56}$  spowodował pojawienie się niezerowego elementu poddiagonalnego  $b_{65}$ ; element ten usuwany jest następnie za pomocą obrotu prawostronnego  $Z_{56}$ , który zachowuje zero w pozycji  $a_{61}$ :

$$A := Q_{56}AZ_{56}, \quad B := Q_{56}BZ_{56}$$

W analogiczny sposób zerowane są następne elementy poniżej codiagonali macierzy  $A$ , w następującej kolejności:

$$\begin{bmatrix} a & a & a & a & a & a \\ a & a & a & a & a & a \\ a_4 & a & a & a & a & a \\ a_3 & a_7 & a & a & a & a \\ a_2 & a_6 & a_9 & a & a & a \\ a_1 & a_5 & a_8 & a_{10} & a & a \end{bmatrix}$$

która gwarantuje zachowanie zerowych wartości elementów macierzy  $A$  na pozycjach wyzerowanych uprzednio.

Ostatecznie otrzymujemy:



$$A := Q_{n-1,n} \cdots \left( Q_{n-2,n-1} \left( Q_{n-1,n} A Z_{n-1,n} \right) Z_{n-2,n-1} \right) \cdots Z_{n-1,n}$$

$$B := Q_{n-1,n} \cdots \left( Q_{n-2,n-1} \left( Q_{n-1,n} B Z_{n-1,n} \right) Z_{n-2,n-1} \right) \cdots Z_{n-1,n}$$

gdzie nawiasy oznaczają kolejność wykonywania przekształceń.

Oznaczając:

$$Q = Q_{n-1,n} Q_{n-2,n-1} \cdots Q_{n-1,n} ,$$

$$Z = Z_{n-1,n} Z_{n-2,n-1} \cdots Z_{n-1,n} ,$$

otrzymujemy macierze  $Q^H A Z$  oraz  $Q^H B Z$  w następującej postaci:

$$\begin{bmatrix} a & a & a & a & a & a \\ a & a & a & a & a & a \\ 0 & a & a & a & a & a \\ 0 & 0 & a & a & a & a \\ 0 & 0 & 0 & a & a & a \\ 0 & 0 & 0 & 0 & a & a \end{bmatrix} \quad \begin{bmatrix} b & b & b & b & b & b \\ 0 & b & b & b & b & b \\ 0 & 0 & b & b & b & b \\ 0 & 0 & 0 & b & b & b \\ 0 & 0 & 0 & 0 & b & b \\ 0 & 0 & 0 & 0 & 0 & b \end{bmatrix}$$

która jest tzw. uogólnioną postacią Hessenberga pary macierzy  $(A, B)$ . Jest to postać wyjściowa do następnego etapu algorytmu - iteracji QZ.

Podsumowując, algorytm uzyskania uogólnionej postaci Hessenberga jest następujący:

1. Dla  $k = 1, 2, \dots, n-1$ :

1.1. wybór macierzy Householdera  $Q_k$  takiej, by wyzerować elementy  $b_{k+1,k}, \dots, b_{n,k}$ ;

1.2.  $B := Q_k B, \quad A := Q_k A.$

2. Dla  $k = 1, 2, \dots, n-2$ :

2.1. dla  $l = n-1, n-2, \dots, k+1$ :

(a) wybór lewostronnej macierzy obrotu  $Q_{kl}$  takiej, by wyzerować element  $a_{l+1,k}$ ;

$$(b) A := Q_{k1} A, \quad B := Q_{k1} B;$$

(c) wybór prawostronnej macierzy obrotu  $Z_{k1}$  takiej, by wyzerować element  $b_{l+1,1}$ ;

$$(d) B := B Z_{k1}, \quad A := A Z_{k1}.$$

#### IV. ITERACJE QZ

Para macierzy  $(A, B)$  mająca uogólnioną postać Hessenberga poddawana jest dalszej redukcji metodą iteracyjną. Celem tego procesu jest sprowadzenie macierzy  $A$  do postaci quasi-trójkątnej górnej, przy zachowaniu trójkątnej postaci macierzy  $B$ . Stosowane techniki iteracji QZ polegają na wyznaczaniu (przy użyciu różnych strategii iteracyjnych) kolejnych, unitarnie równoważnych macierzy  $A_{k+1} = Q_k A_k Z_k$  oraz  $B_{k+1} = Q_k B_k Z_k$ , mających uogólnioną postać Hessenberga; macierze transformacji  $Q_k$  muszą być przy tym budowane w ten sposób, by w przypadku, gdy  $B$  jest macierzą nieosobliwą, uzyskiwane macierze  $C_k = A_k B_k^{-1}$  były takie same, jak macierze otrzymywane w procesie iteracyjnym QR z macierzą wyjściową  $C_1 = A_1 B_1^{-1}$ .

##### IV.1. Iteracje QZ dla macierzy zespolonych

###### IV.1.1. *Metoda pojedynczego kroku z niejawnym przesunięciem*

Uogólniona metoda pojedynczego kroku z niejawnym przesunięciem [10] jest połączeniem stosowanej w zwykłym algorytmie QR strategii iteracyjnej z pojedynczym przesunięciem, ze schematem wyznaczania unitarnie-równoważnych macierzy QAZ i QBZ, sformułowanym przez Molera i Stewarta [7] dla przypadku podwójnego kroku iteracyjnego.

Procedura rozpoczyna się przy założeniu, że macierz  $B$  jest nieosobliwa, po czym wykonuje się standardowy pojedynczy krok iteracyjny QR z przesunięciem  $\sigma$ , odniesiony do macierzy  $C = AB^{-1}$ . Polega on na wyznaczeniu macierzy unitarnej  $Q$ ,

przekształcającej wyjściową macierz Hessenberga  $C_1 = C$  w unitarnie-podobną macierz Hessenberga  $C_2$ , według wzorów:

$$Q^H(C_1 - \sigma I) = R \quad ,$$

$$C_2 = RQ + \sigma I = Q^H C_1 Q \quad ,$$

gdzie  $R$  jest macierzą trójkątną górną.

Macierz  $Q$  spełniająca powyższe zależności jest jednoznacznie określona (z dokładnością do znaków kolumn) przez swoją pierwszą kolumnę (wynika to z faktu, że macierz  $C_2$  ma postać Hessenberga oraz z ortogonalności kolumn macierzy  $Q$ ; dowód tego twierdzenia zamieszczony jest np. w [8]). Ponieważ realizuje ona rozkład trójkątny macierzy  $(C - \sigma I)$ , może być wyrażona iloczynem  $(n-1)$  macierzy Householdera:

$$Q = H_1 H_2 \dots H_{n-1} \quad ,$$

gdzie wszystkie macierze  $H_i$  ( $i = 2, \dots, n-1$ ) mają pierwszą kolumnę jednostkową. A zatem pierwsza kolumna macierzy  $Q$  (równa pierwszej kolumnie macierzy  $H_1$ ) jest w pełni określona przez elementy pierwszej kolumny macierzy  $(C - \sigma I)$ , a mianowicie:

$$H_1 = I - (\alpha u) u^H \quad ,$$

gdzie, zgodnie z (4):

$$u_1 = 1 \quad ,$$

$$u_i = \frac{c_{i1}}{(c_{11} - \sigma) \pm S} \quad , \quad i = 2, \dots, n \quad ,$$

$$\alpha = \frac{(c_{11} - \sigma) \pm S}{\pm S} \quad , \quad S = \left( |c_{11} - \sigma|^2 + \sum_{i=2}^n |c_{i1}|^2 \right)^{1/2} \quad .$$

Ponieważ  $C = AB^{-1}$  jest macierzą Hessenberga, pierwsza kolumna macierzy  $(C - \sigma I)$  ma w rzeczywistości tylko dwa elementy niezerowe:



$$(5) \quad a_{10} = \frac{a_{11}}{b_{11}} - \sigma,$$

$$a_{20} = \frac{a_{21}}{b_{11}}$$

(kolumna ta traktowana jest jako tzw. "zerowa, fikcyjna kolumna" macierzy A). A zatem wektor u definiujący macierz Householdera  $H_1$  ma również tylko 2 elementy niezerowe:  $u_1, u_2$  i jest dobierany tak, by wyzerować element  $a_{20}$ .

Dalsza strategia polega na wykonaniu sekwencji (n-1) lewostronnych (Q) i (n-1) prawostronnych (Z) przekształceń macierzy A i B takich, by macierz QAZ była macierzą Hessenberga, a macierz QBZ - macierzą trójkątną górną. Mnożąc lewostronnie macierze A i B przez macierz Householdera  $Q_1 = H_1$  otrzymujemy macierze  $Q_1A$  i  $Q_1B$  w postaci:

$$\begin{bmatrix} a & a & a & a & a & a \\ a & a & a & a & a & a \\ 0 & a & a & a & a & a \\ 0 & 0 & a & a & a & a \\ 0 & 0 & 0 & a & a & a \\ 0 & 0 & 0 & 0 & a & a \end{bmatrix} \quad \begin{bmatrix} b & b & b & b & b & b \\ b' & b & b & b & b & b \\ 0 & 0 & b & b & b & b \\ 0 & 0 & 0 & b & b & b \\ 0 & 0 & 0 & 0 & b & b \\ 0 & 0 & 0 & 0 & 0 & b \end{bmatrix}$$

Przekształcenie spowodowało pojawienie się niezerowego elementu poddiagonalnego macierzy B w pozycji (2,1). Element ten usuwany jest następnie za pomocą prawostronnego obrotu  $Z_1$ ; po wykonaniu mnożenia macierz  $Q_1AZ_1$  ma postać:

$$\begin{bmatrix} a & a & a & a & a & a \\ a & a & a & a & a & a \\ a' & a & a & a & a & a \\ 0 & 0 & a & a & a & a \\ 0 & 0 & 0 & a & a & a \\ 0 & 0 & 0 & 0 & a & a \end{bmatrix}$$

Następnie zerowany jest element  $a_{31}$  za pomocą kolejnego przekształcenia Householdera  $Q_2$ ; uzyskane macierze  $Q_2Q_1AZ_1$  i  $Q_2Q_1BZ_1$  są postaci:

$$\begin{bmatrix} a & a & a & a & a & a \\ a & a & a & a & a & a \\ 0 & a & a & a & a & a \\ 0 & 0 & a & a & a & a \\ 0 & 0 & 0 & a & a & a \\ 0 & 0 & 0 & 0 & a & a \end{bmatrix} \quad \begin{bmatrix} b & b & b & b & b & b \\ 0 & b & b & b & b & b \\ 0 & b' & b & b & b & b \\ 0 & 0 & 0 & b & b & b \\ 0 & 0 & 0 & 0 & b & b \\ 0 & 0 & 0 & 0 & 0 & b \end{bmatrix}$$

W ten sposób niezerowy element poddiagonalny macierzy B "przesunął się" o jedno miejsce niżej, w dół codiagonali.

W analogiczny sposób zerowane są następne elementy poddiagonalne macierzy A i B; ostatecznie otrzymujemy:

$$A := Q_{n-1} \dots \left( Q_2 \left( Q_1 A Z_1 \right) Z_2 \right) \dots Z_{n-1} ,$$

$$B := Q_{n-1} \dots \left( Q_2 \left( Q_1 B Z_1 \right) Z_2 \right) \dots Z_{n-1} ,$$

gdzie, oznaczając:

$$Q = Q_1 Q_2 \dots Q_{n-1} ,$$

$$Z = Z_1 Z_2 \dots Z_{n-1} ,$$

macierze  $A = Q^H A Z$  oraz  $B = Q^H B Z$  mają ponownie uogólnioną postać Hessenberga.

Opisana procedura ilustruje technikę wykonania jednego kroku iteracyjnego z (niejawnym) przesunięciem  $\sigma$ . Aby go zainicjować, należy wyznaczyć elementy  $a_{10}$  i  $a_{20}$  "zerowej, fikcyjnej kolumny" macierzy A, określone wzorami (5). Dla ich wyznaczenia wymagany jest jedynie warunek:

$$b_{11} \neq 0.$$

Jeśli  $b_{11} = 0$ , wówczas dokonuje się deflacji problemu "od góry" za pomocą przekształcenia obrotu  $Q_{12}$  zerującego element  $a_{21}$  (nie narusza ono zer w pozycjach (1,1) oraz (2,1) macierzy B), a następnie kontynuuje procedurę dla macierzy o zmniejszonym wymiarze (od kolumny 2 i wiersza 2). Może się przy tym zdarzyć, że w wyniku zastosowanego przekształcenia nastąpi wyzerowanie

elementu  $b_{22}$  (oznacza to wydzielenie się kolejnej "nieskończonej" wartości własnej); proces deflacyjny należy zatem kontynuować tak długo, aż element  $b_{11}$  macierzy o zmniejszonym wymiarze spełni warunek  $b_{11} \neq 0$  :

$$\begin{bmatrix} 0 & b & b & b & \dots \\ 0 & b & b & b & \dots \\ 0 & 0 & b & b & \dots \\ 0 & 0 & 0 & b & \dots \\ \vdots & \vdots & \vdots & \vdots & \ddots \end{bmatrix} \xrightarrow{Q_{12}} \begin{bmatrix} 0 & \dots & b & b & b & \dots \\ 0 & 0 & b & b & b & \dots \\ 0 & 0 & 0 & b & b & \dots \\ 0 & 0 & 0 & 0 & b & \dots \\ \vdots & \vdots & \vdots & \vdots & \vdots & \ddots \end{bmatrix} \xrightarrow{Q_{23}} \begin{bmatrix} 0 & b & \dots & b & b & \dots \\ 0 & 0 & \dots & b & b & \dots \\ 0 & 0 & \dots & 0 & b & \dots \\ 0 & 0 & \dots & 0 & 0 & \dots \\ \vdots & \vdots & \vdots & \vdots & \vdots & \ddots \end{bmatrix} \dots ,$$

$$\begin{bmatrix} a & a & a & a & \dots \\ a' & a & a & a & \dots \\ 0 & a & a & a & \dots \\ 0 & 0 & a & a & \dots \\ \vdots & \vdots & \vdots & \vdots & \ddots \end{bmatrix} \xrightarrow{Q_{12}} \begin{bmatrix} a & \dots & a & a & a & \dots \\ 0 & a & a & a & a & \dots \\ 0 & a' & a & a & a & \dots \\ 0 & 0 & a & a & a & \dots \\ \vdots & \vdots & \vdots & \vdots & \vdots & \ddots \end{bmatrix} \xrightarrow{Q_{23}} \begin{bmatrix} a & a & \dots & a & a & \dots \\ 0 & a & \dots & a & a & \dots \\ 0 & 0 & \dots & a & a & \dots \\ 0 & 0 & \dots & 0 & a & \dots \\ \vdots & \vdots & \vdots & \vdots & \vdots & \ddots \end{bmatrix} \dots .$$

Analogicznie do techniki stosowanej w metodzie QR, jako przesunięcie  $\sigma$  wybiera się tę wartość własną dolnego bloku diagonalnego  $2 \times 2$  macierzy  $AB^{-1}$ , czyli ten pierwiastek równania kwadratowego

$$(6) \quad \det(\tilde{A} - \sigma \tilde{B}) = 0 \quad ,$$

gdzie:

$$\tilde{A} = \begin{bmatrix} a_{n-1, n-1} & a_{n-1, n} \\ a_{n, n-1} & a_{nn} \end{bmatrix} , \quad \tilde{B} = \begin{bmatrix} b_{n-1, n-1} & b_{n-1, n} \\ 0 & b_{nn} \end{bmatrix} ,$$

k którego wartość jest bliższa  $n$ -tej wartości własnej, określonej stosunkiem ostatnich elementów diagonalnych  $a_{nn}/b_{nn}$  :

$$\sigma = \sigma_1 \quad \text{gdy} \quad \left| \sigma_1 - \frac{a_{nn}}{b_{nn}} \right| < \left| \sigma_2 - \frac{a_{nn}}{b_{nn}} \right| ,$$

w przeciwnym wypadku  $\sigma = \sigma_2$ .

Taki sposób wyboru przesunięć zapewnia najszybsze malenie elementów codiagonali macierzy  $\tilde{A}$ , czyli wydzielenie się wartości własnych od dołu w górę [2,11].



Jeśli macierz  $\tilde{B}$  jest osobliwa ( $b_{nn} = 0$  lub/i  $b_{n-1,n-1} = 0$ ), przesunięcie  $\sigma$  wyznacza się jako pierwiastek równania liniowego (6), według jednego z następujących wzorów:

1. jeśli  $b_{n-1,n-1} = 0$  :

$$(7) \quad \sigma = \frac{\det(\tilde{A})}{a_{n,n-1}b_{n-1,n} - a_{n-1,n-1}b_{nn}} ;$$

2. jeśli  $b_{nn} = 0$  :

$$(8) \quad \sigma = \frac{\det(\tilde{A})}{a_{n,n-1}b_{n-1,n} - a_{nn}b_{n-1,n-1}} ;$$

3. jeśli  $b_{n-1,n-1} = 0$  oraz  $b_{nn} = 0$  :

$$(9) \quad \sigma = \frac{\det(\tilde{A})}{a_{n,n-1}b_{n-1,n}} .$$

Jeśli mianownik w aktualnym wyrażeniu (7), (8) lub (9) jest równy zeru, wówczas wykonuje się krok iteracyjny z przesunięciem  $\sigma = 0$  [10].

Podsumowując, algorytm wykonania pojedynczego kroku iteracyjnego QZ z niejawnym przesunięciem jest następujący:

1. Wyznaczenie elementów  $a_{10}$ ,  $a_{20}$  według (5) (poprzedzone deflacją problemu "od góry", jeśli  $b_{11} = 0$ );
2. Dla  $j = 1, 2, \dots, n-2$ :
  - 2.1. wyznaczenie macierzy Householdera  $Q_j$  takiej, by wyzerować element  $a_{j+1,j-1}$ ;  
 $A := Q_j A, \quad B := Q_j B.$
  - 2.2. wyznaczenie macierzy obrotu  $Z_j$  takiej, by wyzerować

element  $b_{j+1,j}$ ;

$$B := BZ_j, \quad A := AZ_j.$$

Stosując opisaną procedurę iteracyjnie (z użyciem w każdym  $k$ -tym kroku iteracyjnym przesunięcia  $\sigma_k$ ) otrzymuje się ciąg unitarnie - równoważnych macierzy:

$$A_{k+1} = Q_k A_k Z_k, \quad B_{k+1} = Q_k B_k Z_k,$$

zachowujących w trakcie procesu iteracyjnego uogólnioną postać Hessenberga. Elementy macierzy oznaczone  $a_{ij}$  oraz  $b_{ij}$  we wzorach opisujących technikę pojedynczego kroku iteracyjnego odnoszą się wówczas do kolejnych macierzy  $A_k$  oraz  $B_k$ .

Przebieg procesu iteracyjnego charakteryzuje się tymi samymi własnościami, co w zwykłym algorytmie QR. Zbieżność iteracji określona jest warunkiem zmniejszania się wartości iloczynu dwóch sąsiadujących ze sobą elementów poddiagonalnych macierzy  $A_k$ :

$$a_{i,i-1}^k a_{i+1,i}^k \longrightarrow 0 \quad k \longrightarrow \infty,$$

i przy prawidłowym przebiegu procesu elementy diagonalne określające wartości własne wydzielają się od dołu w górę.

Zazwyczaj liczba iteracji niezbędnych do wydzielenia się kolejnej wartości własnej nie przekracza kilku. Mogą jednak istnieć macierze niezmiennicze względem zadanego sposobu wyboru przesunięć; wówczas, aby uzyskać zbieżność, należy ten proces zakłócić wyborem pewnych niestandardowych wartości przesunięć. Wzorując się na strategii stosowanej w algorytmie QR z pojedynczym przesunięciem [11], dla dziesiątej oraz dwudziestej iteracji zastosowano niestandardową wartość przesunięcia  $\sigma_k$ , wybraną następująco:

$$\operatorname{Re}(\sigma_k) = \left| \operatorname{Re} \left( \frac{a_{n,n-1}^k}{b_{n-1,n-1}^k} \right) \right| + \left| \operatorname{Re} \left( \frac{a_{n-1,n-2}^k}{b_{n-2,n-2}^k} \right) \right|,$$

$$\operatorname{Im}(\sigma_k) = \left| \operatorname{Im} \left( \frac{a_{n,n-1}^k}{b_{n-1,n-1}^k} \right) \right| + \left| \operatorname{Im} \left( \frac{a_{n-1,n-2}^k}{b_{n-2,n-2}^k} \right) \right|$$

(jeśli  $b_{n-2,n-2}^k = 0$  lub  $b_{n-1,n-1}^k = 0$ , wówczas element ten zastępuje się wartością  $\operatorname{eps} \cdot \|B\|_1$ ).

#### IV.1.2. Testowanie elementów codiagonali macierzy A

Po zakończeniu każdego k-tego kroku iteracyjnego sprawdzana jest wielkość elementów poddiagonalnych macierzy  $A_k$ . Jeśli element  $a_{n,n-1}^k$  jest dostatecznie mały według przyjętego kryterium, t.j. spełnia nierówność:

$$|a_{n,n-1}^k| \leq \operatorname{eps} \cdot \|A\|_1,$$

wówczas traktuje się go jako równy zeru. Elementy diagonalne  $a_{nn}^k$  oraz  $b_{nn}^k$  wyznaczają wydzieloną wartość własną  $\lambda_n = a_{nn}^k / b_{nn}^k$  i dalsze iteracje prowadzone są dla bloków diagonalnych macierzy A i B, obejmujących wiersze i kolumny 1, ..., n-1:

$$\begin{bmatrix} a & a & a & a & a \\ a & a & a & a & a \\ & a & a & a & a \\ & & a & a & a \\ & & & \epsilon & a \end{bmatrix} \longrightarrow \begin{bmatrix} a & a & a & a & a \\ a & a & a & a & a \\ & a & a & a & a \\ & & a & a & a \\ & & & 0 & a \end{bmatrix}, \quad \begin{bmatrix} b & b & b & b & b \\ & b & b & b & b \\ & & b & b & b \\ & & & b & b \\ & & & & b \end{bmatrix} \begin{matrix} 1 \\ \\ \\ n-1 \end{matrix}$$

( $\epsilon$  oznacza element spełniający kryterium zaniedbywalności).

Jeśli zamiast elementu  $a_{nn}^k$  zaniedbywalnie mały staje się element  $a_{n-1,n-2}^k$ :

$$|a_{n-1,n-2}^k| \leq \operatorname{eps} \cdot \|A\|_1,$$

wówczas (traktując go jako równy zeru) dalsze iteracje prowadzi się dla bloków diagonalnych obejmujących wiersze i kolumny 1, ..., n-2:



$$\begin{bmatrix} a & a & a & a & a \\ a & a & a & a & a \\ & a & a & a & a \\ & & \epsilon & a & a \\ & & & a & a \end{bmatrix} \rightarrow \begin{bmatrix} a & a & a & a & a \\ a & a & a & a & a \\ & a & a & a & a \\ & & 0 & a & a \\ & & & a & a \end{bmatrix}, \quad \begin{bmatrix} b & b & b & b & b \\ & b & b & b & b \\ & & b & b & b \\ & & & b & b \\ & & & & 0 & b \end{bmatrix} \begin{matrix} 1 \\ \\ \\ \\ n-2 \end{matrix}$$

Wartości własne  $\lambda_n$  oraz  $\lambda_{n-1}$  są w tym przypadku pierwiastkami równania charakterystycznego:

$$\det(\tilde{A}_k - \lambda \tilde{B}_k) = 0,$$

gdzie:

$$\tilde{A}_k = \begin{bmatrix} a_{n-1,n-1}^k & a_{n-1,n}^k \\ a_{n,n-1}^k & a_{nn}^k \end{bmatrix}, \quad \tilde{B}_k = \begin{bmatrix} b_{n-1,n-1}^k & b_{n-1,n}^k \\ 0 & b_{nn}^k \end{bmatrix}.$$

Przedstawiona technika obliczeniowa pozwala na dokonanie deflacji macierzy również w przypadku, gdy dwa kolejne elementy poddiagonalne nie są zanedbywalne każdy z osobna, lecz są "małe" w sensie spełnienia odpowiedniego kryterium. W pracy [10] dokonano uogólnienia metody QR dla wykrywania dwóch sąsiadujących ze sobą "małych" elementów poddiagonalnych na przypadek iteracji QZ z pojedynczym przesunięciem.

Jeśli w trakcie procesu iteracyjnego dwa kolejne elementy poddiagonalne  $a_{r,r-1}^k$  oraz  $a_{r+1,r}^k$  (oznaczone jako  $\epsilon_1$  i  $\epsilon_2$ )

$$\begin{bmatrix} & & & r & & & \\ a & a & a & a & a & a & \\ a & a & a & a & a & a & \\ & \epsilon_1 & a & a & a & a & \\ & & \epsilon_2 & a & a & a & \\ & & & a & a & a & \\ & & & & a & a & \end{bmatrix} \quad r$$

spełniają warunek:

$$(10) \quad |a_{r,r-1}^k \cdot a_{r+1,r}^k| \leq |a_{rr}^k - \sigma_k \cdot b_{rr}^k| \cdot \text{eps} \cdot \|A\|_1$$

(gdzie  $\sigma_k$  oznacza przesunięcie zastosowane w k-tym kroku),

wówczas można dokonać podziału macierzy  $A_k$  i  $B_k$  na niezależne bloki, obejmujące kolumny i wiersze  $1, \dots, r-1$  oraz  $r, \dots, n$ . Dalsze iteracje prowadzi się najpierw dla dolnych bloków diagonalnych (od kolumny  $r$  i wiersza  $r$ ), wyznaczając elementy "zerowej, fikcyjnej kolumny"  $a_{10}^k$  oraz  $a_{20}^k$  (5) jako:

$$(11) \quad \begin{aligned} a_{10}^k &= \frac{a_{rr}^k}{b_{rr}^k} - \sigma_k, \\ a_{20}^k &= \frac{a_{r+1,r}^k}{b_{rr}^k}. \end{aligned}$$

W tym przypadku, po wykonaniu przekształcenia Householdera  $Q_1^k$  zerującego element  $a_{20}^k$  (zmienia ono jedynie wartości elementów wierszy  $r$  oraz  $r+1$ ) otrzymuje się macierz  $Q_1^k A_k$  w postaci:

$$\begin{bmatrix} a & a & a & a & a & a & a \\ a & a & a & a & a & a & a \\ \hline \eta_1 & a & a & a & a & & \\ \eta_2 & a & a & a & a & & \\ & & & a & a & a & \\ & & & & a & a & \end{bmatrix} \begin{matrix} r \\ r \\ r \\ r \\ n \\ n \\ n \end{matrix}$$

gdzie, na podstawie (4):

$$\begin{aligned} \eta_1 &= a_{r,r-1}^k \left( 1 - \frac{a_{10}^k \pm S}{\pm S} \right), \\ \eta_2 &= \frac{a_{r+1,r}^k a_{20}^k}{\pm S}, \quad S^2 = (a_{10}^k)^2 + (a_{20}^k)^2. \end{aligned}$$

Jeśli  $a_{10}^k \neq 0$ , wówczas, uwzględniając (11), otrzymuje się następujące oszacowanie elementu  $\eta_2$ :

$$|\eta_2| \leq \frac{|a_{r,r-1}^k \cdot a_{r+1,r}^k|}{|a_{rr}^k - \sigma_k b_{rr}^k|}$$

Spełnienie warunku (10) oznacza zatem, że wartość elementu  $\eta_2$

jest zaniedbywalnie mała, a zatem rozpoczęcie procedury iteracyjnej od kolumny  $r$  nie narusza uzyskanej uprzednio postaci Hessenberga macierzy  $A$  w obszarze oznaczonym indeksami  $1, \dots, r-1$ . Uwzględniając zaniedbywalność  $\eta_2$  można ponadto wykazać, że element  $\eta_1$  przyjmuje wówczas wartość  $-a_{r, r-1} (= -\epsilon_1)$ :

$$\begin{bmatrix} a & a & a & a & a & a & a \\ a & a & a & a & a & a & a \\ & \epsilon_1 & a & a & a & a & a \\ & & \epsilon_2 & a & a & a & a \\ & & & a & a & a & a \\ & & & & a & a & a \end{bmatrix} \xrightarrow{Q_1^k} \begin{bmatrix} a & a & a & a & a & a & a \\ a & a & a & a & a & a & a \\ & -\epsilon_1 & a & a & a & a & a \\ & & a & a & a & a & a \\ & & & a & a & a & a \\ & & & & a & a & a \\ & & & & & a & a \end{bmatrix} \begin{matrix} r \\ r \\ r \\ r \\ r \\ r \\ r \end{matrix}$$

Przekształcenie  $Q_1^k$  nie narusza zer macierzy  $B$  w kolumnach  $1, \dots, r-1$ .

Spełnienie warunku (10) umożliwia także dokonanie dalszej deflacji problemu "od góry", jeśli  $b_{rr}^k = 0$  (lub jest zaniedbywalnie małe), bez naruszenia struktury Hessenberga macierzy  $A$ . W tym przypadku wykonuje się lewostronne przekształcenie Householdera  $Q_r^k$  zerujące element  $a_{r+1, r}^k (= \epsilon_2)$ ; nie narusza ono zer w pozycjach  $(r, r)$  oraz  $(r+1, r)$  macierzy  $B$ , wprowadza jednak niezerowy element  $x_2$  w pozycji  $(r+1, r-1)$  macierzy  $A$ :

$$\begin{bmatrix} a & a & a & a & a & a \\ a & a & a & a & a & a \\ & x_1 & a & a & a & a \\ & x_2 & 0 & a & a & a \\ & & & a & a & a \\ & & & & a & a \end{bmatrix} \begin{matrix} r+1 \\ r+1 \\ r+1 \\ r+1 \\ r+1 \\ r+1 \end{matrix}$$

W analogiczny jak uprzednio sposób można wykazać, że jeśli  $a_{rr}^k \neq 0$ , element  $x_2$  spełnia nierówność:

$$|x_2| \leq \frac{|\epsilon_1 \epsilon_2|}{|a_{rr}^k|}$$

a zatem jest on zaniedbywalnie mały, jeśli:



$$|\epsilon_1 \epsilon_2| \leq |a_{rr}^k| \cdot \text{eps} \cdot \|A\|_1, \quad ,$$

co oznacza spełnienie kryterium (10), w którym  $b_{rr} = 0$ . Ponadto, również w tym przypadku  $x_1 = -\epsilon_1$ :

$$\begin{bmatrix} a & a & a & a & a & a \\ a & a & a & a & a & a \\ & \epsilon_1 & a & a & a & a \\ & & \epsilon_2 & a & a & a \\ & & & a & a & a \\ & & & & a & a \end{bmatrix} \xrightarrow{Q_r^k} \begin{bmatrix} a & a & a & a & a & a \\ a & a & a & a & a & a \\ & -\epsilon_1 & a & a & a & a \\ & & 0 & a & a & a \\ & & & & a & a \\ & & & & & a \end{bmatrix} \begin{matrix} r+1 & n \\ \\ \\ r+1 \\ \\ n \end{matrix}$$

Dalsze iteracje rozpoczyna się od kolumny i wiersza  $r+1$ , sprawdzając na wstępie warunek  $b_{r+1,r+1} \neq 0$  itd.

Podsumowując, testowanie sąsiadujących elementów codiagonali macierzy  $A$  przebiega następująco:

1. Dla  $r = 1, \dots, n$  sprawdzenie warunku (10);
2. Jeśli warunek (10) jest spełniony dla  $r = m$ , wówczas:
  - 2.1. jeśli  $b_{mm}^k \neq 0$ , rozpoczęcie iteracji od kolumny i wiersza  $m$ ;  
 $a_{m,m-1}^k := -a_{m,m-1}^k$ ;
  - 2.2. jeśli  $b_{mm}^k = 0$ , deflacja problemu w kolumnie  $m$  za pomocą lewostronnego przekształcenia Householdera  $Q_m^k$  zerującego element  $a_{m+1,m}^k$ , a następnie rozpoczęcie iteracji od kolumny i wiersza  $m+1$ ;  
 $a_{m,m-1}^k := -a_{m,m-1}^k$ .

Jeśli w trakcie procesu iteracyjnego przekształcane macierze ulegają podziałowi na bloki:

$$\begin{bmatrix} A_{11} & A_{12} \\ 0 & A_{22} \end{bmatrix}, \quad \begin{bmatrix} B_{11} & B_{12} \\ 0 & B_{22} \end{bmatrix},$$

to dla wyznaczenia wartości własnych ignoruje się bloki  $A_{12}$  oraz  $B_{12}$ , ograniczając przekształcenia do głównych bloków diagonalnych  $A_{11}, B_{11}$  oraz  $A_{22}, B_{22}$ ; jeśli celem obliczeń jest również wyznaczenie wektorów własnych, wówczas transformacjom  $Q$  i  $Z$  muszą podlegać także bloki  $A_{12}$  oraz  $B_{12}$ .

## IV.2. Iteracje QZ dla macierzy rzeczywistych

### IV.2.1. Metoda podwójnego kroku z niejawnymi przesunięciami

W przypadku macierzy rzeczywistych strategia pojedynczego kroku iteracyjnego jest utrudniona, gdyż wartości własne tych macierzy mogą być zarówno liczbami rzeczywistymi, jak i zespolonymi. Jednak zespolone wartości własne występują tu zawsze parami, jako liczby sprzężone, co umożliwia zastosowanie techniki podwójnego kroku, pozwalającej na prowadzenie procesu iteracyjnego wyłącznie w arytmetyce rzeczywistej. Metoda podwójnego kroku iteracyjnego z niejawnymi przesunięciami została wprowadzona przez Francisa [13] i zastosowana w iteracjach QR macierzy rzeczywistej [1,2]. Moler i Stewart [7] rozszerzyli ją na przypadek uogólnionego zagadnienia własnego, stosując tę technikę w opracowanym przez siebie algorytmie QZ.

Procedura rozpoczyna się wykonaniem standardowego podwójnego kroku iteracyjnego QR, odniesionego do macierzy  $C = AB^{-1}$ . Polega on na zbudowaniu macierzy ortogonalnej  $Q = Q_1 Q_2$ , przekształcającej wyjściową macierz Hessenberga  $C_1$  ( $C_1 = C$ ) w ortogonalnie-podobną macierz Hessenberga  $C_3$ , według wzorów:

$$Q_1^T (C_1 - \sigma_1 I) = R_1,$$

$$C_2 = R_1 Q_1 + \sigma_1 I,$$

$$Q_2^T (C_2 - \sigma_2 I) = R_2,$$

$$C_3 = R_2 Q_2 + \sigma_2 I,$$

$$C_3 = (Q_1 Q_2)^T C_1 (Q_1 Q_2) = Q^T C_1 Q.$$

Tak określona macierz  $Q$  spełnia równanie:

$$M = QR ,$$

gdzie:

$$M = (C - \sigma_1 I)(C - \sigma_2 I),$$

$R = R_1 R_2$  jest macierzą trójkątną górną,

$\sigma_1, \sigma_2$  są liczbami określającymi zastosowane przesunięcia.

Macierz  $Q$  jest przy tym jednoznacznie określona (z dokładnością do znaków kolumn) przez swoją pierwszą kolumnę [8]; ponieważ realizuje ona rozkład trójkątny macierzy  $M$ , może być wyrażona w postaci iloczynu  $(n-1)$  macierzy Householdera:

$$Q = H_1 H_2 \dots H_{n-1} ,$$

gdzie wszystkie macierze  $H_i$  ( $i = 2, \dots, n-1$ ) mają pierwszą kolumnę jednostkową. A zatem pierwsza kolumna macierzy  $Q$  (równa pierwszej kolumnie macierzy  $H_1$ ) jest w pełni określona przez elementy pierwszej kolumny macierzy  $M$ , a mianowicie:

$$H_1 = I - (\alpha u) u^T ,$$

gdzie, zgodnie z (4):

$$u_1 = 1 ,$$

$$u_i = \frac{m_{i1}}{m_{11} \pm S} , \quad i = 2, \dots, n ,$$

$$\alpha = \frac{m_{11} \pm S}{\pm S} , \quad S = \left( \sum_{i=1}^n |c_{i1}|^2 \right)^{1/2} .$$

Ponieważ  $C = AB^{-1}$  jest macierzą Hessenberga, pierwsza kolumna macierzy  $M$  ("zerowa, fikcyjna kolumna" macierzy  $A$ ) ma w rzeczywistości tylko trzy elementy niezerowe:

$$a_{10} = m_{11} , \quad a_{20} = m_{21} , \quad a_{30} = m_{31} .$$



A zatem wektor Householdera określający macierz  $H_1$  ma również tylko 3 elementy niezerowe:  $u_1, u_2, u_3$ ; dobierane są one tak, by wyzerować elementy  $a_{20}$  oraz  $a_{30}$ .

Przy użyciu tak określonej macierzy  $Q$  buduje się następnie macierze  $QAZ$  i  $QBZ$ , z których pierwsza jest macierzą Hessenberga, druga - macierzą trójkątną górną. Mnożąc lewostronnie macierze  $A$  i  $B$  przez macierz  $Q_1 = H_1$  otrzymujemy macierze  $Q_1A$  oraz  $Q_1B$  w postaci:

$$(12) \quad \begin{bmatrix} a & a & a & a & a & a \\ a & a & a & a & a & a \\ a & a & a & a & a & a \\ 0 & 0 & a & a & a & a \\ 0 & 0 & 0 & a & a & a \\ 0 & 0 & 0 & 0 & a & a \end{bmatrix} \quad \begin{bmatrix} b & b & b & b & b & b \\ b'' & b & b & b & b & b \\ b' & b' & b & b & b & b \\ 0 & 0 & 0 & b & b & b \\ 0 & 0 & 0 & 0 & b & b \\ 0 & 0 & 0 & 0 & 0 & b \end{bmatrix}.$$

Przekształcenie spowodowało pojawienie się trzech niezerowych elementów poddiagonalnych macierzy  $B$  w pozycjach (2,1), (3,1) oraz (3,2). Elementy te usuwane są następnie za pomocą dwóch kolejnych przekształceń prawostronnych:

$Z'_1$  - macierzy Householdera zerującej elementy  $b_{31}$  oraz  $b_{32}$ ;

$Z''_1$  - macierzy obrotu zerującej element  $b_{21}$ .

Po wykonaniu mnożenia macierz  $Q_1AZ'_1Z''_1$  ma postać:

$$\begin{bmatrix} a & a & a & a & a & a \\ a & a & a & a & a & a \\ a' & a & a & a & a & a \\ a' & a & a & a & a & a \\ 0 & 0 & 0 & a & a & a \\ 0 & 0 & 0 & 0 & a & a \end{bmatrix}$$

Następnie zerowane są elementy  $a_{31}$  i  $a_{41}$  za pomocą lewostronnego przekształcenia Householdera  $Q_2$ ; uzyskane macierze  $Q_2Q_1AZ'_1Z''_1$  i  $Q_2Q_1BZ'_1Z''_1$  mają postać:

$$\begin{bmatrix} a & a & a & a & a & a \\ a & a & a & a & a & a \\ 0 & a & a & a & a & a \\ 0 & a & a & a & a & a \\ 0 & 0 & 0 & a & a & a \\ 0 & 0 & 0 & 0 & a & a \end{bmatrix} \quad \begin{bmatrix} b & b & b & b & b & b \\ 0 & b & b & b & b & b \\ 0 & b'' & b & b & b & b \\ 0 & b' & b' & b & b & b \\ 0 & 0 & 0 & 0 & b & b \\ 0 & 0 & 0 & 0 & 0 & b \end{bmatrix}$$

W ten sposób wyjściowy układ niezerowych elementów poddiagonalnych (12) w obu macierzach "przesunął" się niżej, do prawego bloku diagonalnego  $5 \times 5$ .

W analogiczny sposób zerowane są kolejne elementy poddiagonalne obu macierzy; proces kończy się nieco prostszym krokiem zerującym pojedynczy element  $a_{n,n-2}$  za pomocą macierzy  $Q_{n-1}$ , a następnie element  $b_{n,n-1}$  za pomocą macierzy  $Z'_{n-1}$ .

Ostatecznie otrzymujemy:

$$A := Q_{n-1} \dots \left( Q_2 \left( Q_1 A Z'_1 Z''_1 \right) Z'_2 Z''_2 \right) \dots Z'_{n-1} ,$$

$$B := Q_{n-1} \dots \left( Q_2 \left( Q_1 B Z'_1 Z''_1 \right) Z'_2 Z''_2 \right) \dots Z'_{n-1} ,$$

gdzie, oznaczając:

$$Q = Q_1 Q_2 \dots Q_{n-1} ,$$

$$Z = Z'_1 Z''_1 Z'_2 Z''_2 \dots Z'_{n-1} ,$$

macierze  $A = Q^T A Z$  oraz  $B = Q^T B Z$  mają ponownie uogólnioną postać Hessenberga.

Opisana procedura ilustruje technikę wykonania jednego (podwójnego) kroku iteracyjnego. Aby go zainicjować, należy wyznaczyć elementy "zerowej, fikcyjnej kolumny" macierzy  $A$ . Ponieważ są to trzy niezerowe elementy pierwszej kolumny macierzy  $M = (C - \sigma_1 I)(C - \sigma_2 I)$ , gdzie  $C = AB^{-1}$ , otrzymujemy:

$$a_{10} = c_{11}^2 - c_{11}(\sigma_1 + \sigma_2) + \sigma_1 \sigma_2 + c_{12} c_{21} ;$$

$$a_{20} = c_{21}(c_{11} + c_{22} - \sigma_1 - \sigma_2) ;$$

$$a_{30} = c_{32} c_{21} .$$

Analogicznie do techniki stosowanej w standardowym algorytmie QR, jako przesunięcia  $\sigma_1$  i  $\sigma_2$  wybiera się wartości własne dolnego bloku diagonalnego  $2 \times 2$  macierzy  $C$ , czyli pierwiastki równania charakterystycznego:

$$\det(\tilde{C} - \sigma I) = 0 ,$$

gdzie

$$\tilde{C} = \begin{bmatrix} c_{n-1, n-1} & c_{n-1, n} \\ c_{n, n-1} & c_{nn} \end{bmatrix} .$$

Zgodnie z definicją, wartości te spełniają zależności:

$$\sigma_1 + \sigma_2 = c_{n-1, n-1} + c_{nn} ,$$

$$\sigma_1 \sigma_2 = c_{n-1, n-1} c_{nn} - c_{n, n-1} c_{n-1, n} .$$

Zastępując w powyższych wzorach elementy macierzy C odpowiednimi elementami macierzy  $AB^{-1}$  oraz dokonując niezbędnych przekształceń, otrzymamy ( $m = n-1$ ):

$$a_{10} = \left[ \left( \frac{a_{mm}}{b_{mm}} - \frac{a_{11}}{b_{11}} \right) \left( \frac{a_{nn}}{b_{nn}} - \frac{a_{11}}{b_{11}} \right) - \left( \frac{a_{mn}}{b_{nn}} \right) \left( \frac{a_{nm}}{b_{mm}} \right) + \left( \frac{a_{nm}}{b_{mm}} \right) \left( \frac{b_{mn}}{b_{nn}} \right) \left( \frac{a_{11}}{b_{11}} \right) \right] \left( \frac{b_{11}}{a_{21}} \right) + \left( \frac{a_{12}}{b_{22}} \right) - \left( \frac{a_{11}}{b_{11}} \right) \left( \frac{b_{12}}{b_{22}} \right) ,$$

$$a_{20} = \left( \frac{a_{22}}{b_{22}} - \frac{a_{11}}{b_{11}} \right) - \left( \frac{a_{21}}{b_{11}} \right) \left( \frac{b_{12}}{b_{22}} \right) - \left( \frac{a_{mm}}{b_{mm}} - \frac{a_{11}}{b_{11}} \right) + - \left( \frac{a_{nn}}{b_{nn}} - \frac{a_{11}}{b_{11}} \right) - \left( \frac{a_{nm}}{b_{mm}} \right) \left( \frac{b_{mn}}{b_{nn}} \right) ,$$

$$a_{30} = \frac{a_{32}}{b_{22}} . \quad (13)$$

Dla wyznaczenia elementów  $a_{10}$ ,  $a_{20}$ ,  $a_{30}$  wymagane jest zatem spełnienie warunków:

$$b_{11} \neq 0, \quad b_{22} \neq 0 \quad \text{oraz} \quad b_{n-1, n-1} \neq 0, \quad b_{nn} \neq 0.$$

Jednak również w przypadku, gdy wartość któregoś z tych elementów nie jest dokładnie równa zero, lecz jest zaniedbywal-



nie mała (w sensie występujących błędów zaokrągleń), sytuacja jest niekorzystna dla zbieżności procesu iteracyjnego, gdyż powoduje osłabienie efektu zastosowanych przesunięć. Jeśli np. element  $b_{11}$  lub  $b_{22}$  jest "mały", wówczas człony definiujące przesunięcia (zawierające elementy  $b_{nn}$ ,  $b_{n-1,n-1}$ ) stają się zanedbywalne w porównaniu z pozostałymi członami. Podobnie negatywny wpływ ma stosowanie nieskończonych wartości przesunięć ( $b_{n-1,n-1} \sim 0$  lub  $b_{nn} \sim 0$ ).

Jeśli  $b_{11} = 0$  (lub jest zanedbywalnie małe), dokonuje się deflacji problemu "od góry" za pomocą lewostronnego przekształcenia obrotu  $Q_{12}$  zerującego element  $a_{21}$  (według schematu przedstawionego na str. 22), a następnie kontynuuje procedurę dla macierzy o zmniejszonym wymiarze.

Dla większości regularnych zagadnień własnych metoda QZ umożliwia wyeliminowanie przypadków  $b_{nn} = 0$  oraz  $b_{n-1,n-1} = 0$  już w trakcie wstępnego etapu redukcji macierzy A i B do uogólnionej postaci Hessenberga (opisanego w rozdziale III). Technika obliczeniowa zastosowana podczas tej redukcji powoduje, że wartości zerowe na diagonalu B (jeśli istnieją) przemieszczają się wzdłuż diagonalu w kierunku od dołu w górę [7,10]. W ten sposób "duże" wartości własne mają tendencję do gromadzenia się w lewym górnym rogu. Nie wyklucza to jednak możliwości zerowania się elementów  $b_{nn}$  lub  $b_{n-1,n-1}$  w przypadkach szczególnych.

Istotnym problemem w algorytmie QZ z podwójnym przesunięciem jest przypadek  $b_{22} = 0$ , gdyż element ten nie może być wyeliminowany z zagadnienia poprzez deflację. Przypadek ten występuje przy tym bardzo często, gdy macierz B jest osobliwa, co wynika ze wspomnianej wyżej własności przesuwania się zer wzdłuż diagonalu B na etapie wstępnej redukcji (wartość elementu  $b_{11}$  nie ulega zmianie podczas tej redukcji). Wprawdzie w praktyce numerycznej problem ten nie powoduje istotnych ograniczeń stosowalności algorytmu; ze względu na skończoną dokładność arytmetyki zmiennoprzecinkowej i błędy zaokrągleń, wartość elementu  $b_{22}$

(jako wynik sekwencji poprzednich przekształceń) będzie w rzeczywistości zanedbywalnie mała, lecz różna od zera. Obliczenia przebiegną więc na ogół bez zakłóceń, choć spowodowane osłabienie (lub wręcz anulowanie) efektu przesunięć może znacznie wydłużyć proces iteracyjny.

Strategia podwójnego kroku zastosowana w iteracjach QZ może być więc źródłem problemów numerycznych w przypadku, gdy B jest macierzą osobliwą, co znacznie ogranicza praktyczną użyteczność algorytmu.

Podsumowując omówioną do tej pory technikę obliczeniową, algorytm wykonania jednego podwójnego kroku iteracyjnego QZ jest następujący:

1. Wyznaczenie elementów  $a_{10}$ ,  $a_{20}$ ,  $a_{30}$  według (13)  
(poprzedzone deflacją problemu "od góry", jeśli  $b_{11} = 0$ );
2. Dla  $j = 1, 2, \dots, n-2$ :
  - 2.1. wyznaczenie macierzy Householdera  $Q_j$  takiej, by wyzerować elementy  $a_{j+1, j-1}$  oraz  $a_{j+2, j-1}$ ;  
 $A := Q_j A$ ,       $B := Q_j B$ .
  - 2.2. wyznaczenie macierzy Householdera  $Z'_j$  takiej, by wyzerować elementy  $b_{j+2, j+1}$  oraz  $b_{j+2, j}$ ;  
 $B := B Z'_j$ ,       $A := A Z'_j$ .
  - 2.3. wyznaczenie macierzy obrotu  $Z''_j$  takiej, by wyzerować element  $b_{j+1, j}$ ;  
 $B := B Z''_j$ ,       $A := A Z''_j$ .
3. Wyznaczenie macierzy Householdera  $Q_{n-1}$  takiej, by wyzerować element  $a_{n, n-1}$ ;  
 $A := Q_{n-1} A$ ,       $B := Q_{n-1} B$ .
4. Wyznaczenie macierzy obrotu  $Z_{n-1}$  takiej, by wyzerować element  $b_{n, n-1}$ ;

$$B := BZ_{n-1}, \quad A := AZ_{n-1}.$$

Prawidłowy przebieg procesu iteracyjnego charakteryzuje się tymi samymi własnościami, co w metodzie pojedynczego kroku, opisanej w rozdziale IV.1. W jego wyniku maleją wartości elementów codiagonali macierzy  $A$ , a elementy diagonalne określające wartości własne wydzielają się od dołu w górę. Po zakończeniu każdego  $k$ -tego kroku iteracyjnego sprawdzana jest wielkość elementów codiagonali macierzy  $A_k$ . Jeśli element  $a_{n,n-1}^k$  jest dostatecznie mały według przyjętego kryterium, t.j. spełnia nierówność:

$$|a_{n,n-1}^k| \leq \text{eps} \cdot \|A\|_1,$$

wówczas traktuje się go jako równy zero. Elementy diagonalne  $a_{nn}^k$  oraz  $b_{nn}^k$  wyznaczają wydzieloną wartość własną  $\lambda_n = a_{nn}^k/b_{nn}^k$  i dalsze iteracje prowadzone są dla bloków diagonalnych macierzy  $A$  i  $B$ , obejmujących wiersze i kolumny  $1, \dots, n-1$ .

Jeśli zamiast elementu  $a_{nn}^k$  zaniedbywalnie mały staje się element  $a_{n-1,n-2}^k$ , wówczas (traktując go jako równy zero) dalsze iteracje prowadzi się dla bloków diagonalnych obejmujących wiersze i kolumny  $1, \dots, n-2$ ; wartości własne  $\lambda_n$  oraz  $\lambda_{n-1}$  (rzeczywiste lub stanowiące sprzężoną parę zespoloną) są w tym przypadku pierwiastkami równania charakterystycznego:

$$\det(\tilde{A}_k - \lambda \tilde{B}_k) = 0,$$

gdzie  $\tilde{A}_k, \tilde{B}_k$  są dolnymi blokami diagonalnymi  $2 \times 2$  macierzy  $A_k, B_k$ , obejmującymi wiersze i kolumny:  $n-1, n$ .

Jeśli dwa kolejne elementy poddiagonalne  $a_{r,r-1}^k$  oraz  $a_{r+1,r}^k$  (oznaczone jako  $\epsilon_1$  oraz  $\epsilon_2$ ) nie są zaniedbywalne każdy z osobna, lecz są "małe" w sensie spełnienia odpowiedniego kryterium, można dokonać deflacji macierzy, kontynuując proces iteracyjny od kolumny i wiersza  $r$ . W przypadku techniki podwójnego kroku kryterium to określone jest przez warunek [1]:



$$(14) \quad |\epsilon_1| \cdot (|\bar{a}_{20}| + |\bar{a}_{30}|) \leq |\bar{a}_{10}| \cdot \epsilon_{ps} \cdot \|A\|_1, \quad ,$$

gdzie:

$\bar{a}_{10}, \bar{a}_{20}, \bar{a}_{30}$  są trzema niezerowymi elementami "fikcyjnej zerowej kolumny" macierzy  $\bar{A}_k$ ; wyznacza się je na podstawie wzorów (13), w których elementy  $a, b$  z indeksami 1,2 zastępowane są odpowiednio elementami  $a, b$  z indeksami  $r, r+1$ ;

$\bar{A}_k$  jest dolnym blokiem diagonalnym macierzy  $A_k$  obejmującym wiersze i kolumny  $r, \dots, n$ :

$$\left[ \begin{array}{cc|cccc} & & & r & & n \\ a & a & \dots & a & a & a & a \\ a & a & \dots & a & a & a & a \\ & \epsilon_1 & & a & a & a & a \\ & & & \epsilon_2 & a & a & a \\ & & & & a & a & a \\ & & & & & a & a \end{array} \right] \left. \begin{array}{l} r \\ \\ \\ n \end{array} \right\} \bar{A}_k$$

Po wykonaniu przekształcenia Householdera  $Q_1^k$  zerującego elementy  $\bar{a}_{20}$  oraz  $\bar{a}_{30}$  (zmienia ono jedynie wartości elementów wierszy  $r, r+1$  oraz  $r+2$ ) otrzymuje się macierz  $Q_1^k \bar{A}_k$  w postaci:

$$\left[ \begin{array}{cc|cccc} & & & r & & n \\ a & a & \dots & a & a & a & a \\ a & a & \dots & a & a & a & a \\ & \eta_1 & & a & a & a & a \\ & \eta_2 & & a & a & a & a \\ & \eta_3 & & a & a & a & a \\ & & & & & a & a \end{array} \right] \left. \begin{array}{l} r \\ \\ \\ n \end{array} \right\}$$

gdzie, na podstawie (4):

$$\eta_1 = \epsilon_1 \left( 1 - \frac{\bar{a}_{10} \pm S}{\pm S} \right),$$

$$\eta_2 = \frac{\epsilon_1 \bar{a}_{20}}{\pm S},$$

$$\eta_3 = \frac{\epsilon_1 \bar{a}_{30}}{\pm S},$$

$$S^2 = (\bar{a}_{10})^2 + (\bar{a}_{20})^2 + (\bar{a}_{30})^2.$$

Jeśli  $\bar{a}_{10} \neq 0$ , wówczas otrzymuje się następujące oszacowanie:

$$|\eta_2| + |\eta_3| \leq \frac{|\epsilon_1| \cdot (|\bar{a}_{20}| + |\bar{a}_{30}|)}{|\bar{a}_{10}|}$$

Spełnienie warunku (14) oznacza, że wartości elementów  $\eta_2$  i  $\eta_3$  są zanedbywalnie małe, a zatem rozpoczęcie procedury iteracyjnej od kolumny  $r$  nie narusza uzyskanej uprzednio postaci Hessenberga macierzy  $A$  w kolumnach  $1, \dots, r-1$ . Uwzględniając zanedbywalność  $\eta_2$  i  $\eta_3$  można ponadto wykazać, że element  $\eta_1$  przyjmuje wówczas wartość  $-\epsilon_1$ :

$$\begin{bmatrix} a & a & a & a & a & a & a \\ a & a & a & a & a & a & a \\ & \epsilon_1 & a & a & a & a & a \\ & & \epsilon_2 & a & a & a & a \\ & & & a & a & a & a \\ & & & & a & a & a \end{bmatrix} \xrightarrow{Q_1^k} \begin{bmatrix} a & a & a & a & a & a & a \\ a & a & a & a & a & a & a \\ & -\epsilon_1 & a & a & a & a & a \\ & & a & a & a & a & a \\ & & & a & a & a & a \\ & & & & a & a & a \end{bmatrix} \begin{matrix} r \\ n \\ r \\ n \\ n \\ n \end{matrix}$$

Wzoruując się na strategii stosowanej w algorytmie QR z podwójnym przesunięciem [2,11], dla dziesiątej oraz dwudziestej iteracji zastosowano niestandardowe wartości przesunięć  $\sigma_k$  i  $\sigma_{k+1}$ , spełniające zależności:

$$\sigma_k + \sigma_{k+1} = 1.5 \cdot S, \quad \sigma_k \sigma_{k+1} = S^2,$$

gdzie:

$$S = \left| \frac{a_{n,n-1}^k}{b_{n-1,n-1}^k} \right| + \left| \frac{a_{n-1,n-2}^k}{b_{n-2,n-2}^k} \right|$$

(jeśli  $b_{n-1,n-1}^k = 0$  lub  $b_{n-2,n-2}^k = 0$ , wówczas element ten zastępuje się wartością  $\text{eps} \cdot \|B\|_1$ ).

Postępowanie to ma na celu uzyskanie zbieżności (poprzez zaburzenie procesu iteracyjnego) w przypadku, gdy zredukowane macierze okażą się niezmiennicze względem zadanej strategii wyboru przesunięć.

#### IV.2.2. Iteracje QZ z kombinowanym przesunięciem

W rozdziale IV.2.1. wykazano, że przy zastosowaniu techniki podwójnego kroku iteracyjnego może nastąpić zakłócenie prawidłowego funkcjonowania algorytmu w przypadkach, gdy:

- 1)  $b_{22} = 0$  ;
- 2)  $b_{nn} = 0$  lub/oraz  $b_{n-1, n-1} = 0$  ;

Sytuacje te mogą powodować problemy numeryczne (nieokreśloność formuł (13)) lub też (nawet przy niezakłóconym przebiegu obliczeń ze względu na występujące błędy zaokrągleń) znaczne osłabienie efektu przesunięć, co jest niekorzystne dla zbieżności procesu iteracyjnego.

Powyższe przypadki nie powodują natomiast trudności obliczeniowych w algorytmie QZ z pojedynczym przesunięciem; przypadek  $b_{22} = 0$  nie ma tam w ogóle wpływu na przebieg obliczeń, natomiast przypadki  $b_{nn} = 0$ ,  $b_{n-1, n-1} = 0$  implikują jedynie inny sposób wyznaczenia aktualnej wartości przesunięcia (wzory (7), (8), (9)), bez naruszenia jednolitości schematu iteracyjnego.

Ponadto, metoda podwójnego kroku iteracyjnego jest bardzo czasochłonna, przede wszystkim ze względu na procedurę wykrywania dwóch "małych" sąsiadujących ze sobą elementów poddiagonalnych macierzy A za pomocą kryterium (14). Obliczaniu (w każdym kroku iteracyjnym) trzech elementów "zerowej, fikcyjnej kolumny" według (13) musi towarzyszyć testowanie odpowiednich elementów diagonalii macierzy B w kolumnach  $2, \dots, n-1$ , co wymaga znacznej liczby operacji. W większości przypadków, czas pochłonięty przez te operacje niweluje korzyści wynikające z faktu jednoczesnego wykonania dwóch kroków iteracyjnych [10].

Wiadomo również, że użycie metody podwójnego kroku jest uzasadnione jedynie w przypadku, gdy wyznaczone wartości przesunięć są liczbami zespolonymi, co nie zawsze ma miejsce.

Znacznie efektywniejszą techniką iteracyjną w przypadku zagadnienia z macierzami rzeczywistymi jest metoda iteracji QZ



z kombinowanym przesunięciem, opracowana przez Warda [10]. Umożliwia ona wybór strategii pojedynczego lub podwójnego kroku na początku każdej kolejnej iteracji, w zależności od typu aktualnych wartości przesunięć (rzeczywiste lub zespolone), jak również aktualnych wartości elementów diagonalnych  $b_{22}$  oraz  $b_{nn}$  i  $b_{n-1,n-1}$ . Postępowanie to pozwala wyeliminować trudności związane z techniką podwójnego kroku, zmniejszając jednocześnie czasochłonność obliczeń.

Schemat wykonania każdego kolejnego kroku iteracyjnego jest tu następujący:

1. Jeśli  $b_{nn} \neq 0$  oraz  $b_{n-1,n-1} \neq 0$ :
  - 1.1. sprawdzenie, czy wartości własne dolnego bloku diagonalnego  $2 \times 2$  macierzy  $AB^{-1}$  (określające przesunięcia  $\sigma_1, \sigma_2$ ) są rzeczywiste, czy zespolone;
  - 1.2. jeśli  $\sigma_1, \sigma_2$  są zespolone:
    - (a) jeśli  $b_{22} \neq 0$ , wykonanie podwójnego kroku iteracyjnego z przesunięciami  $\sigma_1, \sigma_2$ ;
    - (b) jeśli  $b_{22} = 0$ , wykonanie pojedynczego kroku iteracyjnego z przesunięciem  $\sigma$  równym części rzeczywistej pary wartości sprzężonych  $\sigma_1, \sigma_2$  ( $\sigma = \text{Re}(\sigma_1) = \text{Re}(\sigma_2)$ );
  - 1.3. jeśli  $\sigma_1, \sigma_2$  są rzeczywiste, wykonanie pojedynczego kroku iteracyjnego z przesunięciem  $\sigma$  równym tej wartości spośród  $\sigma_1, \sigma_2$ , która jest bliższa wartości  $a_{nn}/b_{nn}$ ;
2. Jeśli  $b_{nn} = 0$  lub/oraz  $b_{n-1,n-1} = 0$ , wykonanie pojedynczego kroku iteracyjnego z przesunięciem  $\sigma$ , wyznaczonym według odpowiedniego wzoru (7), (8), (9), lub też przesunięciem  $\sigma = 0$ , jeśli mianownik w aktualnym wzorze jest równy zeru.

## V. OSTATECZNA REDUKCJA MACIERZY A DO POSTACI TRÓJKĄTNEJ

W wyniku opisanych do tej pory etapów algorytmu otrzymujemy: macierz B w postaci trójkątnej górnej oraz macierz A w postaci quasi-trójkątnej górnej, w której przynajmniej co drugi element dolnej codiagonali jest równy zeru. Postać ta umożliwia już wyznaczenie wszystkich wartości własnych na podstawie bloków diagonalnych  $1 \times 1$  oraz  $2 \times 2$  obu macierzy. Wartości własne bloków  $1 \times 1$  są po prostu ilorazami odpowiadających sobie elementów diagonalnych  $a_{ii}/b_{ii}$ . Wartości własne bloków  $2 \times 2$  (oznaczonych jako  $\tilde{A}, \tilde{B}$ ) są pierwiastkami równania kwadratowego

$$(15) \quad \det(\tilde{A} - \lambda\tilde{B}) = 0$$

i w przypadku macierzy rzeczywistych mogą być zarówno rzeczywiste, jak i zespolone.

Zamiast rozwiązywać równanie (15), można jednak dokonać dalszej redukcji zagadnienia  $2 \times 2$  do dwóch zagadnień  $1 \times 1$ , w celu wyodrębnienia elementów diagonalnych. Metoda ta jest korzystniejsza co najmniej z dwóch powodów:

- elementy diagonalne zawierają bogatszą informację o wartości własnej niż sama wartość; na przykład, jeśli oba elementy  $a_{ii}$  i  $b_{ii}$  są małe, wyznaczona przez nie wartość własna  $\lambda_i$  jest źle uwarunkowana, niezależnie od jej wartości bezwzględnej;
- wyodrębnienie wartości własnych w blokach  $1 \times 1$  znacznie upraszcza procedurę wyznaczania wektorów własnych.

W opracowanych algorytmach zastosowano metodę redukcji poszczególnych bloków diagonalnych  $2 \times 2$  za pomocą przekształceń unitarnych, omówioną w pracy Molera i Stewarta [7]. Zostanie ona zilustrowana na przykładzie bloków:

$$\tilde{A} = \begin{bmatrix} a_{11} & a_{12} \\ a_{21} & a_{22} \end{bmatrix}, \quad \tilde{B} = \begin{bmatrix} b_{11} & b_{12} \\ 0 & b_{22} \end{bmatrix}.$$

W szczególnych przypadkach, gdy  $b_{11} = 0$  lub  $b_{22} = 0$ , redukcja polega na wyzerowaniu elementu  $a_{21}$  za pomocą przekształcenia obrotu nie naruszającego zer w macierzy  $\tilde{B}$ . Uzyskuje się to przez zastosowanie:

- obrotu lewostronnego  $Q$ , jeśli  $b_{11} = 0$ :

$$\tilde{A} \longrightarrow Q\tilde{A}, \quad \tilde{B} \longrightarrow Q\tilde{B};$$

- obrotu prawostronnego  $Z$ , jeśli  $b_{22} = 0$ :

$$\tilde{A} \longrightarrow \tilde{A}Z, \quad \tilde{B} \longrightarrow \tilde{B}Z.$$

W ogólnym przypadku procedura anihilacji elementu  $a_{21}$  z jednoczesnym zachowaniem zerowej wartości elementu  $b_{21}$  jest nieco bardziej złożona i polega na zastosowaniu następujących operacji:

1. wyznaczenie jednej z wartości własnych  $\lambda$  (tej, dla której nie zachodzi odejmowanie się cyfr znaczących) jako pierwiastka równania kwadratowego (15);

2. wyznaczenie macierzy obrotu  $Z$  takiej, by wyzerować pierwszy element tego wiersza macierzy  $E = (\tilde{A} - \lambda\tilde{B})$ , który ma większą normę, a zatem:

$$\text{element } e_{11} \quad \text{jeśli } \|e_1\| > \|e_2\|,$$

$$\text{element } e_{21} \quad \text{jeśli } \|e_1\| < \|e_2\|,$$

gdzie  $e_1$  i  $e_2$  oznaczają pierwszy i drugi wiersz macierzy  $E$ ;

3. wyznaczenie macierzy obrotu  $Q$  takiej, by wyzerować element (2,1) tej z dwóch macierzy  $\tilde{A}Z$  i  $\lambda\tilde{B}Z$ , która ma mniejszą normę, a zatem:

$$\text{element } a_{21} \quad \text{jeśli } \|\tilde{A}Z\|_1 < |\lambda| \cdot \|\tilde{B}Z\|_1,$$

$$\text{element } b_{21} \quad \text{jeśli } \|\tilde{A}Z\|_1 > |\lambda| \cdot \|\tilde{B}Z\|_1.$$

Analiza powyższej procedury przeprowadzona w pracy [7] na podstawie oszacowań błędów zaokrągleń prowadzi do wniosku, że w obu uzyskanych macierzach  $Q\tilde{A}Z$  oraz  $Q\tilde{B}Z$  elementy znajdujące się



w pozycji (2,1) są zaniedbywalnie małe, a zatem macierze te są trójkątne górne. Istotnym warunkiem stabilności procedury jest, by element  $a_{21}$  wyjściowej macierzy  $\tilde{A}$  nie był zaniedbywalnie mały, tzn. by spełniony był warunek:

$$|a_{21}| > \epsilon \cdot \|\tilde{A}\|_1,$$

co jest zapewnione w wyniku testowania elementów codiagonali w trakcie procedury iteracyjnej.

W praktyce przekształcenia Q i Z macierzy A i B na etapie końcowej redukcji do postaci trójkątnej wykonywane są w przypadku zespolonym oraz w tym przypadku rzeczywistym, gdy blokowi diagonalnemu 2 x 2 odpowiadają rzeczywiste wartości własne. Jeśli rzeczywistemu blokowi 2 x 2 odpowiada para wartości zespolonych sprzężonych, wówczas powyższa procedura pozwala wyznaczyć (w arytmetyce zespolonej) odpowiadające elementy diagonalne, lecz transformacje macierzy nie są wykonywane. Zatem końcową postacią macierzy A w przypadku rzeczywistym jest postać quasi-trójkątna, w której każdemu blokowi diagonalnemu 2 x 2 odpowiada para zespolonych wartości własnych.

## VI. WYZNACZANIE WEKTORÓW WŁASNYCH

Wektory własne zredukowanego zagadnienia z macierzami  $\hat{A} = QAZ$  oraz  $\hat{B} = QBZ$  obliczane są uogólnioną metodą "podstawienia wstecznego"<sup>1</sup>. Metoda ta, zastosowana w procedurze fi: standardowego algorytmu QR [2,11] jest bardzo efektywną techniką obliczania wektorów własnych w przypadku, gdy celem obliczeń jest wyznaczenie pełnego zestawu tych wektorów.

W przypadku uogólnionego zagadnienia własnego, wektory własne obliczane są jako rozwiązania szczególne układów równań jednorodnych:

-----

<sup>1</sup>ang. "backsubstitution".

$$(\hat{A} - \lambda_i \hat{B})y_i = 0 \quad i = 1, \dots, n \quad (\text{wektory prawe}),$$

$$v_i^T(\hat{A} - \lambda_i \hat{B}) = 0 \quad i = 1, \dots, n \quad (\text{wektory lewe}).$$

Elementy wektorów  $y_i$  oraz  $v_i$  będą dalej oznaczane jako  $y_{ji}$  oraz  $v_{ji}$  ( $j = 1, \dots, n$ ).

Ponadto, dla uproszczenia notacji, elementy macierzy  $\hat{A}$  i  $\hat{B}$  oznaczane będą jako  $a_{ij}$  oraz  $b_{ij}$ .

W przypadku zespolonym, gdy obie macierze  $\hat{A}$  i  $\hat{B}$  są trójkątne, składowe prawego wektora własnego  $y_i$  odpowiadającego wartości własnej  $\lambda_i$  są następujące:

$$y_{ji} = \frac{- \sum_{k=j+1}^i (a_{jk} - \lambda_i b_{jk}) \cdot y_{ki}}{(a_{jj} - \lambda_i b_{jj})}, \quad j = 1, \dots, i-1,$$

(16)

$$y_{ii} = 1,$$

$$y_{ji} = 0, \quad j = i+1, \dots, n.$$

Analogicznie, składowe lewego wektora własnego  $v_i$  określone są jako:

$$v_{ji} = 0, \quad j = 1, \dots, i-1,$$

$$v_{ii} = 1,$$

(17)

$$v_{ji} = \frac{- \sum_{k=i}^{j-1} (a_{kj} - \lambda_i b_{kj}) \cdot v_{ki}}{(a_{jj} - \lambda_i b_{jj})}, \quad j = i+1, \dots, n.$$

Elementy  $y_{ii} = 1$  oraz  $v_{ii} = 1$  zadaje się z góry wybierając tym samym rozwiązania szczególne układów (16) i (17).

Jeśli  $a_{jj} - \lambda_i b_{jj} = 0$ , wówczas mianowniki w powyższych wzorach zastępuje się wartością równą  $\max(\text{eps} \cdot \|A\|_1, \text{eps} |\lambda_i| \cdot \|B\|_1)$ .

Bardziej skomplikowane są obliczenia w przypadku rzeczywistym, gdy nie wszystkie wartości własne są rzeczywiste. Wówczas zredukowana macierz  $\hat{A}$  zawiera bloki diagonalne  $2 \times 2$  odpowiadające parom wartości zespolonych sprzężonych. Wektory własne odpowiadające tym wartościom są również zespolone i parami sprzężone. Jednak i w tym przypadku technika "podstawienia wstecznego" umożliwi wyznaczenie pełnego zestawu wektorów własnych.

Jeśli wektor  $y_i$  odpowiada rzeczywistej wartości własnej  $\lambda_i$  (tzn. jest wektorem rzeczywistym), a blok diagonalny  $2 \times 2$  określający parę zespolonych wartości własnych znajduje się w wierszach i kolumnach  $j, j+1$ , wówczas składowe  $y_{ji}$  oraz  $y_{j+1,i}$  oblicza się z układu dwóch równań, utworzonych przez rozpisanie układu (16):

$$(a_{jj} - \lambda_i b_{jj})y_{ji} + (a_{j,j+1} - \lambda_i b_{j,j+1})y_{j+1,i} =$$

$$(18a) \quad = - \sum_{k=j+2}^i (a_{jk} - \lambda_i b_{jk}) \cdot y_{ki} ,$$

$$a_{j+1,j} y_{ji} + (a_{j+1,j+1} - \lambda_i b_{j+1,j+1})y_{j+1,i} =$$

$$(18b) \quad = - \sum_{k=j+2}^i (a_{j+1,k} - \lambda_i b_{j+1,k}) \cdot y_{ki} .$$

Analogiczny układ równań dla wyznaczenia składowych  $v_{ji}$  oraz  $v_{j+1,i}$  lewego wektora własnego ma postać:

$$(a_{jj} - \lambda_i b_{jj})v_{ji} + a_{j+1,j} v_{j+1,i} = - \sum_{k=i}^{j-1} (a_{kj} - \lambda_i b_{kj}) \cdot v_{ki} ,$$

$$(19a)$$



$$\begin{aligned}
 (a_{j,j+1} - \lambda_i b_{j,j+1}) v_{ji} + (a_{j+1,j+1} - \lambda_i b_{j+1,j+1}) v_{j+1,i} = \\
 (19b) \qquad \qquad \qquad = - \sum_{k=i}^{j-1} (a_{k,j+1} - \lambda_i b_{k,j+1}) \cdot v_{ki} .
 \end{aligned}$$

Pozostałe składowe wektorów  $y_i$  oraz  $v_i$  obliczane są ze wzorów (16) i (17).

Jeśli wektory  $y_i$  oraz  $y_{i+1}$  odpowiadają parze zespolonych wartości własnych  $\lambda_i = \lambda_{i+1}^*$ , wówczas wyznacza się ten wektor własny, który odpowiada wartości własnej z dodatnią częścią urojoną (drugi wektor jest po prostu wektorem sprzężonym).

Przy założeniu, że  $y_{i+1,i} = i$  (jedność urojona) druga składowa  $y_{ii}$  spełnia równania:

$$\begin{aligned}
 (20) \qquad (a_{ii} - \lambda_i b_{ii}) y_{ii} + i(a_{i,i+1} - \lambda_i b_{i,i+1}) = 0 , \\
 a_{i+1,i} y_{ii} + i(a_{i+1,i+1} - \lambda_i b_{i+1,i+1}) = 0
 \end{aligned}$$

$i$  jest określana z tego równania, dla którego współczynnik stojący przy  $y_{ii}$  jest większy (zapewnia to większą stabilność rozwiązania).

Analogiczne równania dla wyznaczenia składowej  $v_{i+1,i}$  lewego wektora własnego, przy założeniu  $v_{ii} = 1$ , mają postać:

$$\begin{aligned}
 (21) \qquad (a_{ii} - \lambda_i b_{ii}) + a_{i+1,i} v_{i+1,i} = 0 , \\
 (a_{i,i+1} - \lambda_i b_{i,i+1}) + (a_{i+1,i+1} - \lambda_i b_{i+1,i+1}) v_{i+1,i} = 0
 \end{aligned}$$

$i$  składowa ta wyznaczana jest również z równania o większym współczynniku stojącym przy  $v_{i+1,i}$ .

Pozostałe składowe zespolonych wektorów własnych  $y_i$  oraz  $v_i$  wyznaczane są ze wzorów (16) i (18) oraz (17) i (19) z uwzględnieniem, że  $\lambda_i$  ma w tym przypadku wartość zespoloną.

Opisana metoda wyznaczania prawych i lewych wektorów własnych dotyczy tych wektorów, które odpowiadają skończonym wartościom własnym. Aby opis uogólnionego zagadnienia własnego był pełny, wektory własne przypisuje się również wartościom własnym równym "nieskończoności", przyjmując, że są to niezerowe wektory z podprzestrzeni zerowej macierzy  $\hat{B}$ , t.j. rozwiązania szczególne równań:

$$(21) \quad \hat{B}y = 0 \quad \text{oraz} \quad v^T \hat{B} = 0.$$

Składowe wektorów prawych określa się w tym przypadku według wzorów:

$$y_{ji} = \frac{- \sum_{k=j+1}^i b_{jk} y_{ki}}{b_{jj}}, \quad j = 1, \dots, i-1,$$

$$y_{ii} = 1,$$

$$y_{ji} = 0, \quad j = i+1, \dots, n.$$

natomiast wektorów lewych:

$$v_{ji} = 0, \quad j = 1, \dots, i-1,$$

$$v_{ii} = 1,$$

$$v_{ji} = \frac{- \sum_{k=i}^{j-1} b_{kj} v_{jk}}{b_{jj}}, \quad j = i+1, \dots, n.$$

Natomiast dla wartości własnych równych zeru ( $\lambda_i = 0$ ) wzory (16) i (17) opisują wektory własne z podprzestrzeni zerowej macierzy  $\hat{A}$ , t.j. spełniające równania:  $\hat{A}y = 0$  oraz  $v^T \hat{A} = 0$ .

Przekształcenie wyznaczonych wektorów własnych ( $y, v$ ) zagadnienia z macierzami trójkątnymi (lub quasi-trójkątnymi) (AZ i

QBZ w wektory własne zagadnienia wyjściowego  $(x,u)$  dokonywane jest za pomocą macierzy transformacji  $Q$  i  $Z$ , według zależności:

$$(22) \quad \begin{aligned} x &= Zy && \text{(wektory prawe),} \\ u^T &= v^T Q && \text{(wektory lewe).} \end{aligned}$$

Jeśli uogólnione zagadnienie własne posiada pełny zestaw wartości i wektorów własnych (co oznacza, że ma ono tylko liniowe dzielniki elementarne), lewe i prawe wektory spełniają następujące warunki biortogonalności:

$$\begin{aligned} y_i^T A x_j &= \bar{\alpha}_i \delta_{ij}, \\ y_i^T B x_j &= \bar{\beta}_i \delta_{ij}, \end{aligned} \quad i = 1, \dots, n,$$

gdzie para wartości  $(\bar{\alpha}_i, \bar{\beta}_i)$  określa  $i$ -tą wartość własną  $\lambda_i = \bar{\alpha}_i / \bar{\beta}_i$  (uzyskane przy powyższej diagonalizacji wartości elementów  $\bar{\alpha}_i, \bar{\beta}_i$  są określone sposobem normowania wektorów  $x, y$ ).

## VII. ORGANIZACJA PROCEDUR NUMERYCZNYCH

Opracowane procedury numeryczne realizujące algorytm QZ zostały zgrupowane w postaci sześciu niezależnych pakietów obliczeniowych (units), po trzy dla przypadku rzeczywistego (QZVALR, QZVECR, QZEIGR) oraz zespolonego (QZVALC, QZVECC, QZEIGC). Pakiety QZVALR i QZVALC służą do wyznaczania tylko wartości własnych, pakiety QZVECR i QZVECC - wartości i prawych wektorów własnych, natomiast pakiety QZEIGR i QZEIGC - wartości oraz prawych i lewych wektorów własnych. Podział ten wynika z innej (w każdym z trzech powyższych przypadków) gospodarki pamięcią komputerową, niezbędną do obliczeń oraz zapamiętania wyników.

Inicjalizacja obliczeń następuje poprzez wywołanie w programie głównym funkcji qz (typu logicznego), zawartej w części



INTERFACE wszystkich pakietów. Procedury realizujące poszczególne fragmenty algorytmu zawarte są w części IMPLEMENTATION.

Funkcja logiczna `check0` wywoływana jest na samym początku obliczeń i służy do kontroli postaci wyjściowej pary macierzy  $(A, B)$ .

Etap wstępnej redukcji, czyli przekształcenie pary macierzy do uogólnionej postaci Hessenberga, realizują procedury `orttr` i `orthes` (przypadek rzeczywisty) oraz `unittr` i `unithes` (przypadek zespolony); procedury te realizowane są opcyjnie w zależności od uzyskanej wartości funkcji `check0`.

We wszystkich pakietach programów iteracje QZ realizuje procedura `iter` (ogólny schemat budowy tej procedury wzorowany jest na analogicznych fragmentach funkcji `hqr`, zawartej w pakietach `REALEIGEN` i `COMPEIGEN`, opisanych w [11]). W pakietach dla zagadnienia z macierzami zespolonymi (`QZVALC`, `QZVECC`, `QZEIGC`) iteracje przebiegają według strategii pojedynczego kroku; sprawdzanie wielkości elementów poddiagonalnych macierzy  $A_k$  oraz wyznaczanie aktualnych dla danego kroku iteracyjnego elementów "fikcyjnej, zerowej kolumny" (poprzedzone ewentualną deflacją problemu) odbywa się w procedurze `contsub`, natomiast każdy pojedynczy krok iteracyjny wykonywany jest procedurą `step`. W pakietach dla zagadnienia z macierzami rzeczywistymi (`QZVALR`, `QZVECR`, `QZEIGR`) iteracje przebiegają według algorytmu z kombinowanym przesunięciem; zadania analogiczne do realizowanych w procedurze `contsub` spełniają tu procedury `contsub1` (krok pojedynczy) oraz `contsub2` (krok podwójny). Każdy pojedynczy krok iteracyjny wykonuje procedura `step1`, natomiast krok podwójny - procedura `step2`.

W procedurze `iter` wykonywana jest również na bieżąco ostateczna redukcja macierzy  $A$  do postaci trójkątnej, w miarę wyodrębniania się poszczególnych bloków diagonalnych  $2 \times 2$  w trakcie procesu iteracyjnego.

Programy przewidują bezwzględne przerwanie procesu iteracyjnego (sygnalizowane jest to wartością funkcji  $qz = \text{false}$ ), jeśli dana wartość własna nie wydzieliła się do momentu przekroczenia zadanej liczby iteracji ( $itm$ ).

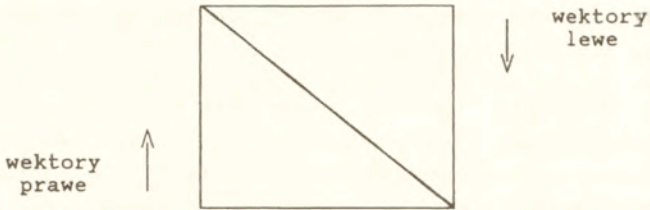
W procedurze iter wartości własne wydzielają się w postaci par wartości  $(\alpha_i, \beta_i)$  odpowiadających sobie elementów diagonalnych macierzy trójkątnych QAZ i QBZ. Jeśli  $\beta_i = 0$ , element ten zastępowany jest wielkością  $\text{eps} \cdot \|\mathbb{B}\|_1$ , w celu umożliwienia numerycznej reprezentacji także "nieskończonych" wartości własnych. W pakietach QZVALR i QZVALC wykonanie dzielenia  $\alpha_i/\beta_i$  dla uzyskania wartości własnych pozostawione jest użytkownikowi programu. W pakietach QZVECR, QZVECC oraz QZEIGR, QZEIGC wartości własne  $\alpha_i/\beta_i$  są obliczane podczas wyznaczania wektorów własnych; dlatego też zostały one wyprowadzone na wyjściu funkcji  $qz$ , niezależnie od wartości elementów diagonalnych  $\alpha_i, \beta_i$ .

W pakietach przeznaczonych do wyznaczania wektorów własnych procedury *orttr*, *orthes* (*unittr*, *unithes*) oraz *iter* zapamiętują kolejne macierze transformacji, budując systematycznie pełne macierze przekształcenia Z (wektory prawe) oraz Q (wektory lewe).

W pakietach QZVECR, QZVECC, QZEIGR, QZEIGC obliczanie wektorów własnych oraz ich przekształcenie do wektorów zagadnienia wyjściowego realizuje procedura *fin* (jest ona wzorowana na odpowiednim fragmencie procedury *hqr2* z algorytmu II.15 w [2] oraz jego pascalowskiej wersji, rozbudowanej dla uwzględnienia lewych wektorów własnych, zawartej w pakietach REALEIGEN i COMPEIGEN [11]). Wynikiem działania procedury *fin* są *nieunormowane* wektory własne; sposób ich normowania pozostawiony jest użytkownikowi.

Ponieważ każdy  $i$ -ty wektor własny zagadnienia z macierzami trójkątnymi posiada  $(n-i)$  składowych równych zeru (wzory (16), (17)), pozwala to na oszczędny zapis obliczanych wektorów w pamięci komputera. Poniższy rysunek przedstawia kolejność wyznaczania wektorów własnych oraz sposób ich zapamiętywania w

tablicy dwuwymiarowej:



Przy zachowaniu tej kolejności obliczeń do zapisu może być przeznaczona jedna z tablic zawierających elementy przekształconych macierzy A lub B (kolejne wektory zapisywane są na miejscu tych wierszy macierzy, które nie są wykorzystane przy obliczaniu następnych wektorów).

Jeśli w przypadku zagadnienia rzeczywistego wektory  $y_i$  (prawe) oraz  $v_i$  (lewe) są zespolone (tzn. odpowiadają zespolonej wartości własnej  $\lambda_i = \lambda_{i+1}^*$ ), wówczas w wierszu  $i$  - tym zostają zapamiętane części rzeczywiste tych wektorów:  $\text{Re}(y_i)$  i  $\text{Re}(v_i)$ , natomiast w wierszu  $i+1$  - części urojone:  $\text{Im}(y_i)$  i  $\text{Im}(v_i)$ . Wektory  $y_i$  oraz  $v_i$  mają wówczas (zgodnie z (16) i (17)) elementy zerowe:

$$y_{j,i} = 0 \quad \text{dla } j > i+1 \quad \text{oraz} \quad v_{j,i} = 0 \quad \text{dla } j < i.$$

W tym przypadku zapis wektorów według przedstawionego wyżej schematu wymaga oddzielnego zapamiętania elementów zawartych w bloku diagonalnym  $2 \times 2$  o indeksach  $i, i+1$ .

Procedura przekształcenia wektorów własnych zagadnienia z macierzami trójkątnymi do wyjściowego układu współrzędnych, według zależności (22), wykorzystuje (w odpowiedniej kolejności) obszary pamięci zawarte w tablicach B, A, Z, Q i nie wymaga rezerwowania dodatkowej pamięci roboczej. Prawe wektory własne umieszczane są w kolumnach  $1, \dots, n$  macierzy A, natomiast lewe wektory - w wierszach  $1, \dots, n$  macierzy B.



VIII. WYNIKI TESTÓW NUMERYCZNYCH

W tablicach 1 - 3 podane są przykładowe czasy rozwiązywania poszczególnych fragmentów uogólnionego zagadnienia własnego, uzyskane podczas testowania opracowanych pakietów procedur na niehermitowskich macierzach Ortegi stopnia  $n = 20, 50, 90$ .

Macierze te tworzy się za pomocą przekształcenia przez podobieństwo macierzy diagonalnej  $D = \text{diag}(d_1, \dots, d_n)$ , zadając przy tym w określony sposób wzajemnie ortogonalne prawe i lewe wektory własne  $x, y$ . Dla parzystych stopni  $n$ , elementy macierzy wyznacza się na podstawie zależności [11]:

$$a_{ij} = d_i \delta_{ij} \pm c(d_i - d_j + \sigma) ,$$

gdzie  $\sigma = y^T D x$ ,  $c$  jest współczynnikiem dobieranym tak, aby uzyskać zadane, jednakowe dla wszystkich wartości własnych wskaźniki uwarunkowania  $s_i = |y_i^T x_i|$ . Jako macierze o znanych, zadanych z góry własnościach macierze Ortegi są często wykorzystywane dla testowania algorytmów algebry liniowej.

Podane czasy odpowiadają realizacji programów w Turbo Pascalu 4.0 na mikrokomputerze IBM 486 (25 MHz). W każdej rubryce tablic podano 2 czasy: górny (R) dotyczy pakietów dla macierzy rzeczywistych, dolny (C) - dla zespolonych.

Tabela 1

Czasy obliczania wartości własnych pakietami procedur QZVALR / QZVALC

n →		20	50	90
ortr + orthes	R	0.2"	1.7"	10.2"
	C	0.4"	5.2"	31.0"
unitr + unithes	R	0.2"	2.3"	11.0"
	C	0.9"	9.6"	46.6"
qz	R	0.4"	4.0"	21.2"
	C	1.3"	14.8"	1'17.8"

Tabela 2

Czasy obliczania wartości i prawych wektorów własnych  
pakietami procedur QZVECR / QZVECC

n →		20	50	90
ortr + orthes	R	0.2"	2.2"	13.2"
	C	0.4"	6.7"	39.8"
unittr + unithes	R	0.4"	4.0"	20.8"
	C	1.6"	18.8"	1'36.9"
iter	R	0.1"	0.5"	3.0"
	C	0.1"	1.2"	6.9"
fin	R	0.6"	6.8"	37.1"
	C	2.2"	26.8"	2'24.0"

Tabela 3

Czasy rozwiązania pełnego zagadnienia własnego  
(wartości oraz prawe i lewe wektory własne)  
pakietami procedur QZEIGR / QZEIGC

n →		20	50	90
ortr + orthes	R	0.2"	3.0"	18.1"
	C	0.6"	9.1"	53.5"
unittr + unithes	R	0.5"	6.0"	31.3"
	C	2.4"	29.9"	2'33.0"
iter	R	0.1"	1.1"	6.0"
	C	0.2"	2.4"	14.0"
fin	R	0.8"	10.3"	55.6"
	C	3.2"	41.6"	3'40.9"

(czasy mierzone przy użyciu procedur Time0 oraz Time z pakietu CZAS, opisanych w [12]).

Z praktycznego punktu widzenia najbardziej miarodajne są czasy realizacji funkcji qz, obejmujące całość obliczeń.

Dla porównania, w Tabeli 4 zamieszczono całkowity czas rozwiązania pełnego zagadnienia własnego  $(B^{-1}A)x = \lambda x$  (z zespolonymi macierzami Ortegi) zwykłą metodą QR; obejmuje on obliczanie macierzy  $B^{-1}A$  oraz wykonywanie procedury qr2 z pakietu COMPEIG [12]:

Tabela 4

n	+	20	50	90
$B^{-1}A + qr2$	C	1.0"	12.5"	1'08.5"

Analiza powyższych wyników prowadzi do następujących istotnych wniosków:

1. najbardziej czasochłonnym fragmentem obliczeń jest procedura iter, realizująca proces iteracyjny QZ; w pakietach przeznaczonych do wyznaczania również wektorów własnych ma ona dominujący wpływ na całkowity czas obliczeń, ponieważ wówczas w procesie iteracyjnym:

- zapamiętywane są kolejne macierze transformacji Z (wektory prawe) lub Q i Z (wektory lewe i prawe);
- przekształceniom podlegają całe macierze A, B, a nie tylko bloki diagonalne;

2. rozszerzenie obliczeń o prawe, a następne lewe wektory własne powoduje każdorazowo zwiększenie całkowitego czasu obliczeń o ok. 50%;

3. rozwiązanie pełnego zagadnienia własnego  $Ax = \lambda Bx$  opracowaną procedurą QZ jest ok. 3-krotnie bardziej czasochłonne niż rozwiązanie (jeśli B jest macierzą nieosobliwą) równoważnego zagadnienia  $B^{-1}Ax = \lambda x$  zwykłą procedurą QR.



Działanie algorytmów zilustrowano na kilku poniższych przykładach testów numerycznych.

Przykład 1. Macierze A,B są niesymetrycznymi rzeczywistymi macierzami Ortegi stopnia 6.

Elementy diagonalne  $d_i$  macierzy A i B zadano w postaci ciągów:

$$d_{A_i} = 2i - 1, \quad d_{B_i} = i, \quad i = 1, \dots, n,$$

generując obie macierze ze współczynnikiem  $s_i = 10$ . Jest to dobrze uwarunkowany problem własny, stanowiący bezpośredni test algorytmu.

Dokładne wartości własne  $\lambda_i = d_{A_i}/d_{B_i}$  wynoszą:

- 1.0000000000000000E+0000
- 1.5000000000000000E+0000
- 1.6666666666666667E+0000
- 1.7500000000000000E+0000
- 1.8000000000000000E+0000
- 1.8333333333333333E+0000

W wyniku obliczeń otrzymano:

$\alpha_i$ :	$\beta_i$ :
3.000000000000002E+0000	2.000000000000001E+0000
1.000000000000000E+0000	9.999999999999999E-0001
5.000000000000002E+0000	3.000000000000001E+0000
6.999999999999998E+0000	3.999999999999999E+0000
1.100000000000000E+0001	5.999999999999998E+0000
8.999999999999996E+0000	4.999999999999998E+0000

$\alpha_i/\beta_i$ :	ilość iteracji:
1.500000000000000E+0000	0
1.000000000000000E+0000	0
1.6666666666666667E+0000	2
1.750000000000000E+0000	2
1.833333333333333E+0000	3
1.800000000000000E+0000	5
	-----
	razem 12

PRAWE wektory własne:

x1	x2
3.48139673601820E-0001	1.61966743598451E+0000
6.27689284855250E-0001	8.98327414713116E-0001
3.48139673601819E-0001	8.98327414713118E-0001
3.48139673601818E-0001	8.98327414713118E-0001
3.48139673601818E-0001	8.98327414713118E-0001
3.48139673601819E-0001	8.98327414713118E-0001
x3	x4
1.02379357595084E+0000	1.51487518030284E+0000
1.02379357595086E+0000	1.51487518030285E+0000
1.84588056534734E+0000	1.51487518030284E+0000
1.02379357595082E+0000	2.98458897235150E-0001
1.02379357595083E+0000	1.51487518030282E+0000
1.02379357595083E+0000	1.51487518030285E+0000
x5	x6
1.72645235195953E+0000	-4.45487715294171E+0000
1.72645235195954E+0000	-4.45487715294173E+0000
1.72645235195953E+0000	-4.45487715294171E+0000
1.72645235195956E+0000	-4.45487715294164E+0000
1.72645235195957E+0000	-8.77694571587834E-0001
3.40143578688594E-0001	-4.45487715294177E+0000

LEWE wektory własne:

y1	y2
-4.45487715294161E+0000	-3.40143578688678E-0001
-8.77694571587810E-0001	-1.72645235195964E+0000
-4.45487715294169E+0000	-1.72645235195964E+0000
4.45487715294165E+0000	1.72645235195964E+0000
4.45487715294164E+0000	1.72645235195964E+0000
4.45487715294165E+0000	1.72645235195964E+0000
y3	y4
-1.51487518030282E+0000	1.02379357595081E+0000
-1.51487518030282E+0000	1.02379357595081E+0000
-2.98458897235131E-0001	1.02379357595079E+0000
1.51487518030283E+0000	-1.84588056534732E+0000
1.51487518030282E+0000	-1.02379357595080E+0000
1.51487518030283E+0000	-1.02379357595083E+0000
y5	y6
8.98327414713163E-0001	-3.48139673601820E-0001
8.98327414713162E-0001	-3.48139673601820E-0001
8.98327414713159E-0001	-3.48139673601817E-0001
-8.98327414713169E-0001	3.48139673601816E-0001
-8.98327414713172E-0001	6.27689284855244E-0001
-1.61966743598458E+0000	3.48139673601831E-0001

Przykład 2. Elementy macierzy rzeczywistych A,B stopnia 5 były generowane losowo. W wyniku obliczeń otrzymano 3 rzeczywiste wartości własne oraz jedną parę wartości zespolonych (sprzężonych):

$\alpha_i$ :

-1.06961427943514E+0000  
1.27941955516918E+0000  
3.07174692065718E-0003  
5.57878284308690E-0001 + 3.84738847312089E-0001 i  
3.23511667763120E-0001 - 2.23108713223050E-0001 i

$\beta_i$ :

9.87027005431770E-0001  
1.88124362181972E-0001  
1.41742057213318E+0000  
1.05351458108010E+0000  
6.10929424435885E-0001

$\alpha_i/\beta_i$ :

iter

-1.08367276026784E+0000	0
6.80092434775463E+0000	0
2.16713866092284E-0003	3
5.29540164253574E-0001 + 3.65195559911133E-0001 i	6
5.29540164253574E-0001 - 3.65195559911133E-0001 i	-6
	----
	razem 9

Ta sama liczba iteracji podana z przeciwnym znakiem dla dwóch sąsiadujących wartości własnych (6,-6) oznacza, że wartości te wydzieliły się jednocześnie jako para.

Unormowane prawe wektory własne ( $\|x\| = 1$ ):

x1	x2
-6.20665442217566E-0001	-1.39529658893651E-0001
5.87323716100432E-0001	6.93522065739112E-0002
7.38553549305699E-0002	-1.90379741957077E-0001
-2.53688602146169E-0001	-4.54067823509943E-0001
-4.47227840179985E-0001	8.56329207278165E-0001

x3
-1.98772000436069E-0001
4.97694311325392E-0001
-5.76196217087885E-0001
5.11983610964060E-0001
3.44471719934743E-0001



x4

2.37715381342180E-0001 - 1.65154543356793E-0001 i  
 6.62267556701453E-0001 + 0.00000000000000E+0000 i  
 1.17316787161497E-0001 + 5.76886509419147E-0001 i  
 1.94666270504316E-0001 - 3.06650315506008E-0002 i  
 2.26778798164573E-0001 - 2.01969948244556E-0001 i

x5

2.37715381342180E-0001 + 1.65154543356793E-0001 i  
 6.62267556701453E-0001 + 0.00000000000000E+0000 i  
 1.17316787161497E-0001 - 5.76886509419147E-0001 i  
 1.94666270504316E-0001 + 3.06650315506008E-0002 i  
 2.26778798164573E-0001 + 2.01969948244556E-0001 i

Przykład 3. Macierze rzeczywiste A,B stopnia 6:

$$A = \begin{bmatrix} 0 & 0 & 0 & 5 & 5 & 5 \\ 1 & 0 & 0 & 6 & 6 & 6 \\ 0 & 2 & 3 & 7 & 7 & 7 \\ 0 & 0 & 4 & 8 & 8 & 8 \\ 0 & 0 & 0 & 9 & 0 & 0 \\ 0 & 0 & 0 & 0 & 1 & 0 \end{bmatrix}, \quad B = \begin{bmatrix} 1 & 0 & 0 & 3 & 3 & 3 \\ 0 & 0 & 0 & 0 & 4 & 4 \\ 0 & 0 & 2 & 5 & 5 & 5 \\ 0 & 0 & 0 & 6 & 6 & 6 \\ 0 & 0 & 0 & 0 & 1 & 0 \\ 0 & 0 & 0 & 0 & 0 & 1 \end{bmatrix}$$

zaczepnięto z pracy [10]; macierze te mają już uogólnioną postać Hessenberga, a zatem etap wstępnej redukcji jest pomijany w obliczeniach. Macierz B jest macierzą osobliwą. Zagadnienie posiada trzy nieskończone wartości własne, jedną skończoną rzeczywistą oraz jedną parę wartości zespolonych.

W wyniku obliczeń otrzymano:

$\alpha_i :$

-2.00000000000000E+0000  
 -4.00000000000000E+0000  
 3.39116499156263E+0000  
 9.47178442001488E+0000  
 -1.75696878590961E+0000 + 2.14426795901340E-0001 i  
 -7.85681964272457E-0001 - 9.58874554559565E-0002 i

$\beta_i :$

1.75155045602460E-0015  
 1.75155045602460E-0015  
 1.75155045602460E-0015  
 5.66568049440244E+0000  
 1.95981510720501E+0000  
 8.76390858726889E-0001

$\alpha_i/\beta_i$ :

-1.14184549644050E+0015  
-2.28369099288100E+0015  
1.93609323665124E+0015  
1.67178230918118E+0000  
-8.96497215196650E-0001 + 1.09411747625083E-0001 i  
-8.96497215196650E-0001 - 1.09411747625083E-0001 i

Uzyskane numerycznie nieskończone wartości własne są wynikiem dzielenia elementów diagonalnych  $\alpha_i$  przez odpowiadające im zerowe elementy diagonalne  $\beta_i$ , przyjęte jako  $\text{eps} \cdot \|B\|_1$ .

Przykład 4. Macierze A,B stopnia 8 zaczerpnięto z pracy [5]:

$$A = \begin{bmatrix} 6 & 0 & 0 & 0 & 0 & 0 & 1 & 0 \\ 0 & 5 & 0 & 0 & 0 & 0 & 0 & 1 \\ 0 & 0 & 4 & 0 & 0 & 0 & 0 & 0 \\ 0 & 0 & 0 & 3 & 0 & 0 & 0 & 0 \\ 0 & 0 & 0 & 0 & 2 & 0 & 0 & 0 \\ 0 & 0 & 0 & 0 & 0 & 1 & 0 & 0 \\ 1 & 0 & 0 & 0 & 0 & 0 & 0 & 0 \\ 0 & 1 & 0 & 0 & 0 & 0 & 0 & 0 \end{bmatrix}, \quad B = \text{diag}\{1,1,1,1,\delta,\delta,\delta,\delta\} .$$

Zagadnienie to posiada 2 wartości własne niezależne od wielkości  $\delta$ :

$$\lambda = 4 \quad \text{oraz} \quad \lambda = 3,$$

natomiast pozostałe wartości własne zależą od  $\delta$  i niektóre z nich dążą do nieskończoności, gdy  $\delta \rightarrow 0$ .

W celu zbadania wpływu błędów zaokrągleń na wyniki obliczeń macierze A,B przekształcono przez podobieństwo za pomocą macierzy Householdera:

$$H = I - ee^T,$$

gdzie wszystkie elementy wektora e są równe  $n^{-1/2}$

$$\tilde{A} = H^T A H, \quad \tilde{B} = H^T B H .$$

Otrzymano następujące wyniki obliczeń dla zagadnienia : macierzami testowymi  $\tilde{A}, \tilde{B}$ :

1.  $\delta = 10^{-5}$ :

$\tilde{\alpha}_i$	$\tilde{\beta}_i$
1.000000000000000E+0000	9.99999999999845E-0006
2.000000000000000E+0000	9.99999999998200E-0006
-9.81205666421172E-0001	3.13242055369110E-0003
-9.84313273237136E-0001	3.13737697599903E-0003
1.01915432637902E+0000	3.19241935371757E-0003
1.01593672176189E+0000	3.18737597582404E-0003
3.000000000000000E+0000	1.000000000000000E+0000
4.000000000000000E+0000	1.000000000000000E+0000

$\tilde{\alpha}_i / \tilde{\beta}_i$  :

1.00000000000016E+0005
2.000000000000360E+0005
-3.13241995958992E+0002
-3.13737647967440E+0002
3.19241995946497E+0002
3.18737647979930E+0002
3.000000000000000E+0000
4.000000000000000E+0000

2.  $\delta = 10^{-15}$ :

$\tilde{\alpha}_i$	$\tilde{\beta}_i$
1.00023855932758E+0000	1.00979647688736E-0015
1.99908299500685E+0000	1.02495330931483E-0015
1.03508291720901E+0000	3.46449170794017E-0001
-1.27419753125446E+0000	-3.81389798215226E-0015
-7.84796164876550E-0001	2.47832564153379E-0008
1.00000017368575E+0000	3.15792267675972E-0008
3.000000000000000E+0000	1.000000000000000E+0000
4.000000000000000E+0000	1.000000000000000E+0000

$\tilde{\alpha}_i / \tilde{\beta}_i$  :

9.90534807975133E+0014
1.95041371820460E+0015
2.98769056031144E+0000
3.34093239309826E+0014
-3.16663860359712E+0007
3.16663919938605E+0007
3.000000000000000E+0000
4.000000000000000E+0000

Wyniki wskazują, że niezależnie od wielkości  $\delta$  (determinującej wystąpienie nieskończonych wartości własnych) wartości  $\lambda = 4, 3$



obliczane są z dokładnością maszynową, co świadczy o stabilności numerycznej algorytmu QZ.

Przykład 5. Macierze rzeczywiste A, B stopnia 6 zaczerpnięte są z pracy [7]:

$$A = \begin{bmatrix} 50 & -60 & 50 & -27 & 6 & 6 \\ 38 & -28 & 27 & -17 & 5 & 5 \\ 27 & -17 & 27 & -17 & 5 & 5 \\ 27 & -28 & 38 & -17 & 5 & 5 \\ 27 & -28 & 27 & -17 & 16 & 5 \\ 27 & -28 & 27 & -17 & 5 & 16 \end{bmatrix}, \quad B = \begin{bmatrix} 16 & 5 & 5 & 5 & -6 & 5 \\ 5 & 16 & 5 & 5 & -6 & 5 \\ 5 & 5 & 16 & 5 & -6 & 5 \\ 5 & 5 & 5 & 16 & -6 & 5 \\ 5 & 5 & 5 & 5 & -6 & 16 \\ 6 & 6 & 6 & 6 & -5 & 6 \end{bmatrix}.$$

Zagadnienie to posiada 3 podwójne wartości własne:

$$\begin{aligned} \lambda_1 &= \lambda_2 = \infty, \\ \lambda_3 &= \lambda_4 = 0.5 + \frac{\sqrt{3}}{2} i, \\ \lambda_5 &= \lambda_6 = 0.5 - \frac{\sqrt{3}}{2} i, \end{aligned}$$

którym odpowiadają kwadratowe dzielniki elementarne, t.j. każdej wartości odpowiada tylko jeden wektor własny.

W wyniku obliczeń numerycznych otrzymano:

$\alpha_i$ :

-2.57686707116200E+0001  
1.28218411367655E+0001  
5.69162895864406E+0000 + 9.85819024224948E+0000 i  
5.92602907109173E+0000 - 1.02641831342851E+0001 i  
5.52858776929517E+0000 + 9.57579519411233E+0000 i  
5.71813643353103E+0000 - 9.90410312079857E+0000 i

$\beta_i$ :

3.37322400914553E-0016  
-1.56381531843480E-0015  
1.13832573398901E+0001  
1.18520575410062E+0001  
1.10571760994484E+0001  
1.14362734471493E+0001

$\alpha_i / \beta_i :$	iter
-7.63918157873763E+0016	0
-8.19907631394654E+0015	0
5.00000025361723E-0001 + 8.66025422064707E-0001 i	0
5.00000025361723E-0001 - 8.66025422064707E-0001 i	0
4.99999974638277E-0001 + 8.66025385504172E-0001 i	28
4.99999974638277E-0001 - 8.66025385504172E-0001 i	-28
	----
	razem 28

Uzyskana dokładność skończonych wartości własnych jest rzędu  $(\epsilon)^{1/2}$ , co w przypadku kwadratowych dzielników elementarnych jest prawidłowym wynikiem.

Unormowane PRAWE wektory własne ( $\|x\| = 1$ ):

x1	x2
-1.56173761888606E-0001	-1.56173761888606E-0001
-1.56173761888606E-0001	-1.56173761888606E-0001
-1.56173761888606E-0001	-1.56173761888606E-0001
-1.56173761888606E-0001	-1.56173761888606E-0001
-9.37042571331636E-0001	-9.37042571331636E-0001
-1.56173761888606E-0001	-1.56173761888606E-0001

x3

2.88312041820577E-0001 + 3.25676798442111E-0001 i	
5.39018134520052E-0001 + 0.00000000000000E+0000 i	
3.82326809335795E-0001 - 3.79956235558383E-0001 i	
-2.50705932644001E-0002 - 4.34235688852109E-0001 i	
1.31620710268002E-0001 - 5.42794584409322E-0002 i	
1.31620710268002E-0001 - 5.42794584409314E-0002 i	

x4

2.88312041820577E-0001 - 3.25676798442111E-0001 i	
5.39018134520052E-0001 + 0.00000000000000E+0000 i	
3.82326809335795E-0001 + 3.79956235558383E-0001 i	
-2.50705932644001E-0002 + 4.34235688852109E-0001 i	
1.31620710268002E-0001 + 5.42794584409322E-0002 i	
1.31620710268002E-0001 + 5.42794584409314E-0002 i	

x5

-2.50706215997058E-0002 + 4.34235686935944E-0001 i	
3.82326799098667E-0001 + 3.79956248047812E-0001 i	
5.39018136062687E-0001 + 0.00000000000000E+0000 i	
2.88312030084126E-0001 - 3.25676808458409E-0001 i	
1.31620704849531E-0001 + 5.42794585028150E-0002 i	
1.31620704849530E-0001 + 5.42794585028155E-0002 i	

x6

-2.50706215997058E-0002 - 4.34235686935944E-0001 i  
3.82326799098667E-0001 - 3.79956248047812E-0001 i  
5.39018136062687E-0001 + 0.00000000000000E+0000 i  
2.88312030084126E-0001 + 3.25676808458409E-0001 i  
1.31620704849531E-0001 - 5.42794585028150E-0002 i  
1.31620704849530E-0001 - 5.42794585028155E-0002 i

Unormowane LEWE wektory własne ( $\|x\| = 1$ ):

y1

-1.56173761888607E-0001  
-1.56173761888606E-0001  
-1.56173761888606E-0001  
-1.56173761888606E-0001  
-1.56173761888606E-0001  
9.37042571331636E-0001

y2

1.56173761888607E-0001  
1.56173761888606E-0001  
1.56173761888606E-0001  
1.56173761888606E-0001  
1.56173761888606E-0001  
-9.37042571331636E-0001

y3

-3.18799132641198E-0001 - 1.01716691015129E-0001 i  
6.20819356588478E-0001 + 0.00000000000000E+0000 i  
-6.12429893596673E-0001 + 1.01716676666502E-0001 i  
2.97825500555229E-0001 - 1.52575014687410E-0001 i  
4.19472303138781E-0003 + 5.08583430120124E-0002 i  
4.19472303138785E-0003 + 5.08583430120126E-0002 i

y4

-3.18799132641198E-0001 + 1.01716691015129E-0001 i  
6.20819356588478E-0001 + 0.00000000000000E+0000 i  
-6.12429893596673E-0001 - 1.01716676666502E-0001 i  
2.97825500555229E-0001 + 1.52575014687410E-0001 i  
4.19472303138781E-0003 - 5.08583430120124E-0002 i  
4.19472303138785E-0003 - 5.08583430120126E-0002 i

y5

2.97825492858333E-0001 + 1.52575020672379E-0001 i  
-6.12429893954719E-0001 - 1.01716688940474E-0001 i  
6.20819358952686E-0001 + 0.00000000000000E+0000 i  
-3.18799128003120E-0001 + 1.01716691992747E-0001 i  
4.19472338227340E-0003 - 5.08583412415506E-0002 i  
4.19472338227338E-0003 - 5.08583412415508E-0002 i

y6

2.97825492858333E-0001 - 1.52575020672379E-0001 i  
-6.12429893954719E-0001 + 1.01716688940474E-0001 i  
6.20819358952686E-0001 + 0.00000000000000E+0000 i  
-3.18799128003120E-0001 - 1.01716691992747E-0001 i  
4.19472338227340E-0003 + 5.08583412415506E-0002 i  
4.19472338227338E-0003 + 5.08583412415508E-0002 i



Wektory  $x_1, x_2$  oraz  $y_1, y_2$  (odpowiadające nieskończonym wartościom własnym) należą do podprzestrzeni zerowej macierzy B.

W przypadku każdej podwójnej wartości własnej  $\lambda_i = \lambda_j$  ( $i \neq j$ ) unormowane prawe i lewe wektory spełniają zależności:  $|x_i^H x_j| = 1$  oraz  $|y_i^H y_j| = 1$ , a zatem w rzeczywistości odpowiada jej tylko jeden prawy i jeden lewy wektor własny.

Przykład 6. Macierze A, B są zespolonymi niehermitowskimi macierzami Ortegi stopnia 6.

Elementy diagonalne (zespolone)  $d_{Ak}$  i  $d_{Bk}$  macierzy A i B zadano w postaci ciągów:

$$d_{Ak} = k^2 + k \cdot i, \quad d_{Bk} = k + 2k \cdot i, \quad k = 1, \dots, n,$$

generując obie macierze ze wskaźnikiem uwarunkowania (jednakowym dla wszystkich wartości własnych)  $|s_i| = 10$ .

Dokładne wartości własne  $\lambda_i = d_{Ai}/d_{Bi}$  wynoszą:

```
6.000000000000000E-0001 + 2.000000000000000E-0001 i
8.000000000000000E-0001 + 6.000000000000000E-0001 i
1.000000000000000E+0000 + 1.000000000000000E+0000 i
1.200000000000000E+0000 + 1.400000000000000E+0000 i
1.400000000000000E+0000 + 1.800000000000000E+0000 i
1.600000000000000E+0000 + 2.200000000000000E+0000 i
```

W wyniku obliczeń numerycznych otrzymano:

$\alpha_i$ :

```
1.34164078649985E+0000 + 4.47213595499964E-0001 i
3.04820786692772E+0001 + 2.00709461660383E+0001 i
3.57770876399970E+0000 + 2.68328157299980E+0000 i
1.56524758424985E+0001 + 2.01246117974981E+0001 i
6.70820393249939E+0000 + 6.70820393249940E+0000 i
1.07331262919989E+0001 + 1.25219806739988E+0001 i
```

$\beta_i$ :

```
2.23606797749976E+0000 + 0.000000000000000E+0000 i
1.25577577616389E+0001 + 4.72257556847955E+0000 i
4.47213595499961E+0000 + 0.000000000000000E+0000 i
1.11803398874989E+0001 + 0.000000000000000E+0000 i
6.70820393249938E+0000 + 0.000000000000000E+0000 i
8.94427190999913E+0000 + 0.000000000000000E+0000 i
```

$\alpha_i/\beta_i$ :	iter
5.999999999999998E-0001 + 2.000000000000006E-0001 i	0
1.600000000000000E+0000 + 2.200000000000000E+0000 i	0
8.000000000000002E-0001 + 6.000000000000008E-0001 i	3
1.400000000000000E+0000 + 1.800000000000000E+0000 i	3
1.000000000000000E+0000 + 1.000000000000000E+0000 i	3
1.200000000000000E+0000 + 1.400000000000000E+0000 i	6
	-----
	razem 15

PRAWE wektory własne:

x1

- 3.93287666218100E-0001 + 4.52062785483371E-0001 i
- 3.13236688198004E-0001 + 1.73423144600404E-0001 i
- 3.13236688198005E-0001 + 1.73423144600407E-0001 i
- 3.13236688198004E-0001 + 1.73423144600407E-0001 i
- 3.13236688198004E-0001 + 1.73423144600407E-0001 i
- 3.13236688198004E-0001 + 1.73423144600407E-0001 i

x2

- 1.15990245524555E+0000 + 1.70920548005620E-0001 i
- 1.15990245524555E+0000 + 1.70920548005623E-0001 i
- 1.15990245524555E+0000 + 1.70920548005624E-0001 i
- 1.15990245524555E+0000 + 1.70920548005626E-0001 i
- 1.15990245524555E+0000 + 1.70920548005624E-0001 i
- 3.97932761604752E-0001 + 7.37167328407620E-0001 i

x3

- 1.02030266089733E+0000 + 2.78767114318387E-0001 i
- 1.76409187721001E+0000 - 1.45802953880073E-0001 i
- 1.02030266089730E+0000 + 2.78767114318409E-0001 i
- 1.02030266089730E+0000 + 2.78767114318407E-0001 i
- 1.02030266089730E+0000 + 2.78767114318409E-0001 i
- 1.02030266089730E+0000 + 2.78767114318409E-0001 i

x4

- 8.64886289236241E-0001 + 1.15386663125379E+0000 i
- 8.64886289236240E-0001 + 1.15386663125379E+0000 i
- 8.64886289236236E-0001 + 1.15386663125379E+0000 i
- 8.64886289236242E-0001 + 1.15386663125379E+0000 i
- 1.03034350040361E+0000 - 1.98094622599282E-0003 i
- 8.64886289236233E-0001 + 1.15386663125377E+0000 i

x5

- 1.26973462467644E+0000 + 2.83115647859701E-0001 i
- 1.26973462467645E+0000 + 2.83115647859694E-0001 i
- 2.15882719637358E+0000 - 2.81778224329643E-0001 i
- 1.26973462467642E+0000 + 2.83115647859705E-0001 i
- 1.26973462467642E+0000 + 2.83115647859707E-0001 i
- 1.26973462467642E+0000 + 2.83115647859707E-0001 i

x6

-3.05833030849209E+0000 + 2.96541655668089E+0000 i  
-3.05833030849211E+0000 + 2.96541655668088E+0000 i  
-3.05833030849211E+0000 + 2.96541655668086E+0000 i  
-3.00513205235308E+0000 - 4.83511318936214E-0001 i  
-3.05833030849211E+0000 + 2.96541655668082E+0000 i  
-3.05833030849211E+0000 + 2.96541655668082E+0000 i

LEWE wektory własne:

y1

-9.80538851629520E-0001 + 2.88151790000738E+0000 i  
2.41064297015642E+0000 + 3.51224715828920E+0000 i  
2.41064297015638E+0000 + 3.51224715828920E+0000 i  
-2.41064297015637E+0000 - 3.51224715828920E+0000 i  
-2.41064297015636E+0000 - 3.51224715828920E+0000 i  
-2.41064297015636E+0000 - 3.51224715828920E+0000 i

y2

1.01396506649329E+0000 + 8.15018607822123E-0001 i  
1.01396506649329E+0000 + 8.15018607822130E-0001 i  
1.01396506649329E+0000 + 8.15018607822128E-0001 i  
-1.01396506649329E+0000 - 8.15018607822131E-0001 i  
-1.01396506649329E+0000 - 8.15018607822125E-0001 i  
-2.06115926631367E+0000 - 7.01110768992877E-0001 i

y3

-1.41415152233077E+0000 - 2.82155928378868E-0001 i  
-4.42921790518091E-0001 - 9.30285945532982E-0001 i  
-1.41415152233082E+0000 - 2.82155928378846E-0001 i  
1.41415152233080E+0000 + 2.82155928378852E-0001 i  
1.41415152233080E+0000 + 2.82155928378855E-0001 i  
1.41415152233080E+0000 + 2.82155928378856E-0001 i

y4

-1.88910503390884E-0001 - 1.04069277193996E+0000 i  
-1.88910503390884E-0001 - 1.04069277193996E+0000 i  
-1.88910503390881E-0001 - 1.04069277193996E+0000 i  
1.88910503390878E-0001 + 1.04069277193996E+0000 i  
8.92926310688095E-0001 + 1.52838517929197E+0000 i  
1.88910503390886E-0001 + 1.04069277193997E+0000 i

y5

-1.13762521105266E+0000 - 2.83542622179907E-0001 i  
-1.13762521105265E+0000 - 2.83542622179904E-0001 i  
-3.23928110946270E-0001 - 7.72552090003543E-0001 i  
1.13762521105267E+0000 + 2.83542622179903E-0001 i  
1.13762521105266E+0000 + 2.83542622179903E-0001 i  
1.13762521105266E+0000 + 2.83542622179905E-0001 i



y6

```
-1.18447390977365E-0001 - 3.37880193984500E-0001 i
-1.18447390977365E-0001 - 3.37880193984500E-0001 i
-1.18447390977364E-0001 - 3.37880193984499E-0001 i
 3.79720144201344E-0001 + 4.63517596759784E-0001 i
 1.18447390977366E-0001 + 3.37880193984504E-0001 i
 1.18447390977365E-0001 + 3.37880193984503E-0001 i
```

Przykład 7. Macierze zespolone A,B stopnia 7:

$$A = \text{diag}[-1, 0, -2, i, 1, 1, 5+i] ,$$

$$B = \text{diag}[1, 1, i, i, 0, 0, 0.5]$$

są osobliwe, przy czym macierz B ma podwójne zero na diagonalu.

Macierze testowe (pełne) zbudowano za pomocą unitarnego przekształcenia przez podobieństwo:

$$\tilde{A} = S^H A S, \quad \tilde{B} = S^H B S,$$

gdzie S jest macierzą Householdera:

$$S = I - e e^H ,$$

z wektorem e o elementach generowanych losowo (a następnie unormowanym).

Dokładne wartości własne  $a_{ii}/b_{ii}$  zagadnienia z macierzami A,B wynoszą:

$$-1, 0, 2i, 1, \omega, \omega, 1+2i.$$

W wyniku obliczeń numerycznych otrzymano:

$\tilde{\alpha}_i$ :

```
8.64480263327631E-0001 + 5.02666762693726E-0001 i
-8.64480263327629E-0001 - 5.02666762693728E-0001 i
 3.63581679001565E-0017 + 2.00000000000000E+0000 i
-5.00000000000000E+0000 - 1.00000000000001E+0000 i
 1.00000000000000E+0000 + 8.01882356596580E-0017 i
-1.00000000000000E+0000 - 1.08687061992354E-0016 i
 1.27114719987921E-0017 + 2.38887207710259E-0017 i
```

$\beta_i$ :

2.35424337359860E-0017 + 1.00129458760825E-0016 i  
 -9.45968174289150E-0017 - 4.95794981804527E-0018 i  
 9.99999999999999E-0001 + 0.00000000000000E+0000 i  
 -5.00000000000000E-0001 - 1.30463699495605E-0015 i  
 1.00000000000000E+0000 + 0.00000000000000E+0000 i  
 1.00000000000000E+0000 + 0.00000000000000E+0000 i  
 1.00000000000000E+0000 + 0.00000000000000E+0000 i

$\tilde{\alpha}_i/\beta_i$		iter
6.68078324173644E+0015 + 7.06284020014346E+0015 i		0
8.83580248468067E+0015 + 5.77687751943224E+0015 i		0
3.63581679001566E-0017 + 2.00000000000000E+0000 i		0
1.00000000000000E+0001 + 2.00000000000000E+0000 i		0
1.00000000000000E+0000 + 8.01882356596580E-0017 i		2
-1.00000000000000E+0000 - 1.08687061992354E-0016 i		3
1.27114719987921E-0017 + 2.38887207710259E-0017 i		4
		----
		razem 9

Uzyskane wyniki wskazują, że wszystkie skończone wartości własne obliczane są z dokładnością maszynową ( $\epsilon_{ps} \sim 10^{-16}$ ).

Przykład 8. Macierz zespolona  $A$  jest sumą prostą bloków diagonalnych mających postać klatek Jordana o wymiarach 1,2,3, natomiast macierz  $B$  jest macierzą diagonalną ( $n = 6$ ):

$$A = \text{diag}\left\{10, \begin{bmatrix} 6+i & 1 \\ 0 & 6+i \end{bmatrix}, \begin{bmatrix} 4 & 1 & 0 \\ 0 & 4 & 1 \\ 0 & 0 & 4 \end{bmatrix}\right\}, \quad B = \text{diag}\{2,3,3,1,1,1\}.$$

Zagadnienie to ma następujące wartości własne:

$$\begin{aligned} \lambda_1 &= 5, \\ \lambda_2 &= \lambda_3 = 2 + 1/3 i, \\ \lambda_3 &= \lambda_4 = \lambda_5 = 4. \end{aligned}$$

Podwójna wartość własna  $\lambda_2 = \lambda_3$  ma kwadratowy dzielnik elementarny, natomiast wartość potrójna  $\lambda_3 = \lambda_4 = \lambda_5$  - dzielnik elementarny stopnia 3. Oznacza to istnienie jedynie trzech niezależnych wektorów własnych.

W celu zbadania wpływu błędów zaokrągleń na wyniki obliczeń

macierze  $A, B$  przekształcono przez podobieństwo za pomocą macierzy unitarnej:

$$S = I - ee^H,$$

gdzie elementy wektora  $e$  były generowane losowo (następnie wektor  $e$  był normowany).

$$\tilde{A} = S^H A S, \quad \tilde{B} = S^H B S.$$

Otrzymano następujące wyniki obliczeń dla zagadnienia z macierzami  $\tilde{A}, \tilde{B}$ :

$\tilde{\alpha}_i$ :

```
5.99999999977077E+0000 + 1.00000003830964E+0000 i
-6.00000000022925E+0000 - 9.99999961690354E-0001 i
3.99999943699277E+0000 + 1.03156356213904E-0005 i
3.99999134797808E+0000 - 5.64556301974982E-0006 i
4.00000921502914E+0000 - 4.67007260053934E-0006 i
1.00000000000000E+0001 - 6.06357725565623E-0016 i
```

$\tilde{\beta}_i$ :

```
3.00000000000000E+0000 + 0.00000000000000E+0000 i
-3.00000000000000E+0000 + 2.48568255822174E-0015 i
1.00000000000000E+0000 + 0.00000000000000E+0000 i
1.00000000000000E+0000 + 0.00000000000000E+0000 i
1.00000000000000E+0000 + 0.00000000000000E+0000 i
2.00000000000000E+0000 + 0.00000000000000E+0000 i
```

$\tilde{\alpha}_i / \tilde{\beta}_i$ :

```
1.99999999992359E+0000 + 3.33333346103214E-0001 i
2.00000000007641E+0000 + 3.33333320563453E-0001 i
3.99999943699277E+0000 + 1.03156356213904E-0005 i
3.99999134797808E+0000 - 5.64556301974982E-0006 i
4.00000921502914E+0000 - 4.67007260053934E-0006 i
5.00000000000000E+0000 - 3.03178862782812E-0016 i
```

Uzyskana dokładność obliczeń pojedynczej, podwójnej i potrójnej wartości własnej jest w przybliżeniu równa  $\epsilon_{ps}$ ,  $(\epsilon_{ps})^{1/2}$  oraz  $(\epsilon_{ps})^{1/3}$ , co jest rzeczą normalną w przypadku występowania dzielników elementarnych stopni 2 oraz 3.

Otrzymano następujące unormowane ( $\|x\| = 1$ ) PRAWE wektory własne:



x1

1. 80977018776671E-0001 + 6.24182076197963E-0002 i  
9. 68897443442726E-0001 + 0.00000000000000E+0000 i  
2. 10056302565168E-0002 + 6.34105008287326E-0002 i  
-3. 91089536943879E-0002 - 5.40570572207469E-0002 i  
-8. 27480042780329E-0002 + 7.33533247632140E-0003 i  
-7. 67653523338711E-0002 - 5.36774410404467E-0002 i

x2

1. 80977043596871E-0001 + 6.24182271907573E-0002 i  
9. 68897438593892E-0001 + 0.00000000000000E+0000 i  
2. 10056305419845E-0002 + 6.34104352371470E-0002 i  
-3. 91089568522178E-0002 - 5.40570677745769E-0002 i  
-8. 27480175771376E-0002 + 7.33532912071710E-0003 i  
-7. 67653613829078E-0002 - 5.36774535825467E-0002 i

x3

3. 36046313248961E-0001 - 2.36051923450979E-0001 i  
-3. 91088869848075E-0002 + 5.40561739687041E-0002 i  
1. 36620080658183E-0001 + 4.32256656939788E-0002 i  
8. 56872687202873E-0001 + 0.00000000000000E+0000 i  
-9. 13005326275342E-0002 + 1.53049732753865E-0001 i  
-1. 89817342764775E-0001 + 6.59230729347425E-0002 i

x4

3. 36045126998371E-0001 - 2.36062119098914E-0001 i  
-3. 91081647027574E-0002 + 5.40576770720617E-0002 i  
1. 36622657311045E-0001 + 4.32231779926781E-0002 i  
8. 56870982979373E-0001 + 0.00000000000000E+0000 i  
-9. 13063455238232E-0002 + 1.53037600218666E-0001 i  
-1. 89818154012337E-0001 + 6.59280294375865E-0002 i

x5

3. 36054040922267E-0001 - 2.36056826919338E-0001 i  
-3. 91098141243268E-0002 + 5.40573364411380E-0002 i  
1. 36623076812654E-0001 + 4.32267708083384E-0002 i  
8. 56869500992118E-0001 + 0.00000000000000E+0000 i  
-9. 12929470584858E-0002 + 1.53038058461383E-0001 i  
-1. 89821637121593E-0001 + 6.59243419239869E-0002 i

x6

-1. 71467469638603E-0001 + 4.89528675521245E-0002 i  
1. 56888532231138E-0001 - 1.09702817354840E-0001 i  
-3. 29614342053515E-0001 - 2.45767508299398E-0001 i  
3. 87941026040491E-0001 + 1.34733949613798E-0001 i  
3. 91527511669261E-0001 - 3.28864233251547E-0001 i  
5. 76549710033687E-0001 + 0.00000000000000E+0000 i

oraz LEWE wektory własne ( $\|y\| = 1$ ):

y1

-2.49481238779122E-0001 - 3.26812466724926E-0001 i  
2.10056302377918E-0002 + 6.34105051309612E-0002 i  
8.56535152241089E-0001 + 0.00000000000000E+0000 i  
1.36621936249366E-0001 + 4.32252031933015E-0002 i  
4.09303102665337E-0002 + 1.73656876681451E-0001 i  
1.61279871331129E-0001 + 1.20253722327435E-0001 i

y2

-2.49481242853411E-0001 - 3.26812481097118E-0001 i  
2.10056305607078E-0002 + 6.34104309349175E-0002 i  
8.56535147392255E-0001 + 0.00000000000000E+0000 i  
1.36621940290561E-0001 + 4.32252064759364E-0002 i  
4.09303093343710E-0002 + 1.73656883096479E-0001 i  
1.61279875178622E-0001 + 1.20253728542272E-0001 i

y3

5.54400092742636E-0001 + 1.58283804912086E-0001 i  
-7.67652313931768E-0002 - 5.36785260355199E-0002 i  
1.61281987772827E-0001 - 1.20252741107937E-0001 i  
-1.89820761840219E-0001 + 6.59235736215191E-0002 i  
-1.91573882275426E-0001 - 1.60905370692774E-0001 i  
7.17893416995098E-0001 + 0.00000000000000E+0000 i

y4

5.54393372453698E-0001 + 1.58276687210867E-0001 i  
-7.67645762700170E-0002 - 5.36770768442050E-0002 i  
1.61278590779847E-0001 - 1.20252384208395E-0001 i  
-1.89817419194211E-0001 + 6.59242573506124E-0002 i  
-1.91580570092212E-0001 - 1.60917321829803E-0001 i  
7.17897534977147E-0001 + 0.00000000000000E+0000 i

y5

5.54402508533408E-0001 + 1.58271336834583E-0001 i  
-7.67662628951401E-0002 - 5.36767390429939E-0002 i  
1.61279041176584E-0001 - 1.20256050961858E-0001 i  
-1.89818952861569E-0001 + 6.59276133232438E-0002 i  
-1.91567269974537E-0001 - 1.60915845429076E-0001 i  
7.17893955135360E-0001 + 0.00000000000000E+0000 i

y6

-1.71467469638605E-0001 - 4.89528675521236E-0002 i  
1.56888532231138E-0001 + 1.09702817354839E-0001 i  
-3.29614342053516E-0001 + 2.45767508299399E-0001 i  
3.87941026040490E-0001 - 1.34733949613800E-0001 i  
3.91527511669261E-0001 + 3.28864233251547E-0001 i  
5.76549710033686E-0001 + 0.00000000000000E+0000 i

Łatwo zauważyć, że w granicach uzyskanej dokładności obliczeń są to tylko 3 niezależne prawe i lewe wektory.

Przykład 9. Macierze rzeczywiste A i B stopnia 6 mają postać:

$$A = \begin{bmatrix} -9 & 21 & -15 & 4 & 2 & 0 \\ -10 & 21 & -14 & 4 & 2 & 0 \\ -8 & 16 & -11 & 4 & 2 & 0 \\ -6 & 12 & -9 & 3 & 3 & 0 \\ -4 & 8 & -6 & 0 & 5 & 0 \\ -2 & 4 & -3 & 0 & 1 & 3 \end{bmatrix}, \quad B = I.$$

Macierz A zaczerpnięto z pracy [15]. Posiada ona następujące wartości własne:

$$\begin{aligned} \lambda_1 &= \lambda_2 = 3 && \text{(liniowe dzielniki elementarne)} \\ \lambda_3 &= 2 + i \\ \lambda_4 &= 2 - i \\ \lambda_5 &= \lambda_6 = 1 && \text{(kwadratowy dzielnik elementarny)}. \end{aligned}$$

W wyniku obliczeń otrzymano:

$$\begin{aligned} &\alpha_i : \\ &2.0000000000000000E+0000 + 1.0000000000000001E+0000 i \\ &2.0000000000000000E+0000 - 1.0000000000000001E+0000 i \\ &3.0000000000000000E+0000 \\ &1.0000000000000000E+0000 + 3.95918571019636E-0008 i \\ &1.0000000000000000E+0000 - 3.95918571019636E-0008 i \\ &3.0000000000000000E+0000 \end{aligned}$$

$$\begin{aligned} &\beta_i : \\ &1.0000000000000000E+0000 \\ &1.0000000000000000E+0000 \\ &1.0000000000000000E+0000 \\ &1.0000000000000000E+0000 \\ &1.0000000000000000E+0000 \\ &1.0000000000000000E+0000 \end{aligned}$$

$$\begin{aligned} &\alpha_i / \beta_i : \\ &2.0000000000000000E+0000 + 1.0000000000000001E+0000 i \\ &2.0000000000000000E+0000 - 1.0000000000000001E+0000 i \\ &3.0000000000000000E+0000 \\ &1.0000000000000000E+0000 + 3.95918571019636E-0008 i \\ &1.0000000000000000E+0000 - 3.95918571019636E-0008 i \\ &3.0000000000000000E+0000 \end{aligned}$$

Przykład ten wskazuje, że jeśli B jest macierzą jednostkową, algorytm QZ daje te same wyniki, co algorytm QR, wyprowadzając wartości własne macierzy A.



LITERATURA

1. J.H.WILKINSON, The Algebraic Eigenvalue Problem, Oxford University Press, Oxford, 1965.
2. J.H.WILKINSON, C.REINSCH, Handbook for Automatic Computation, Vol. II, Linear Algebra, Springer Verlag, Berlin Heidelberg New York, 1971.
3. E.TYRKIEL, Wyznaczanie wskaźnika uwarunkowania macierzy - porównanie metod przybliżonych, Raport IPPT PAN 6/1992.
4. G.PETERS, J.H.WILKINSON,  $Ax = \lambda Bx$  and the Generalized Eigenproblem, SIAM J. Numer. Anal., vol.7, No 4, 1970.
5. G.FIX, R.HEIBERGER, An Algorithm for the ill-conditioned Generalized Eigenvalue Problem, Ibid., vol.9, 1972.
6. R.S.MARTIN, J.H.WILKINSON, Reduction of the Symmetric Eigenproblem  $Ax = \lambda Bx$  and Related Problems to Standard Form, Numer. Math., vol.11, 1968.
7. C.B.MOLER, G.W.STEWART, An Algorithm for Generalized Matrix Eigenvalue Problems, SIAM J.Numer.Anal., vol.10, No 2, 1973.
8. H.D.IKRAMOW, Czislennieje reszenije matricznych urawnienij. Ortogonalnyje metody, Moskwa, "Nauka", 1984.
9. G.W.STEWART, On the Sensitivity of the Eigenvalue Problem  $Ax = \lambda Bx$ , SIAM J. Numer. Anal., vol.9, No 4, 1972.
10. R.C.WARD, The Combination Shift QZ Algorithm, SIAM J. Numer. Anal., vol.12, No 6, 1975.
11. M.NOWAK, Niektóre algorytmy algebry liniowej w Języku Pascal, Raport IPPT PAN 22/1986.
12. M.NOWAK, Usprawnienie programów numerycznych w języku Pascal dla mikrokomputerów IBM XT/AT, Raport IPPT PAN 10/1989.
13. J.G.F.FRANCIS, The QR Transformation - a Unitary Analogue to the LR Transformation, Comput. J., vol.4, 1961-62.
14. KING-WAH E.CHU, Exclusion Theorems and the Perturbation Analysis of the Generalized Eigenvalue Problem, SIAM J. Numer. Anal., vol.24, No 5, 1987.
15. R.T.GREGORY, D.L.KARNEY, A Collection of Matrices for Testing Computational Algorithms, Wiley Interscience, New York, London, Sydney, Toronto, 1969.

ANEKS: PAKIETY PROCEDUR NUMERYCZNYCH W JĘZYKU TURBO PASCAL 4.0

WARTOŚCI WŁASNE ZAGADNIENIA  $Ax = \lambda Bx$  Z MACIERZAMI ZESPOLONYMI

Plik QZVALC.PAS

Opis części zewnętrznej

INTERFACE

uses CompUnit, NewType, VecComp;

function qz(n, itm: Integer; A, B: CompPtr2; CNT: IntPtr1): Boolean;  
end;

Opis parametrów formalnych:

qz(n, itm, A, B, CNT);

Parametry wejściowe:

n - stopień macierzy;

itm - maksymalna liczba iteracji dla wydzielenia się jednej wartości własnej (w przypadku zerowej wartości tego parametru ustawiana jest wartość domniemana itm = 30);

A - tablica dwuwymiarowa zawierająca w wierszach 1, ..., n zadana macierz A;

B - tablica dwuwymiarowa zawierająca w wierszach 1, ..., n zadana macierz B;

Parametry wyjściowe:

A - tablica dwuwymiarowa zawierająca w wierszach 1, ..., n macierz trójkątną górną QAZ;

B - tablica dwuwymiarowa zawierająca w wierszach 1, ..., n macierz trójkątną górną QBZ;

UWAGA: w celu uzyskania wartości własnych należy wykonać dzielenie (zespolone) elementów diagonalnych:

$$\lambda_i = A^{[i]} / B^{[i]}$$

CNT - tablica jednowymiarowa zawierająca liczby iteracji wykonanych do chwili wydzielenia się poszczególnych wartości własnych; jeżeli dwie wartości własne zostały wydzielone jednocześnie jako para, to liczba iteracji podana jest z dodatnim znakiem dla pierwszej wartości własnej, z ujemnym - dla drugiej.

qz - przyjmuje wartość TRUE, jeżeli podczas obliczania każdej wartości własnej nie została przekroczona maksymalna liczba iteracji (itm); w przeciwnym razie proces iteracyjny zostaje przerwany, co sygnalizowane jest wartością qz = FALSE.

WARTOŚCI I PRAWY WEKTORY WŁASNE ZAGADNIENIA  $Ax = \lambda Bx$   
Z MACIERZAMI ZESPOLONYMI

Plik QZVECC.PAS

Opis części zewnętrznej

INTERFACE

```
uses CompUnit,NewType,VecComp;  
function qz(n,itm:Integer;A,B:CompPtr2;WW:CompPtr1):Boolean;  
end;
```

Opis parametrów formalnych:

$qz(n,itm,A,B,WW);$

Parametry wejściowe:

- n - stopień macierzy;
- itm - maksymalna liczba iteracji dla wydzielenia się jednej wartości własnej (w przypadku zerowej wartości tego parametru ustawiana jest wartość domniemana itm = 30);
- A - tablica dwuwymiarowa zawierająca w wierszach 1,...,n zadana macierz A;
- B - tablica dwuwymiarowa zawierająca w wierszach 1,...,n zadana macierz B;

Parametry wyjściowe:

- B - tablica dwuwymiarowa zawierająca:
  - w pierwszym wierszu - elementy diagonalne macierzy trójkątnej górnej QAZ;
  - w drugim wierszu - elementy diagonalne macierzy trójkątnej górnej QBZ;
- A - tablica dwuwymiarowa zawierająca n prawych wektorów własnych (nie unormowanych), zapisanych kolumnami; dostęp do j-tego elementu i-tego wektora -  $A^{[j]}[i]$ ;
- WW - tablica jednowymiarowa zawierająca wartości własne;
- qz - przyjmuje wartość TRUE, jeżeli podczas obliczania każdej wartości własnej nie została przekroczona maksymalna liczba iteracji (itm); w przeciwnym razie proces iteracyjny zostaje przerwany, co sygnalizowane jest wartością qz = FALSE.



PEŁNE UOGÓLNIONE ZAGADNIENIE WŁASNE  $Ax = \lambda Bx$   
Z MACIERZAMI ZESPOLONYMI

Plik QZEIGC.PAS

Opis części zewnętrznej

INTERFACE

```
uses CompUnit, NewType, VecComp;  
function qz(n, itm: Integer; A, B: CompPtr2; diagA, diagB, WW:  
    CompPtr1): Boolean;  
end;
```

Opis parametrów formalnych:

`qz(n, itm, A, B, diagA, diagB, WW);`

Parametry wejściowe:

n - stopień macierzy;

itm - maksymalna liczba iteracji dla wydzielenia się jednej wartości własnej (w przypadku zerowej wartości tego parametru ustawiana jest wartość domniemana itm = 30);

A - tablica dwuwymiarowa zawierająca w wierszach 1, ..., n zadaną macierz A;

B - tablica dwuwymiarowa zawierająca w wierszach 1, ..., n zadaną macierz B;

Parametry wyjściowe:

diagA - tablica jednowymiarowa zawierająca elementy diagonalne macierzy trójkątnej górnej QAZ;

diagB - tablica jednowymiarowa zawierająca elementy diagonalne macierzy trójkątnej górnej QBZ;

WW - tablica jednowymiarowa zawierająca wartości własne;

A - tablica dwuwymiarowa zawierająca n prawych wektorów własnych (nie unormowanych), zapisanych kolumnami; dostęp do j-tego elementu i-tego wektora -  $A[j]^i$ ;

B - tablica dwuwymiarowa zawierająca n lewych wektorów własnych (nie unormowanych), zapisanych wierszami; dostęp do j-tego elementu i-tego wektora -  $B[i]^j$ ;

qz - przyjmuje wartość TRUE, jeżeli podczas obliczania każdej wartości własnej nie została przekroczona maksymalna liczba iteracji (itm); w przeciwnym razie proces iteracyjny zostaje przerwany, co sygnalizowane jest wartością qz = FALSE.

```
unit QZEIGC;
```

```
INTERFACE
```

```
uses CompUnit,NewType,VecComp;
```

```
function qz(n,itm:Integer;A,B:CompPtr2;diagA,diagB,WW:  
    CompPtr1):Boolean;
```

```
IMPLEMENTATION
```

```
const
```

```
    tol:Double=1E-280;  
    eps:Double=1.11E-16;
```

```
function SAbs(X:Complex):Double;
```

```
begin  
    with X do SAbs:=Abs(Re)+Abs(Im)  
end;
```

```
procedure unittr(n:Integer;A,B,QU:CompPtr2);
```

```
var
```

```
    i,j:Integer;  
    H,Z,Y:Double;  
    F,G:Complex;
```

```
begin
```

```
    for i:=1 to n-1 do
```

```
        begin
```

```
            H:=NormE(B^[i]^ [i],n,n-i+1);
```

```
            if H<tol then G:=Zero else
```

```
                begin
```

```
                    F:=B^[i]^ [i]; Y:=Sqrt(H);
```

```
                    if (F.Re=0.0) and (F.Im=0.0) then
```

```
                        begin
```

```
                            RMult(Y,One,B^[i]^ [i]); RMult(-Y,One,G)
```

```
                        end
```

```
                    else
```

```
                        begin
```

```
                            Z:=CAbs(F); H:=H+Y*Z;
```

```
                            DivR(F,-Z,G); RMult(Y,G,G); Sub(F,G,B^[i]^ [i])
```

```
                        end;
```

```
                    for j:=i+1 to n do Househ(B^[i]^ [i],n,H,B^[i]^ [j],n,n-i+1);
```

```
                    for j:=1 to n do Househ(B^[i]^ [i],n,H,A^[i]^ [j],n,n-i+1);
```

```
                    for j:=1 to n do Househ(B^[i]^ [i],n,H,QU^[i]^ [j],n,n-i+1);
```

```
                    end;
```

```
                    B^[i]^ [i]:=G;
```

```
                end;
```

```
            for i:=1 to n-1 do FillChar(B^[i+1]^ [1],i shl 4,#0)
```

```
        end;
```

```
procedure unithes(n:Integer;A,B,QU,ZET:CompPtr2);
var
  i,j:Integer;
  S,C,V:Complex;
  Z:Double;
begin
  for j:=1 to n-2 do
  for i:=n downto j+2 do
  begin
    C:=A^[i-1]^[j];
    S:=A^[i]^[j];
    Z:=CSqr(C)+CSqr(S);
    Z:=Sqrt(Z);
    if Z>tol then
    begin
      DivR(C,Z,C); DivR(S,Z,S);
      RMult(Z,One,A^[i-1]^[j]);
      A^[i]^[j]:=Zero;
      Rotate(S,C,A^[i-1]^[j+1],A^[i]^[j+1],1,n-j,True);
      Rotate(S,C,B^[i-1]^[i],B^[i]^[i],1,n-i+1,True);
      Rotate(S,C,QU^[i-1]^[1],QU^[i]^[1],1,n,True);
      V:=B^[i-1]^[i-1];
      with C do Im:=-Im;
      CMult(C,V,B^[i-1]^[i-1]);
      Neg(S);
      CMult(S,V,B^[i]^[i-1]);
      C:=B^[i]^[i];
      S:=B^[i]^[i-1];
      Z:=CSqr(C)+CSqr(S);
      Z:=Sqrt(Z);
      if Z>tol then
      begin
        DivR(C,Z,C); DivR(S,-Z,S);
        RMult(Z,One,B^[i]^[i]);
        B^[i]^[i-1]:=Zero;
        Rotate(S,C,B^[1]^[i-1],B^[1]^[i],n,i-1,False);
        Rotate(S,C,A^[1]^[i-1],A^[1]^[i],n,n,False);
        Rotate(S,C,ZET^[1]^[i-1],ZET^[1]^[i],n,n,False)
      end
    end
  end
end;

function iter(n:Integer;var itm:Integer;NormA,NormB:Double;A,B,
              QU,ZET:CompPtr2;diagA,diagB,WW:CompPtr1):Boolean;
var
  en,na,l,it,i,j:Integer;
  R,X,Y,S,C:Complex;
  NmA,NmB,F,G,H:Double;
  WA,NL,NM:Boolean;

procedure Housn(Q,X,Y:Complex;var A,B:Complex);
var
  P,S:Complex;
```



```
begin
  CMult(Q,B,P); Add(A,P,P);
  CMult(P,Y,S); Sub(B,S,B);
  CMult(P,X,S); Sub(A,S,A)
end;

procedure contsub(en,na,l:Integer;var m:Integer;var T:Complex;
                 var P,Q:Complex);
var
  i,j,k:Integer;
  X,Y,Z:Complex;
  F,G,H:Double;
  NS:Boolean;
begin
  i:=na; NS:=False;
  if na>=3 then
    repeat
      i:=i-1;
      CMult(A^[i]^[i-1],A^[i+1]^[i],X);
      CMult(T,B^[i]^[i],Y); Sub(A^[i]^[i],Y,Y);
      if (Y.Re<>0.0) and (Y.Im<>0.0) then
        NS:=SAbs(X)<=eps*SAbs(Y)*NormA
    until (NS) or (i=1+i);
    if not NS then i:=1;
    NS:=True;
    k:=0;
    repeat
      k:=k+1;
      NS:=SAbs(B^[i]^[i])<=eps*NormB;
      if not NS then m:=i else
        begin
          P:=A^[i]^[i];
          Q:=A^[i+1]^[i];
          F:=SAbs(P)+SAbs(Q);
          DivR(P,F,P); DivR(Q,F,Q);
          H:=Sqrt(CSqr(P)+CSqr(Q));
          if (P.Re=0.0) and (P.Im=0.0) then RMult(H,One,Z) else
            begin
              G:=CAbs(P); DivR(P,G,Z); RMult(H,Z,Z)
            end;
          RMult(-F,Z,A^[i]^[i]);
          A^[i+1]^[i]:=Zero;
          if (i<>1) and (k=1) then Neg(A^[i]^[i-1]);
          Add(P,Z,P); DivC(P,Z,X); DivC(Q,Z,Y);
          DivC(Q,P,Q);
          with Q do Im:=-Im;
          for j:=i+1 to n do Housn(Q,X,Y,A^[i]^[j],A^[i+1]^[j]);
          for j:=i+1 to n do Housn(Q,X,Y,B^[i]^[j],B^[i+1]^[j]);
          for j:=1 to n do Housn(Q,X,Y,QU^[i]^[j],QU^[i+1]^[j]);
          i:=i+1
        end
    until (not NS) or (i=en);
    if i=en then begin m:=en; exit end;
  DivC(A^[m]^[m],B^[m]^[m],P); Sub(P,T,P);
```

```

DivC(A^[m+1]^ [m], B^[m]^ [m], Q);
F:=SAbs(P)+SAbs(Q);
DivR(P,F,P);   DivR(Q,F,Q)
end;

procedure step(en,na,l,m,k:Integer;var P,Q:Complex);
var
  j:Integer;
  X,Y,Z,S,C:Complex;
begin
  if k<>m then
  begin
    P:=A^[k]^ [k-1];
    Q:=A^[k+1]^ [k-1];
    F:=SAbs(P)+SAbs(Q);
    if F<tol then exit;
    DivR(P,F,P);   DivR(Q,F,Q);
  end;
  H:=Sqrt(CSqr(P)+CSqr(Q));
  if (P.Re=0.0) and (P.Im=0.0) then RMult(H,One,Z) else
  begin
    G:=CAbs(P);   DivR(P,G,Z);   RMult(H,Z,Z)
  end;
  if k<>m then
  begin
    RMult(-F,Z,A^[k]^ [k-1]);
    A^[k+1]^ [k-1]:=Zero;
  end
  else
  if l<>m then
  begin
    Neg(A^[k]^ [k-1]);
    A^[k+1]^ [k-1]:=Zero;
  end;
  Add(P,Z,P);   DivC(P,Z,X);   DivC(Q,Z,Y);
  DivC(Q,P,Q);
  with Q do Im:=-Im;
  for j:=k to n do Housn(Q,X,Y,A^[k]^ [j],A^[k+1]^ [j]);
  for j:=k to n do Housn(Q,X,Y,B^[k]^ [j],B^[k+1]^ [j]);
  for j:=1 to n do Housn(Q,X,Y,QU^[k]^ [j],QU^[k+1]^ [j]);
  C:=B^[k+1]^ [k];
  S:=B^[k+1]^ [k];
  F:=CSqr(C)+CSqr(S);   F:=Sqrt(F);
  if F>tol then
  begin
    DivR(C,F,C);   DivR(S,-F,S);
    RMult(F,One,B^[k+1]^ [k+1]);
    B^[k+1]^ [k]:=Zero;
    Rotate(S,C,B^[1]^ [k],B^[1]^ [k+1],n,k,False);
    if k<>na then Rotate(S,C,A^[1]^ [k],A^[1]^ [k+1],n,k+2,False)
    else Rotate(S,C,A^[1]^ [k],A^[1]^ [k+1],n,en,False);
    Rotate(S,C,ZET^[1]^ [k],ZET^[1]^ [k+1],n,n,False)
  end
end;
end;

```

```
procedure nextw(en,na,itm:Integer;NormA,NormB:Double;
               var l,it:Integer;var R:Complex;
               var WA,NL,NM:Boolean);
var
  m,k:Integer;
  T,P,Q,V,Z,W,Dm,Dn,Amn,Anm,Det:Complex;
begin
  repeat
    l:=en+1;   T:=Zero;
    NL:=False;
    if en>=2 then
      repeat
        l:=l-1;
        NL:=SAbs(A^[l]^[l-1])<=eps*NormA
      until (l=2) OR (NL);
      if NL then A^[l]^[l-1]:=Zero else l:=1;
      if l=en then exit;
      if ((it=10) or (it=20)) and (it<itm) and (l<>na) then
        begin
          X:=B^[en-2]^[en-2];
          if SAbs(X)<=eps*NormB then RMult(eps*NormB,One,X);
          DivC(A^[na]^[en-2],X,V);
          X:=B^[na]^[na];
          if SAbs(X)<=eps*NormB then RMult(eps*NormB,One,X);
          DivC(A^[en]^[na],X,Z);
          T.Re:=Abs(Z.Re)+Abs(V.Re);
          T.Im:=Abs(Z.Im)+Abs(V.Im);
        end
      else
        begin
          if it=itm then
            begin
              WA:=True; exit
            end;
          NM:=SAbs(B^[en]^[en])<=eps*NormB;
          NL:=SAbs(B^[na]^[na])<=eps*NormB;
          if (not NL) and (not NM) then
            begin
              DivC(A^[en]^[en],B^[en]^[en],Dn);
              DivC(A^[na]^[na],B^[na]^[na],Dm);
              DivC(A^[na]^[en],B^[en]^[en],V);
              DivC(A^[en]^[na],B^[na]^[na],Z);
              DivC(B^[na]^[en],B^[en]^[en],X);
              CMult(V,Z,Amn);   CMult(Z,X,Anm);
              CMult(Dm,Anm,Y);   Sub(Amn,Y,W);
              Sub(Dn,Dm,Y);   Sub(Y,Anm,Y);   RMult(0.5,Y,P);
              CMult(P,P,Y);   Add(Y,W,Q);
              CSqrt(Q,Q);
              Sub(P,Q,Y);   Add(P,Q,C);
              if SAbs(C)>SAbs(Y) then Y:=C;
              Add(Dm,Y,R);
              if l=na then exit;
              if (Y.Re=0.0) and (Y.Im=0.0) then C:=Dm else
                begin
```



```
    DivC(W,Y,C); Sub(Dm,C,C)
  end;
  Sub(R,Dn,Y); Sub(C,Dn,W);
  if SAbs(Y)<SAbs(W) then T:=R else T:=C
end
else
begin
  if l=na then exit;
  CMult(A^[na]^[na],A^[en]^[en],V);
  CMult(A^[en]^[na],A^[na]^[en],Z);
  Sub(V,Z,Det);
  Neg(Det);
  CMult(A^[en]^[na],B^[na]^[en],V);
  if (NL) and (NM) then
  begin
    if (V.Re<>0.0) and (V.Im<>0.0) then
      DivC(Det,V,T);
    end
    else
  if NL then
  begin
    CMult(A^[na]^[na],B^[en]^[en],Z);
    Sub(V,Z,Z);
    if (Z.Re<>0.0) and (Z.Im<>0.0) then
      DivC(Det,Z,T);
    end
    else
  begin
    CMult(A^[en]^[en],B^[na]^[na],Z);
    Sub(V,Z,Z);
    if (Z.Re<>0.0) and (Z.Im<>0.0) then
      DivC(Det,Z,T);
    end;
    CMult(B^[1]^[1],T,X); Sub(A^[1]^[1],X,X);
    if SAbs(X)>SAbs(A^[1+1]^[1]) then T:=Zero
  end
end;
it:=it+1;
contsub(en,na,l,m,T,P,Q);
for k:=m to na do
  step(en,na,l,m,k,P,Q);
until WA;
end;

begin                                     {body of iter}
en:=n; WA:=False;
if itm=0 then itm:=30;
repeat
it:=0; na:=en-1;
nextw(en,na,itmax,NormA,NormB,l,it,R,WA,NL,NM);
if WA then
begin
  iter:=False; exit
end;
```

```
if l=en then
begin
diagA^[en]:=A^[en]^[en];
diagB^[en]:=B^[en]^[en];
X:=diagB^[en];
if (X.Re=0.0) and (X.Im=0.0) then
RMult(eps*NormB,One,diagB^[en]);
DivC(diagA^[en],diagB^[en],WW^[en]);
en:=na
end
else
begin
if (not ML) and (not NM) then
begin
NmA:=SAbs(A^[na]^[na])+SAbs(A^[na]^[en]);
F:=SAbs(A^[en]^[na])+SAbs(A^[en]^[en]);
if F>NmA then NmA:=F;
NmB:=SAbs(B^[na]^[na])+SAbs(B^[na]^[en]);
F:=SAbs(B^[en]^[en]);
if F>NmB then NmB:=F;
NmB:=NmB*CAbs(R);
CMult(R,B^[na]^[na],Y); Sub(A^[na]^[na],Y,Y);
CMult(R,B^[na]^[en],X); Sub(A^[na]^[en],X,X);
G:=SAbs(Y)+SAbs(X);
CMult(R,B^[en]^[en],C); Sub(A^[en]^[en],C,C);
F:=SAbs(A^[en]^[na])+SAbs(C);
if G>F then
begin
C:=X; S:=Y
end
else S:=A^[en]^[na];
G:=CSqr(C)+CSqr(S); G:=Sqrt(G);
if G>tol then
begin
DivR(C,G,C); DivR(S,-G,S);
Rotate(S,C,A^[1]^[na],A^[1]^[en],n,en,False);
Rotate(S,C,B^[1]^[na],B^[1]^[en],n,en,False);
Rotate(S,C,ZET^[1]^[na],ZET^[1]^[en],n,n,False);
end;
if NmB<NmA then
begin
C:=B^[na]^[na]; S:=B^[en]^[na];
G:=CSqr(C)+CSqr(S); G:=Sqrt(G);
if G>tol then
begin
DivR(C,G,C); DivR(S,G,S);
RMult(G,One,B^[na]^[na]);
Rotate(S,C,A^[na]^[en],A^[en]^[en],1,n-na,True);
Rotate(S,C,B^[na]^[en],B^[en]^[en],1,n-na,True);
Rotate(S,C,QU^[na]^[1],QU^[en]^[1],1,n,True);
with C do Im:=-Im;
with S do Im:=-Im;
X:=A^[na]^[na]; Y:=A^[en]^[na];
CMult(C,X,X); CMult(S,Y,Y);
```

```

    Add(X,Y,A^[na]^[na])
  end
end
else
begin
C:=A^[na]^[na];   S:=A^[en]^[na];
G:=CSqr(C)+CSqr(S);   G:=Sqrt(G);
if G>tol then
begin
  DivR(C,G,C);   DivR(S,G,S);
  RMult(G,One,A^[na]^[na]);
  Rotate(S,C,A^[na]^[en],A^[en]^[en],1,n-na,True);
  Rotate(S,C,B^[na]^[en],B^[en]^[en],1,n-na,True);
  Rotate(S,C,QU^[na]^[1],QU^[en]^[1],1,n,True);
  with C do Im:=-Im;
  with S do Im:=-Im;
  X:=B^[na]^[na];   Y:=B^[en]^[na];
  CMult(C,X,X);   CMult(S,Y,Y);
  Add(X,Y,B^[na]^[na])
end
end;
A^[en]^[na]:=Zero;
B^[en]^[na]:=Zero
end
else
if NL then
begin
C:=A^[na]^[na];
S:=A^[en]^[na];
F:=CSqr(C)+CSqr(S);   F:=Sqrt(F);
if F>tol then
begin
  DivR(C,F,C);   DivR(S,F,S);
  RMult(F,One,A^[na]^[na]);
  A^[en]^[na]:=Zero;
  Rotate(S,C,A^[na]^[en],A^[en]^[en],1,n-na,True);
  Rotate(S,C,B^[na]^[en],B^[en]^[en],1,n-na,True);
  Rotate(S,C,QU^[na]^[1],QU^[en]^[1],1,n,True)
end
end
else
begin
C:=A^[en]^[en];
S:=A^[en]^[na];
F:=CSqr(C)+CSqr(S);   F:=Sqrt(F);
if F>tol then
begin
  DivR(C,F,C);   DivR(S,-F,S);
  RMult(F,One,A^[en]^[en]);
  A^[en]^[na]:=Zero;
  Rotate(S,C,A^[1]^[na],A^[1]^[en],n,na,False);
  Rotate(S,C,B^[1]^[na],B^[1]^[en],n,na,False);
  Rotate(S,C,ZET^[1]^[na],ZET^[1]^[en],n,n,False);
end;
end;

```



```
end;
diagA^[na]:=A^[na]^[na]; diagA^[en]:=A^[en]^[en];
diagB^[na]:=B^[na]^[na]; diagB^[en]:=B^[en]^[en];
X:=diagB^[na];
if (X.Re=0.0) and (X.Im=0.0) then
  RMult(eps*NormB,One,diagB^[na]);
X:=diagB^[en];
if (X.Re=0.0) and (X.Im=0.0) then
  RMult(eps*NormB,One,diagB^[en]);
DivC(diagA^[na],diagB^[na],WW^[na]);
DivC(diagA^[en],diagB^[en],WW^[en]);
en:=en-2
end
until en=0;
iter:=True
end;

procedure fin(n:Integer;NormA,NormB:Double;A,B,QU,ZET:CompPtr2;
              WW:CompPtr1);
var
  i,j,en,na:Integer;
  S:Double;
  C:CompPtr1;
  W,X,R,Y:Complex;
begin
  GetMem(C,n shl 4);
  for en:=n downto 1 do
    begin
      X:=WW^[en]; na:=en-1;
      if (SAbs(B^[en]^[en])<=eps*NormB) then
        begin
          for i:=na downto 1 do
            begin
              W:=B^[i]^[i];
              if (W.Re=0.0) and (W.Im=0.0) then RMult(eps*NormB,One,W);
              B^[en]^[i]:=B^[i]^[en]; Neg(B^[en]^[i]);
              VecProd(B^[i]^[i+1],1,B^[en]^[i+1],1,B^[en]^[i],0,na-i,W);
            end
          end
        else
          begin
            for i:=na downto 1 do
              begin
                for j:=i to en do
                  begin
                    CMult(X,B^[i]^[j],R); Sub(A^[i]^[j],R,C^[j])
                  end;
                W:=C^[i];
                if (W.Re=0.0) and (W.Im=0.0) then
                  begin
                    S:=CAbs(X)*NormB;
                    if S>NormA then RMult(eps*S,One,W) else
                      RMult(eps*NormA,One,W)
                  end;
                end;
              end
            end
          end
        end
      end
    end
  end;
end;
```

```

    Neg(C^[en]);
    B^[en]^[i]:=C^[en];
    VecProd(C^[i+1],1,B^[en]^[i+1],1,B^[en]^[i],0,na-i,W);
  end
end;
end;
for en:=1 to n do
begin
X:=WW^[en];  na:=en+1;
if (SAbs(B^[en]^[en])<=eps*NormB) then
begin
for i:=na to n do
begin
W:=B^[i]^[i];
if (W.Re=0.0) and (W.Im=0.0) then RMult(eps*NormB,One,W);
Neg(B^[en]^[i]);
VecProd(B^[na]^[i],n,B^[en]^[na],1,B^[en]^[i],0,i-na,W);
end
end
else
begin
for i:=na to n do
begin
for j:=en to i do
begin
CMult(X,B^[j]^[i],R);  Sub(A^[j]^[i],R,C^[j])
end;
W:=C^[i];
if (W.Re=0.0) and (W.Im=0.0) then
begin
S:=CAbs(X)*NormB;
if S>NormA then RMult(eps*S,One,W) else
RMult(eps*NormA,One,W)
end;
Neg(C^[en]);
B^[en]^[i]:=C^[en];
VecProd(C^[na],1,B^[en]^[na],1,B^[en]^[i],0,i-na,W);
end
end;
end;
for en:=1 to n do B^[en]^[en]:=One;
for i:=1 to n do
for j:=1 to n do
begin
X:=Zero;
VecProd(ZET^[j]^[1],1,B^[i]^[1],1,X,0,i,Skip);
Sub(Zero,X,A^[j]^[i])
end;
for i:=1 to n do
for j:=1 to n do
begin
X:=Zero;
VecProd(B^[i]^[i],1,QU^[i]^[j],n,X,0,n-i+1,Skip);

```

```
Sub(Zero,X,ZET^[i]^[j])
end;
for i:=1 to n do Move(ZET^[i]^[1],B^[i]^[1],n shl 4);
FreeMem(C,n shl 4)
end;
```

```
function qz(n,itm:Integer;A,B:CompPtr2;diagA,diagB,WW:
CompPtr1):Boolean;
```

```
var
QU,ZET:CompPtr2;
i,j:Integer;
F,G,NormA,NormB:Double;
Suc:Boolean;
```

```
function check0(n,k:Integer;var i:Integer;C:CompPtr2):Boolean;
```

```
var
j:Integer;
Nul,Kon:Boolean;
```

```
begin
Nul:=False;
Kon:=False;
j:=1;
repeat
Nul:=(C^[i]^[j].Re<>0.0) or (C^[i]^[j].Im<>0.0);
j:=j+1;
if j=i-k then if i<n then
begin
j:=1;
i:=i+1
end
else Kon:=True
until Nul or Kon;
check0:=Nul
end;
```

```
begin {body of qz}
GetMem(ZET,n shl 2);
for i:=1 to n do GetMem(ZET^[i],n shl 4);
GetMem(QU,n shl 2);
for i:=1 to n do GetMem(QU^[i],n shl 4);
for i:=1 to n do
begin
FillChar(ZET^[i]^[1],n shl 4,#0);
ZET^[i]^[i]:=One;
FillChar(QU^[i]^[1],n shl 4,#0);
QU^[i]^[i]:=One
end;
i:=2; Timel:=0;
if check0(n,0,i,B) then
begin
unittr(n,A,B,QU);
unithes(n,A,B,QU,ZET);
end
else
```



```
begin
  i:=3;
  if n>=3 then
    if check0(n,1,i,A) then unithes(n,A,B,QU,ZET);
    end;
  end;
  NormA:=0.0;  NormB:=0.0;
  for i:=1 to n do
    begin
      F:=0.0;  G:=0.0;
      for j:=1 to n do F:=F+SAbs(A^[j]^ [i]);
      for j:=1 to n do G:=G+SAbs(B^[j]^ [i]);
      if F>NormA then NormA:=F;
      if G>NormB then NormB:=G;
    end;
  SUC:=iter(n,itm, NormA, NormB, A, B, QU, ZET, diagA, diagB, WW);
  if Suc then
    begin
      fin(n, NormA, NormB, A, B, QU, ZET, WW);
      qz:=True
    end
  else qz:=False;
  FreeMem(ZET,n shl 2);
  for i:=1 to n do FreeMem(ZET^[i],n shl 4);
  FreeMem(QU,n shl 2);
  for i:=1 to n do FreeMem(QU^[i],n shl 4)
end;

end.
```

## WARTOŚCI WŁASNE ZAGADNIENIA $Ax = \lambda Bx$ Z MACIERZAMI RZECZYWISTYMI

Plik QZVALR.PAS

Opis części zewnętrznej

### INTERFACE

```
uses NewType,VecReal;  
function qz(n,itm:Integer;A,B:DoublePtr2;CNT:IntPtr1):Boolean;  
end;
```

Opis parametrów formalnych:

$qz(n, itm, A, B, CNT);$

Parametry wejściowe:

$n$  - stopień macierzy;

$itm$  - maksymalna liczba iteracji dla wydzielenia się jednej wartości własnej (w przypadku zerowej wartości tego parametru ustawiana jest wartość domniemana  $itm = 30$ );

$A$  - tablica dwuwymiarowa zawierająca w wierszach  $1, \dots, n$  zadaną macierz  $A$ ;

$B$  - tablica dwuwymiarowa zawierająca w wierszach  $1, \dots, n$  zadaną macierz  $B$ ;

Parametry wyjściowe:

$A$  - tablica dwuwymiarowa, w której pierwszym wierszu zapisane są części rzeczywiste, a w drugim wierszu części urojone elementów diagonalnych macierzy trójkątnej górnej QAZ;

$B$  - tablica dwuwymiarowa zawierająca w wierszach  $1, \dots, n$  macierz trójkątną górną QBZ;

UWAGA: w celu uzyskania wartości własnych należy wykonać dzielenie:

$$(\lambda_i).Re = A^*[1]^i/B^*[i]^i$$

$$(\lambda_i).Im = A^*[2]^i/B^*[i]^i$$

$CNT$  - tablica jednowymiarowa zawierająca liczby iteracji wykonanych do chwili wydzielenia się poszczególnych wartości własnych; jeżeli dwie wartości własne zostały wydzielone jednocześnie jako para, to liczba iteracji podana jest z dodatnim znakiem dla pierwszej wartości własnej, z ujemnym - dla drugiej.

$qz$  - przyjmuje wartość TRUE, jeżeli podczas obliczania każdej wartości własnej nie została przekroczona maksymalna liczba iteracji ( $itm$ ); w przeciwnym razie proces iteracyjny zostaje przerwany, co sygnalizowane jest wartością  $qz = FALSE$ .

WARTOŚCI I PRAWE WEKTORY WŁASNE ZAGADNIENIA  $Ax = \lambda Bx$   
Z MACIERZAMI RZECZYWISTYMI

Plik QZVECR.PAS

Opis części zewnętrznej

INTERFACE

```
uses NewType, VecReal;  
function qz(n, itm: Integer; A, B: DoublePtr2; WR, WI: DoublePtr1):  
    Boolean;  
end;
```

Opis parametrów formalnych:

qz(n, itm, A, B, WR, WI);

Parametry wejściowe:

n - stopień macierzy;

itm - maksymalna liczba iteracji dla wydzielenia się jednej wartości własnej (w przypadku zerowej wartości tego parametru ustawiana jest wartość domniemana itm = 30);

A - tablica dwuwymiarowa zawierająca w wierszach 1, ..., n zadana macierz A;

B - tablica dwuwymiarowa zawierająca w wierszach 1, ..., n zadana macierz B;

Parametry wyjściowe:

B - tablica dwuwymiarowa zawierająca:

w pierwszym wierszu - części rzeczywiste elementów diagonalnych macierzy trójkątnej górnej QAZ;

w drugim wierszu - części urojone elementów diagonalnych macierzy trójkątnej górnej QAZ;

w trzecim wierszu - elementy diagonalne macierzy trójkątnej górnej QBZ;

WR - tablica jednowymiarowa zawierająca części rzeczywiste wartości własnych;

WI - tablica jednowymiarowa zawierająca części urojone wartości własnych;

A - tablica dwuwymiarowa zawierająca n prawych wektorów własnych (nie unormowanych), zapisanych kolumnami; dostęp do j-tego elementu i-tego wektora -  $A^{[j]}[i]$ ;



UWAGA: stosuje się następujący sposób zapisu wektorów zespolonych w tablicy rzeczywistej: jeśli  $i$ -ta oraz  $i+1$ -sza wartość własna stanowią parę zespoloną (sprzężoną), wówczas kolumny  $i$  oraz  $i+1$  macierzy  $A$  zawierają odpowiednio: część rzeczywistą i urojoną wektorów odpowiadających wartości własnej z dodatnią częścią urojoną (traktowanej jako  $i$ -ta wartość własna).

qz - przyjmuje wartość TRUE, jeżeli podczas obliczania każdej wartości własnej nie została przekroczona maksymalna liczba iteracji (itm); w przeciwnym razie proces iteracyjny zostaje przerwany, co sygnalizowane jest wartością qz = FALSE.

```
unit QZVECR;
```

```
INTERFACE
```

```
uses NewType, VecReal;
```

```
function qz(n,itm:Integer;A,B:DoublePtr2;WR,WI:DoublePtr1):  
    Boolean;
```

```
IMPLEMENTATION
```

```
const
```

```
    tol:Double=1E-280;  
    eps:Double=1.11E-16;
```

```
procedure orttr(n:Integer;A,B:DoublePtr2);
```

```
var
```

```
    i,j:Integer;  
    S,F,G,H:Double;
```

```
begin
```

```
    for i:=1 to n-1 do
```

```
        begin
```

```
            S:=NormE(B^[i]^ [i],n,n-i+1);
```

```
            if S<tol then G:=0.0 else
```

```
                begin
```

```
                    F:=B^[i]^ [i];
```

```
                    if F<0.0 then G:=Sqrt(S) else G:=-Sqrt(S);
```

```
                    H:=S-F*G; B^[i]^ [i]:=F-G;
```

```
                    for j:=i+1 to n do Househ(B^[i]^ [i],n,H,B^[i]^ [j],n,n-i+1);
```

```
                    for j:=1 to n do Househ(B^[i]^ [i],n,H,A^[i]^ [j],n,n-i+1)
```

```
                end;
```

```
                B^[i]^ [i]:=G
```

```
            end;
```

```
            for i:=1 to n-1 do FillChar(B^[i+1]^ [1],i shl 3,#0);
```

```
        end;
```

```
procedure orthes(n:Integer;A,B,ZET:DoublePtr2);
var
  i,j:Integer;
  S,C,W:Double;
begin
  for j:=1 to n-2 do
  for i:=n downto j+2 do
  begin
    C:=A^[i-1]^ [j];
    S:=A^[i]^ [j];
    W:=Sqrt(Sqr(C)+Sqr(S));
    if W>tol then
    begin
      C:=C/W;   S:=S/W;
      A^[i-1]^ [j]:=W;
      A^[i]^ [j]:=0.0;
      Rotate(S,C,A^[i-1]^ [j+1],A^[i]^ [j+1],1,n-j);
      Rotate(S,C,B^[i-1]^ [i-1],B^[i]^ [i-1],1,n-i+2);
      C:=B^[i]^ [i];
      S:=B^[i]^ [i-1];
      W:=Sqrt(Sqr(C)+Sqr(S));
      if W>tol then
      begin
        C:=C/W;   S:=-S/W;
        B^[i]^ [i]:=W;
        B^[i]^ [i-1]:=0.0;
        Rotate(S,C,B^[1]^ [i-1],B^[1]^ [i],n,i-1);
        Rotate(S,C,A^[1]^ [i-1],A^[1]^ [i],n,n);
        Rotate(S,C,ZET^[1]^ [i-1],ZET^[1]^ [i],n,n);
      end
    end
  end;
end;

function iter(n:Integer;var itm:Integer;A,B,ZET:DoublePtr2;
  dAR,dAI,dB,WR,WI:DoublePtr1;NormA,NormB:Double):Boolean;
var
  en,na,l,i,j,it,rc:Integer;
  RR,X,Y,W,C,S:Double;
  NmA,NmB,F,G,H:Double;
  WA,NL,NM:Boolean;

procedure Hous1(Q,X,Y:Double;var A,B:Double);
var
  P:Double;
begin
  P:=A+Q*B;
  B:=B-P*Y;
  A:=A-P*X
end;

procedure Hous2(Q,R,X,Y,Z:Double;var A,B,C:Double);
var
  P:Double;
```

```
begin
  P:=A+Q*B+R*C;
  A:=A-P*X;
  B:=B-P*Y;
  C:=C-P*Z
end;

procedure contsub1(en,na,l:Integer;var m:Integer;T:Double;
                  var P,Q:Double);
var
  i,j,k:Integer;
  X,Y,S,F:Double;
  NS:Boolean;
begin
  i:=en; NS:=False;
  if en>=3 then
    repeat
      i:=i-1;
      X:=A^[i]^[i-1]*A^[i+1]^[i];
      Y:=A^[i]^[i]-T*B^[i]^[i];
      if Y<>0.0 then NS:=Abs(X)<=eps*Abs(Y)*NormA
    until (NS) or (i<=1+1);
    if (not NS) or (i<=1+1) then i:=1;
    NS:=True;
    k:=0;
    repeat
      k:=k+1;
      NS:=Abs(B^[i]^[i])<=eps*NormB;
      if not NS then m:=i else
        begin
          P:=A^[i]^[i];
          Q:=A^[i+1]^[i];
          F:=Abs(P)+Abs(Q);
          P:=P/F; Q:=Q/F;
          S:=Sqrt(P*P+Q*Q);
          if P<0.0 then S:=-S;
          A^[i]^[i]:=-F*S;
          A^[i+1]^[i]:=0.0;
          if (i<>1) and (k=1) then A^[i]^[i-1]:=-A^[i]^[i-1];
          P:=P+S; X:=P/S; Y:=Q/S;
          Q:=Q/P;
          for j:=i+1 to n do Hous1(Q,X,Y,A^[i]^[j],A^[i+1]^[j]);
          for j:=i+1 to n do Hous1(Q,X,Y,B^[i]^[j],B^[i+1]^[j]);
          i:=i+1
        end
    until (not NS) or (i=en);
    if i=en then begin m:=en; exit end;
    P:=A^[m]^[m]/B^[m]^[m]-T;
    Q:=A^[m+1]^[m]/B^[m]^[m];
    F:=Abs(P)+Abs(Q);
    P:=P/F; Q:=Q/F
  end;
```



```
procedure contsub2(en,na:Integer;var l,m:Integer;
  Dn,Dm,Amn,Anm:Double;varP,Q,R:Double;var DBL:Boolean);
var
  i:Integer;
  S,C,W:Double;
  NL,NM:Boolean;

procedure pqr(i:Integer;Dn,Dm,Amn,Anm:Double;var P,Q,R:Double);
var
  D1,D2,A1,A2,B1,B2,X:Double;
begin
  D1:=A^[i]^ [i]/B^[i]^ [i];
  D2:=A^[i+1]^ [i+1]/B^[i+1]^ [i+1];
  A1:=A^[i]^ [i+1]/B^[i+1]^ [i+1];
  A2:=A^[i+1]^ [i]/B^[i]^ [i];
  B1:=B^[i]^ [i]/A^[i+1]^ [i];
  B2:=B^[i]^ [i+1]/B^[i+1]^ [i+1];
  R:=Dn-D1; Q:=Dm-D1;
  P:=(R*Q-Amn+Anm*D1)*B1+A1-D1*B2;
  Q:=D2-D1-R-Q-A2*B2+Anm;
  R:=A^[i+2]^ [i+1]/B^[i+1]^ [i+1];
  X:=Abs(P)+Abs(Q)+Abs(R);
  P:=P/X; Q:=Q/X; R:=R/X;
end;

begin
  for i:=en-2 downto 1 do
  begin
    S:=Abs(B^[i]^ [i]);
    C:=Abs(B^[i+1]^ [i+1]);
    if (S>tol) and (C>tol) then
    begin
      pqr(i,Dn,Dm,Amn,Anm,P,Q,R);
      if i=1 then begin m:=1; exit end;
      if (Abs(A^[i]^ [i-1])*(Abs(Q)+Abs(R))<=eps*Abs(P)*NormA
      then
      begin
        m:=i; exit
      end
    end;
  end;
  m:=1;
  NL:=Abs(B^[i]^ [i])<=eps*NormB;
  NM:=Abs(B^[i+1]^ [i+1])<=eps*NormB;
  if NL then
  begin
    repeat
      C:=A^[i]^ [i]; S:=A^[i+1]^ [i];
      W:=Sqrt(C*C+S*S);
      if W>tol then
      begin
        C:=C/W; S:=S/W;
        A^[i]^ [i]:=W; A^[i+1]^ [i]:=0.0;
        Rotate(S,C,A^[i]^ [i+1],A^[i+1]^ [i+1],1,n-i);
      end
    until W<tol;
  end;
end;
```

```
    Rotate(S,C,B^[i]^[i+1],B^[i+1]^[i+1],1,n-i);
end;
i:=i+1;    l:=i;    m:=1;
NL:=Abs(B^[i]^[i])<=eps*NormB;
until (not NL) or (i=en);
if i>=na then begin m:=en; exit end;
NM:=Abs(B^[i+1]^[i+1])<=eps*NormB;;
end;
if NM then begin DBL:=False; exit end
else pqr(1,Dn,Dm,Amn,Anm,P,Q,R)
end;

procedure step1(en,na,l,m,k:Integer;var P,Q:Double);
var
  i,j:Integer;
  C,S,X,Y:Double;
  NL:Boolean;
begin
  if k<>m then
    begin
      P:=A^[k]^[k-1];
      Q:=A^[k+1]^[k-1];
      X:=Abs(P)+Abs(Q);
      if X<tol then exit;
      P:=P/X;    Q:=Q/X
    end;
    S:=Sqrt(P*P+Q*Q);
    if P<0.0 then S:=-S;
    if k<>m then
      begin
        A^[k]^[k-1]:=-S*X;
        A^[k+1]^[k-1]:=0.0;
      end
      else
        if l<>m then
          begin
            A^[k]^[k-1]:=-A^[k]^[k-1];
            A^[k+1]^[k-1]:=0.0;
          end;
        P:=P+S;    X:=P/S;    Y:=Q/S;
        Q:=Q/P;
        for j:=k to n do Hous1(Q,X,Y,A^[k]^[j],A^[k+1]^[j]);
        for j:=k to n do Hous1(Q,X,Y,B^[k]^[j],B^[k+1]^[j]);
        C:=B^[k+1]^[k+1];
        S:=B^[k+1]^[k];
        X:=Sqrt(C*C+S*S);
        if X>tol then
          begin
            C:=C/X;    S:=-S/X;
            B^[k+1]^[k+1]:=X;
            B^[k+1]^[k]:=0.0;
            Rotate(S,C,B^[1]^[k],B^[1]^[k+1],n,k);
            if k<>na then Rotate(S,C,A^[1]^[k],A^[1]^[k+1],n,k+2)
            else Rotate(S,C,A^[1]^[k],A^[1]^[k+1],n,en);
          end;
        end;
end;
```

```
    Rotate(S,C,ZET^[1]^[k],ZET^[1]^[k+1],n,n);
end
end;

procedure step2(en,na,l,m,k:Integer;var P,Q,R:Double);
var
  i,j:Integer;
  C,S,Z,X,Y,B1:Double;
  NL:Boolean;
begin
  NL:=k<>na;
  if k<>m then
  begin
    P:=A^[k]^[k-1];
    Q:=A^[k+1]^[k-1];
    if NL then R:=A^[k+2]^[k-1] else R:=0.0;
    X:=Abs(P)+Abs(Q)+Abs(R);
    if X=0.0 then exit;
    P:=P/X; Q:=Q/X; R:=R/X
  end;
  S:=Sqrt(P*P+Q*Q+R*R);
  if P<0.0 then S:=-S;
  if k<>m then
  begin
    A^[k]^[k-1]:=-S*X;
    A^[k+1]^[k-1]:=0.0;
    if NL then A^[k+2]^[k-1]:=0.0
  end
  else
  if l<>m then
  begin
    A^[k]^[k-1]:=-A^[k]^[k-1];
    A^[k+1]^[k-1]:=0.0;
    if NL then A^[k+2]^[k-1]:=0.0
  end;
  P:=P+S; X:=P/S; Y:=Q/S; Z:=R/S;
  Q:=Q/P; R:=R/P;
  if NL then
  for j:=k to n do
  begin
    Hous2(Q,R,X,Y,Z,A^[k]^[j],A^[k+1]^[j],A^[k+2]^[j]);
    Hous2(Q,R,X,Y,Z,B^[k]^[j],B^[k+1]^[j],B^[k+2]^[j]);
  end
  else
  for j:=k to n do
  begin
    Hous1(Q,X,Y,A^[k]^[j],A^[k+1]^[j]);
    Hous1(Q,X,Y,B^[k]^[j],B^[k+1]^[j]);
  end;
  if NL then
  begin
    P:=B^[k+2]^[k+2];
    Q:=B^[k+2]^[k+1];
    R:=B^[k+2]^[k];
```



```
X:=Abs(P)+Abs(Q)+Abs(R);
if X=0.0 then exit;
P:=P/X; Q:=Q/X; R:=R/X;
S:=Sqrt(P*P+Q*Q+R*R);
if P<0.0 then S:=-S;
B^[k+2]^[k+2]:=-S*X;
for j:=k to k+1 do B^[k+2]^[j]:=0.0;
P:=P+S; X:=P/S; Y:=Q/S; Z:=R/S;
Q:=Q/P; R:=R/P;
for j:=k+1 downto 1 do
Hous2(Q,R,X,Y,Z,B^[j]^[k+2],B^[j]^[k+1],B^[j]^[k]);
i:=k+3;
if i>en then i:=en;
for j:=i downto 1 do
Hous2(Q,R,X,Y,Z,A^[j]^[k+2],A^[j]^[k+1],A^[j]^[k]);
for j:=n downto 1 do
Hous2(Q,R,X,Y,Z,ZET^[j]^[k+2],ZET^[j]^[k+1],ZET^[j]^[k]);
C:=B^[k+1]^[k+1];
S:=B^[k+1]^[k];
Z:=Sqrt(Sqr(C)+Sqr(S));
if Z>tol then
begin
C:=C/Z; S:=-S/Z;
B^[k+1]^[k+1]:=Z; B^[k+1]^[k]:=0.0;
Rotate(S,C,B^[1]^[k],B^[1]^[k+1],n,k);
Rotate(S,C,A^[1]^[k],A^[1]^[k+1],n,i);
Rotate(S,C,ZET^[1]^[k],ZET^[1]^[k+1],n,n)
end
end
else
begin
C:=B^[en]^[en];
S:=B^[en]^[na];
Z:=Sqrt(Sqr(C)+Sqr(S));
if Z>tol then
begin
C:=C/Z; S:=-S/Z;
B^[en]^[en]:=Z;
B^[en]^[na]:=0.0;
Rotate(S,C,B^[1]^[na],B^[1]^[en],n,na);
Rotate(S,C,A^[1]^[na],A^[1]^[en],n,en);
Rotate(S,C,ZET^[1]^[na],ZET^[1]^[en],n,n)
end
end
end;

procedure nextw(en,na,itm:Integer;var l,it,rc:Integer;
var RR,Y:Double;var WA,NL,NM:Boolean);
var
m,k:Integer;
T,P,Q,R,V,Z,W,Dm,Dn,Amn,Anm,Det:Double;
DBL:Boolean;
begin
repeat
```

```
l:=en+1; T:=0.0;
NL:=False;
if en>=2 then
repeat
  l:=l-1;
  NL:=Abs(A^[l]^[l-1])<=eps*NormA
until (l=2) OR (NL);
if NL then A^[l]^[l-1]:=0.0 else l:=1;
if l=en then exit;
if ((it=10) or (it=20)) and (it<itm) and (l<>na) then
begin
  X:=B^[en-2]^[en-2];
  if Abs(X)<=eps*NormB then X:=eps*NormB;
  V:=A^[na]^[en-2]/X;
  X:=B^[na]^[na];
  if Abs(X)<=eps*NormB then X:=eps*NormB;
  Z:=A^[en]^[na]/X;
  T:=Abs(Z)+Abs(V);
  if DBL then
  begin
    Dn:=0.75*T; Dm:=Dn; Anm:=0.0; Amn:=-0.4375*Sqr(T)
  end
end
else
begin
  if it=itm then
  begin
    WA:=True; exit
  end;
  NM:=Abs(B^[en]^[en])<=eps*NormB;
  NL:=Abs(B^[na]^[na])<=eps*NormB;
  if (not NL) and (not NM) then
  begin
    Dn:=A^[en]^[en]/B^[en]^[en];
    Dm:=A^[na]^[na]/B^[na]^[na];
    V:=A^[na]^[en]/B^[en]^[en];
    Z:=A^[en]^[na]/B^[na]^[na];
    X:=B^[na]^[en]/B^[en]^[en];
    Amn:=V*Z;
    Anm:=Z*X;
    W:=Amn-Dm*Anm;
    Y:=Dn-Dm-Anm; P:=0.5*Y;
    Q:=P*P+W;
    Y:=Sqrt(Abs(Q));
    if Q>=0.0 then
    begin
      rc:=0; {para rzeczywista}
      DBL:=False;
      if P<0.0 then Y:=-Y;
      Y:=P+Y;
      RR:=Dm+Y;
      if l=na then exit;
      if Y=0.0 then C:=Dm else C:=Dm-W/Y;
      if Abs(Dn-RR)<Abs(Dn-C) then T:=RR else T:=C
    end
  end
end
end
```

```
end
else
begin
rc:=1;
DBL:=True;
T:=Dm+P; RR:=T;
if l=na then exit
end
end
else
begin
if l=na then begin rc:=0; exit end;
DBL:=FALSE;
Det:=-A^[na]^ [na]*A^[en]^ [en]+A^[en]^ [na]*A^[na]^ [en];
V:=A^[en]^ [na]*B^[na]^ [en];
if (NL) and (NM) then
begin
if V<>0.0 then T:=Det/V
end
else
if NL then
begin
Z:=V-A^[na]^ [na]*B^[en]^ [en];
if Z<>0.0 then T:=Det/Z
end
else
begin
Z:=V-A^[en]^ [en]*B^[na]^ [na];
if Z<>0.0 then T:=Det/Z
end;
X:=A^[1]^ [1]-B^[1]^ [1]*T;
if Abs(X)>Abs(A^[1+1]^ [1]) then T:=0.0
end
end;
it:=it+1;
if DBL then contsub2(en,na,l,m,Dn,Dm,Amn,Anm,P,Q,R,DBL);
if not DBL then
begin
contsub1(en,na,l,m,T,P,Q);
for k:=m to na do
step1(en,na,l,m,k,P,Q);
end
else
for k:=m to na do
step2(en,na,l,m,k,P,Q,R);
until WA;
end;

begin
{body of iter}
en:=n; WA:=False;
if itm=0 then itm:=30;
repeat
it:=0; na:=en-1;
nextw(en,na,itm,l,it,rc,RR,Y,WA,NL,NM);
```



```
if WA then
begin
  iter:=False; exit
end;
if l=en then
begin
  dAR^[en]:=A^[en]^[en]; dAI^[en]:=0.0;
  dB^[en]:=B^[en]^[en];
  if dB^[en]=0.0 then dB^[en]:=eps*NormB;
  WR^[en]:=dAR^[en]/dB^[en];
  WI^[en]:=0.0;
  en:=na
end
else
begin
  if (not NL) and (not NM) then
  if rc=0 then
  begin
    NmA:=Abs(A^[na]^[na])+Abs(A^[na]^[en]);
    F:=Abs(A^[en]^[na])+Abs(A^[en]^[en]);
    if F>NmA then NmA:=F;
    NmB:=Abs(B^[na]^[na])+Abs(B^[na]^[en]);
    F:=Abs(B^[en]^[en]);
    if F>NmB then NmB:=F;
    NmB:=NmB*Abs(RR);
    X:=A^[na]^[na]-RR*B^[na]^[na];
    W:=A^[na]^[en]-RR*B^[na]^[en];
    G:=Abs(X)+Abs(W);
    C:=A^[en]^[en]-RR*B^[en]^[en];
    S:=Abs(A^[en]^[na])+Abs(C);
    if G>S then
    begin
      C:=W; S:=X
    end
    else S:=A^[en]^[na];
    G:=Sqrt(C*C+S*S);
    if G>tol then
    begin
      C:=C/G; S:=-S/G;
      Rotate(S,C,A^[1]^[na],A^[1]^[en],n,en);
      Rotate(S,C,B^[1]^[na],B^[1]^[en],n,en);
      Rotate(S,C,ZET^[1]^[na],ZET^[1]^[en],n,n);
    end;
    if NmB<NmA then
    begin
      C:=B^[na]^[na]; S:=B^[en]^[na];
      G:=Sqrt(C*C+S*S);
      if G>tol then
      begin
        C:=C/G; S:=S/G;
        B^[na]^[na]:=G;
        A^[na]^[na]:=C*A^[na]^[na]+S*A^[en]^[na];
        Rotate(S,C,A^[na]^[en],A^[en]^[en],1,n-na);
        Rotate(S,C,B^[na]^[en],B^[en]^[en],1,n-na);
```

```
end
end
else
begin
C:=A^[na]^ [na]; S:=A^[en]^ [na];
G:=Sqrt(C*C+S*S);
if G>tol then
begin
C:=C/G; S:=S/G;
A^[na]^ [na]:=G;
B^[na]^ [na]:=C*B^[na]^ [na]+S*B^[en]^ [na];
Rotate(S,C,A^[na]^ [en],A^[en]^ [en],1,n-na);
Rotate(S,C,B^[na]^ [en],B^[en]^ [en],1,n-na);
end
end;
A^[en]^ [na]:=0.0;
B^[en]^ [na]:=0.0;
end
else
begin
WR^[na]:=RR; WR^[en]:=RR;
WI^[na]:=Y; WI^[en]:=-Y;
dB^[na]:=B^[na]^ [na]; dB^[en]:=B^[en]^ [en];
dAR^[na]:=dB^[na]*WR^[na];
dAR^[en]:=dB^[en]*WR^[en];
dAI^[na]:=dB^[na]*WI^[na];
dAI^[en]:=dB^[en]*WI^[en];
end
else
begin
if NL then
begin
C:=A^[na]^ [na]; S:=A^[en]^ [na];
G:=Sqrt(C*C+S*S);
if G>tol then
begin
C:=C/G; S:=S/G;
A^[na]^ [na]:=G;
A^[en]^ [na]:=0.0;
Rotate(S,C,A^[na]^ [en],A^[en]^ [en],1,n-na);
Rotate(S,C,B^[na]^ [en],B^[en]^ [en],1,n-na);
end
end
else
begin
C:=A^[en]^ [en]; S:=A^[en]^ [na];
G:=Sqrt(C*C+S*S);
if G>tol then
begin
C:=C/G; S:=-S/G;
A^[en]^ [en]:=G; A^[en]^ [na]:=0.0;
Rotate(S,C,A^[1]^ [na],A^[1]^ [en],n,na);
Rotate(S,C,B^[1]^ [na],B^[1]^ [en],n,na);
Rotate(S,C,ZET^[1]^ [na],ZET^[1]^ [en],n,n);
end
end
end
end
```

```
    end;
  end;
end;
if rc=0 then
begin
  dAI^[na]:=0.0;  dAI^[en]:=0.0;
  WI^[na]:=0.0;  WI^[en]:=0.0;
  dAR^[na]:=A^[na]^ [na];  dAR^[en]:=A^[en]^ [en];
  dB^[na]:=B^[na]^ [na];  dB^[en]:=B^[en]^ [en];
  if dB^[en]=0.0 then dB^[en]:=eps*NormB;
  if dB^[na]=0.0 then dB^[na]:=eps*NormB;
  WR^[en]:=dAR^[en]/dB^[en];
  WR^[na]:=dAR^[na]/dB^[na]
end;
en:=en-2
end
until en=0;
iter:=True
end;

procedure fin(n:Integer;A,B,ZET:DoublePtr2;WR,WI:DoublePtr1;
             NormA, NormB:Double);
var
  i,j,na,en,m:Integer;
  X,Y,W,Z,S,T,P,Q,R,RR,RI,QA,QP,YR,YI,VR,VI:Double;
  C:DoublePtr1;

procedure CDiv(XR,XI,YR,YI:Double;var ZR,ZI:Double);
var
  H:Double;
begin
  if Abs(YR)>Abs(YI) then
  begin
    H:=YI/YR;  YR:=H*YI+YR;
    ZR:=(XR+H*XI)/YR;
    ZI:=(XI-H*XR)/YR
  end
  else
  begin
    H:=YR/YI;  YI:=H*YR+YI;
    ZR:=(H*XR+XI)/YI;
    ZI:=(H*XI-XR)/YI
  end
end;
end;

begin
  GetMem(C,n shl 3);  FillChar(C^[1],n shl 3,#0);
  for en:=n downto 1 do
  begin
    P:=WR^[en];  Q:=WI^[en];  na:=en-1;

    if Q=0.0 then {wektor rzeczywisty}
    if (Abs(B^[en]^ [en])<=eps*NormB) then
    begin
      B^[en]^ [en]:=1.0;
      for i:=na downto 1 do
```



```
begin
  W:=B^[i]^ [i];
  if W=0.0 then W:=eps*NormB;
  B^[i]^ [en]:=-B^[i]^ [en];
  VecScal(B^[i]^ [i+1],1,B^[i+1]^ [en],n,B^[i]^ [en],0,na-i,W);
end
end
else
begin
  B^[en]^ [en]:=1.0;   m:=en;
  for i:=na downto 1 do
  begin
    for j:=m to na do C^[j]:=A^[i]^ [j]-P*B^[i]^ [j];
    W:=A^[i]^ [i]-P*B^[i]^ [i];
    R:=- (A^[i]^ [en]-P*B^[i]^ [en]);
    VecScal(C^[m],1,B^[m]^ [en],n,R,0,na-m+1,Skip);
    if WI^[i]<0.0 then
    begin
      Z:=W;   S:=R
    end
    else
    begin
      m:=i;
      if WI^[i]=0.0 then
      begin
        if W=0.0 then
        begin
          X:=Abs(P)*NormB;
          if X>NormA then W:=eps*X else W:=eps*NormA
        end;
        B^[i]^ [en]:=R/W
      end
      else
      begin
        X:=A^[i]^ [i+1]-P*B^[i]^ [i+1];
        Y:=A^[i+1]^ [i];
        Q:=Z*W-X*Y;
        if Q=0.0 then
        begin
          T:=Abs(P)*NormB;
          if NormA>T then T:=NormA;
          Q:=eps*T*(Abs(W)+Abs(X)+Abs(Z)+Abs(Y))
        end;
        T:=(Z*R-X*S)/Q;
        B^[i]^ [en]:=T;
        if Abs(X)>Abs(Z) then Q:=(R-W*T)/X else Q:=(S-Y*T)/Z;
        B^[i+1]^ [en]:=Q
      end {WI^[i]>0}
    end {WI^[i]>=0}
  end {i}
end {wektor rzeczywisty}
else
if Q<0.0 then
begin {wektor zespolony dla lambda=P-i*Q}
```

```
m:=na;
YR:=A^[na]^[na]-P*B^[na]^[na];
YI:=Q*B^[na]^[na];
X:=A^[en]^[na];
if Abs(X)>(Abs(YR)+Abs(YI)) then
begin
  B^[na]^[na]:=-(A^[en]^[en]-P*B^[en]^[en])/X;
  B^[na]^[en]:=-Q*B^[en]^[en]/X
end
else
CDiv(-A^[na]^[en]+P*B^[na]^[en],-Q*B^[na]^[en],YR,YI,
  B^[na]^[na],B^[na]^[en]);
B^[en]^[na]:=1.0; B^[en]^[en]:=0.0;
for i:=na-1 downto 1 do
begin
  for j:=m to na do C^[j]:=A^[i]^[j]-P*B^[i]^[j];
  W:=A^[i]^[i]-P*B^[i]^[i];
  QA:=Q*B^[i]^[i];
  RR:=- (A^[i]^[en]-P*B^[i]^[en]);
  RI:=-B^[i]^[en];
  X:=0.0;
  VecScl(C^[m],1,B^[m]^[na],n,RR,0,na-m+1,Skip);
  VecScl(B^[i]^[m],1,B^[m]^[en],n,X,0,na-m+1,Skip);
  RR:=RR-Q*X;
  VecScl(B^[i]^[m],1,B^[m]^[na],n,RI,0,na-m+1,Skip);
  RI:=Q*RI;
  VecScl(C^[m],1,B^[m]^[en],n,RI,0,na-m+1,Skip);
  if WI^[i]<0.0 then
  begin
    Z:=W; QP:=QA; R:=RR; S:=RI
  end
  else
  begin
    m:=i;
    if WI^[i]=0.0 then CDiv(RR,RI,W,QA,B^[i]^[na],B^[i]^[en])
  end
  else
  begin
    YR:=A^[i]^[i+1]-P*B^[i]^[i+1];
    YI:=Q*B^[i]^[i+1];
    X:=A^[i+1]^[i];
    VR:=W*Z-QA*QP-YR*X;
    VI:=QA*Z+QP*W-YI*X;
    if (VR=0.0) and (VI=0.0) then
    begin
      T:=(Abs(P)+Abs(Q))*NormB;
      if NormA>T then T:=NormA;
      VR:=eps*T*(Abs(W)+Abs(QA)+Abs(YR)+Abs(X)+Abs(Z)+Abs(QP))
    end;
    CDiv(-YR*R+YI*S+Z*RR-QP*RI, -YR*S-YI*R+Z*RI+QP*RR, VR,VI,
      B^[i]^[na],B^[i]^[en]);
    if (Abs(YR)+Abs(YI))>(Abs(Z)+Abs(QP)) then
    CDiv(RR-W*B^[i]^[na]+QA*B^[i]^[en],
      RI-W*B^[i]^[en]-QA*B^[i]^[na],YR,YI,
      B^[i+1]^[na],B^[i+1]^[en])
```

```
    else
      CDiv(R-X*B^[i]^[na], S-X*B^[i]^[en], Z,QP,
          B^[i+1]^[na],B^[i+1]^[en]);
    end {WI^[i]>0}
  end {WI^[i]>=0}
end {i}
end {wektor zespolony}
end;

for i:=n downto 1 do
begin
if WI^[i]<0.0 then
for j:=1 to n do
begin
X:=0.0; Y:=0.0;
VecScal(ZET^[j]^ [1],1,B^[1]^[i],n,X,0,i,Skip);
VecScal(ZET^[j]^ [1],1,B^[1]^[i-1],n,Y,0,i,Skip);
A^[j]^ [i]:=-X; A^[j]^ [i-1]:=-Y
end
else
if WI^[i]=0.0 then
for j:=1 to n do
begin
X:=0.0;
VecScal(ZET^[j]^ [1],1,B^[1]^[i],n,X,0,i,Skip);
A^[j]^ [i]:=-X
end
end;
FreeMem(C,n shl 3);
end;

function qz(n,itm:Integer;A,B:DoublePtr2;WR,WI:DoublePtr1):
Boolean;
var
ZET:DoublePtr2;
dAR,dAI,dB:DoublePtr1;
i,j:Integer;
F,G,NormA,NormB:Double;
Suc:Boolean;

function check0(n,k:Integer;var i:Integer;C:DoublePtr2):
Boolean;
var
j:Integer;
Nul,Kon:Boolean;
begin
Nul:=False; Kon:=False;
j:=1;
repeat
Nul:=C^[i]^[j]<>0.0;
j:=j+1;
if j=i-k then if i<n then
begin
j:=1; i:=i+1
end
end
```



```
    else Kon:=True
until Nul or Kon;
check0:=Nul
end;

begin      {body of qz}
GetMem(ZET,n shl 2);
for i:=1 to n do GetMem(ZET^[i],n shl 3);
GetMem(dAR,n shl 3);
GetMem(dAI,n shl 3);
GetMem(dB,n shl 3);
for i:=1 to n do
begin
  FillChar(ZET^[i]^ [1],n shl 3,#0);
  ZET^[i]^ [i]:=1.0;
end;
i:=2;
if check0(n,0,i,B) then
begin
  orttr(n,A,B);
  orthes(n,A,B,ZET)
end
else
begin
  i:=3;
  if n>=3 then
  if check0(n,1,i,A) then orthes(n,A,B,ZET);
end;
NormA:=0.0;  NormB:=0.0;
for i:=1 to n do
begin
  F:=0.0;  G:=0.0;
  for j:=1 to n do F:=F+Abs(A^[j]^ [i]);
  for j:=1 to n do G:=G+Abs(B^[j]^ [i]);
  if F>NormA then NormA:=F;
  if G>NormB then NormB:=G;
end;
SUC:=iter(n,itm,A,B,ZET,dAR,dAI,dB,WR,WI,NormA,NormB);
if Suc then
begin
  fin(n,A,B,ZET,WR,WI,NormA,NormB);
  qz:=True
end
else qz:=False;
Move(dAR^[1],B^[1]^ [1],n shl 3);
Move(dAI^[1],B^[2]^ [1],n shl 3);
Move(dB^[1],B^[3]^ [1],n shl 3);
FreeMem(ZET,n shl 2);
for i:=1 to n do FreeMem(ZET^[i],n shl 3);
FreeMem(dAR,n shl 3);
FreeMem(dAI,n shl 3);
FreeMem(dB,n shl 3);
end;
end.
```

PEŁNE UOGÓLNIONE ZAGADNIENIE WŁASNE  $Ax = \lambda Bx$   
Z MACIERZAMI RZECZYWISTYMI

Plik QZEIGR.PAS

Opis części zewnętrznej

INTERFACE

```
uses NewType, VecReal;  
function qz(n,itm:Integer;A,B:DoublePtr2;diagAR,diagAI,diagB,  
           WR,WI:DoublePtr1):Boolean;  
end;
```

Opis parametrów formalnych:

qz(n,itm,A,B,diagAR,diagAI,diagB,WR,WI);

Parametry wejściowe:

n - stopień macierzy;

itm - maksymalna liczba iteracji dla wydzielenia się jednej wartości własnej (w przypadku zerowej wartości tego parametru ustawiana jest wartość domniemana: itm = 30);

A - tablica dwuwymiarowa zawierająca w wierszach 1, ..., n zadana macierz A;

B - tablica dwuwymiarowa zawierająca w wierszach 1, ..., n zadana macierz B;

Parametry wyjściowe:

diagAR - tablica jednowymiarowa zawierająca części rzeczywiste elementów diagonalnych macierzy trójkątnej górnej QAZ;

diagAI - tablica jednowymiarowa zawierająca części urojone elementów diagonalnych macierzy trójkątnej górnej AZ;

diagB - tablica jednowymiarowa zawierająca elementy diagonalne macierzy trójkątnej górnej QBZ;

WR - tablica jednowymiarowa zawierająca części rzeczywiste wartości własnych;

WI - tablica jednowymiarowa zawierająca części urojone wartości własnych;

A - tablica dwuwymiarowa zawierająca n prawych wektorów własnych (nie unormowanych), zapisanych kolumnami; dostęp do j-tego elementu i-tego wektora -  $A[j]^i$ ;

B - tablica dwuwymiarowa zawierająca n lewych wektorów własnych (nie unormowanych), zapisanych wierszami; dostęp do j-tego elementu i-tego wektora -  $B[i]^j$ ;

UWAGA: stosuje się następujący sposób zapisu wektorów zespolonych w tablicach rzeczywistych: jeśli i-ta oraz i+1-sza wartość własna stanowią parę zespoloną (sprzężoną), wówczas kolumny i oraz i+1 macierzy A (wiersze i oraz i+1 macierzy B) zawierają odpowiednio: część rzeczywistą i urojoną wektorów prawych (lewych) odpowiadających wartości własnej z dodatnią częścią urojoną (traktowanej jako i-ta wartość własna).

qz - przyjmuje wartość TRUE, jeżeli podczas obliczania każdej wartości własnej nie została przekroczona maksymalna liczba iteracji (itm); w przeciwnym razie proces iteracyjny zostaje przerwany, co sygnalizowane jest wartością qz = FALSE.



SPIS TREŚCI

I. WSTĘP .....	3
II. ELEMENTARNE PRZEKSZTAŁCENIA UNITARNE .....	11
III. REDUKCJA PARY MACIERZY (A,B) DO UOGÓLNIONEJ POSTACI HESSENBERGA .....	15
IV. ITERACJE QZ .....	18
IV.1. Iteracje QZ dla macierzy zespolonych .....	18
IV.1.1. <i>Metoda pojedynczego kroku z niejawnym             przesunięciem</i> .....	18
IV.1.2. <i>Testowanie elementów codiagonali macierzy A</i> .....	25
IV.2. Iteracje QZ dla macierzy rzeczywistych .....	30
IV.2.1. <i>Metoda podwójnego kroku z niejawnymi             przesunięciami</i> .....	30
IV.2.2. <i>Iteracje QZ z kombinowanym przesunięciem</i> .....	40
V. OSTATECZNA REDUKCJA MACIERZY A DO POSTACI TRÓJKĄTNEJ ...	42
VI. WYZNACZANIE WEKTORÓW WŁASNYCH .....	44
VII. ORGANIZACJA PROCEDUR NUMERYCZNYCH .....	49
VIII. WYNIKI TESTÓW NUMERYCZNYCH.....	53
LITERATURA .....	74
ANEKS: PAKIETY PROCEDUR W JEZYKU TURBO PASCAL 4.0 .....	75
Zagadnienie z macierzami zespolonymi:	
Plik QZVALC.PAS - wartości własne .....	75
(opis części zewnętrznej)	
Plik QZVECC.PAS - wartości i prawe wektory własne .....	76
(opis części zewnętrznej)	
Plik QZEIGC.PAS - pełne zagadnienie własne .....	77
Zagadnienie z macierzami rzeczywistymi:	
Plik QZVALR.PAS - wartości własne .....	90
(opis części zewnętrznej)	
Plik QZVECR.PAS - wartości i prawe wektory własne .....	91
Plik QZEIGR.PAS - pełne zagadnienie własne .....	108
(opis części zewnętrznej)	